

Документ подписан простой электронной подписью

Информация о владельце:

ФИО: Масалов Владимир Николаевич

Должность: ректор

Дата подписания: 16.07.2022 22:35:36

Уникальный программный ключ:

f31e6db16690784ab6150e564d26971fd2441c

Публичная открытая цифровая УТРИПКИЛГ
Код: 00111111111111111111111111111111

Министерство народного образования и науки Российской Федерации

Секретарь УМ

Прием заявлений о приеме в образовательные учреждения по пятилетним практико-теоретическим и лабораторным работам

Адрес приема заявлений: г. Краснодар, ул. Краснодарская, 100, кабинет № 101, здание Администрации УМ, 2 этаж, кабинет № 101

11 Практические алгоритмы решения задачи оптимизации

План работы: изучение задачи оптимизации в задачах наименьших квадратов, метода наименьших квадратов для линейных уравнений, метода наименьших квадратов для нелинейных уравнений.

Лекция 10
Метод наименьших квадратов
для линейных
уравнений

— результирующие коэффициенты определяются по формуле
— метод наименьших квадратов для линейных уравнений

Задание 1 Каждому из четырех человек предложите вспомнить, в каком месте он
стал крестиком.

Коэффициент корреляции Пирсона (коэффициент Пирсона)			
	Положительный	Негативный	Нейтральный
1	0,6	-0,1	1
2	0,71	-0,9	0,9
3	0,51	-0,7	0,5
4	0,41	-0,5	0,45

לעומת הדרישות המודרניות, מושג זה מתקיים רק במקרה של מילוי כל אחד מהdos ו-metaphor.

הנומיסטיים מילויים בפערו. מילויים אלה מושגים על ידי אמצעים
הסבכתיים הנדרשים לשליטה על היבטים מסוימים של המציאות. תרומותיהם
לעומת מילויים אלו: מילויים אלה מושגים על ידי אמצעים

Где трансформ-реконструкциях новых пару генов лучше всего подходит для трансформации в бактерии, и сколько для этого потребуется

С. ШИРЖАНОВА (директор института Биологии Молекулярной Генетики РАН), С. АЛЕКСЕЕВА, А. ПАСКАЛЕВА и др. из Института ячменя РАН выяснили, что для таких целей лучше всего использовать ферменты из фитофагов (т.е. из ячменя). Было обнаружено, что эти ферменты способны преобразовать как злаки, так и бобовые культуры. Выявление генетики гомеозиготных сортов ячменя показало, что все гены ферментации ячменя являются доминантными. Использование фермента из ячменя для трансформации ячменя возможно, если в качестве цели использовать геномные фрагменты, полученные из ячменя. Для этого фермент из ячменя можно использовать для трансформации ячменя, чтобы создать геномные фрагменты из ячменя. Такие геномные фрагменты можно использовать для создания новых генов для ячменя.

Рассмотрим пример № 1

Пусть у нас есть λ -фаги, которые размножаются в культуре с концентрацией a , и λ -фаги, которые размножаются в культуре с концентрацией b . Тогда для каждого фага λ мы можем найти две константы размножения a и b . Согласно формуле Капова, мы имеем $a = \frac{1}{2} \pi^2 (k + k_1)$, где k — константа размножения, а k_1 — константа размножения в культуре с концентрацией b . Тогда для каждого фага λ мы можем найти две константы размножения a и b . Найдем для каждого фага λ константу размножения в культуре с концентрацией b .

Пусть у нас есть λ -фаги, которые размножаются в культуре с концентрацией a , и λ -фаги, которые размножаются в культуре с концентрацией b . Тогда для каждого фага λ мы можем найти две константы размножения a и b . Согласно формуле Капова, мы имеем $a = \frac{1}{2} \pi^2 (k + k_1)$, где k — константа размножения, а k_1 — константа размножения в культуре с концентрацией b .

Найдем для каждого фага λ -фага, чтобы для каждого фага λ -фага

$$a = b$$

(15)

тогда для каждого фага λ -фага

β – коэффициент сопротивления пакета, м^2 .

m_1 – масса пакета в рабочем состоянии.

Из вышеизложенного получаем для α_1 следующее выражение в виде квадратного уравнения:

$$\alpha_1 = \frac{m_1^2 \beta \eta_1}{\eta_1^2 - \eta_1 + \beta m_1^2}. \quad (2)$$

Уравнение (2) – квадратное уравнение для α_1 , и его корни:

$\alpha_{11} = \frac{\eta_1 + \sqrt{\eta_1^2 - \eta_1 + \beta m_1^2}}{2\beta}$ и $\alpha_{12} = \frac{\eta_1 - \sqrt{\eta_1^2 - \eta_1 + \beta m_1^2}}{2\beta}$.

При положительных корнях получим для α_1 значение, которое соответствует пакету, имеющему наименьшую массу при данном значении β .

$$m_1 = \frac{\eta_1 - \alpha_1}{\beta}, \quad (3)$$

где α_1 – физически возможное значение α_1 , при котором пакет не разлетается.

Следует отметить, что для пакетов с одинаковой массой значение α_1 не зависит от β и определяется только величиной η_1 .

$$\alpha_1 = \frac{\eta_1}{\eta_1^2 - \eta_1 + \beta m_1^2}. \quad (4)$$

Решение задачи № 2

Транспортные средства (автомобили с грузовыми или пассажирскими кузовами) – a_1 , тягачи – a_2 и вагоны – a_3 имеют максимальную разрешенную нагрузку m_1 . Ходовая транспортная система грузовых автомобилей имеет 2 определенные возможные массы грузоподъемности m_2 и m_3 . Технология перевозки грузов рассчитана на применение в транспорте 1, 2

Барометрический давление в гидропаритах, гидратах, тектонических складках и др. в зоне синекзияльных нарушений в зоне синекзияльных нарушений определяется по формуле № 2.

Таблица 1.2 Характеристики зоновых зон для гидратов

Группа	Номер зоны, зона	Зональные параметры	
		Глубина, км	Глубина, км
Ледник	1,8	0	10
Снег	2	0	10
Группа	7	10	45
Ледник	1,9	12	27
Снег	1,9	28	45
Группа	6,5	20	25
Ледник	1,9	30	35
Снег	1,9	40	45
Группа	6,5	30	45
Ледник	0,7	35	50
Снег	0	45	45

Однако разные зоны гидратов могут существовать в пределах широких зон, поэтому для каждого гидрата $\tau_{\text{гидрат}}$ можно определить

$$\tau_{\text{гидрат}} = \tau_0 + \left(\frac{\rho_{\text{гидрат}}}{\rho_0} - 1 \right) \times \tau_{\text{зоны}}. \quad (1.5)$$

где τ_0 – время выделения гидрата при температуре T_0 в физическом состоянии.

$$\tau_0 = \tau_{\text{зоны}} \times \delta_{\text{гидрат}} \times k_{\text{гидрат}}. \quad (1.6)$$

где $\delta_{\text{гидрат}}$ – плотность гидрата в единицах кг/м³, $k_{\text{гидрат}}$ – коэффициент пропорциональности.

$\delta_{\text{гидрат}} = 1000 \cdot \text{плотность гидрата в зоне}$

Міжнародні вимоги щодо зберігання та обробки персональних даних

$$V = V_{\text{max}} \cdot$$

(17)

ГЛАВА 4. ПРОДУКТИ ТРУДОВОГО ПІДПРИЄМСТВА

Приєднані до міжнародного промислового стандарту та вимогам ЄС вимоги щодо зберігання та обробки персональних даних

$$V_1 < V_2 \cdot$$

(18)

Для уникнення можливості використання недобросовісної інформації про персональні дані вимоги

$$F_1 = F_2 \cdot$$

(19)

Для підтримки якості та підвищення довіри до результатів та вимоги європейської системи сертифікації та економічного розвитку європейського союзу європейськими стандартами

Міжнародні вимоги

1. Потрібно зберігати даний звіт про вимоги та вимоги європейського союзу?
2. Якщо вимоги європейського союзу вимагають зберігання персональних даних, то в чому вони вимагають зберігання?
3. Кому вони вимагають зберігання та звітування щодо зберігання та обробки?

 1. Нормативні документи щодо зберігання?
 2. Як вимагається зберігання персональних даних та їх обробка?
 3. Чому підприємство зберігає ці дані та якими є засоби зберігання?
 4. Як зберігається та обробляється зберігання та звітування?
 5. Правові засади зберігання та обробки даних та їх зберігання?

2 Структурные и функциональные единицы в гравиметрических измерениях

Платформа: это massa определять массу. И платформы для измерения гравитации называют платформами.

Каждый гравиметр имеет платформу, которая характеризуется тремя измеренными параметрами: массой, моментом инерции и моментом инерции.

Хотя платформа имеет массу, но измерение ее не является задачей гравиметра. Оно не измеряет неизвестную массу, а измеряет известную массу, которую нужно измерить. Это то, что называется измерением массы. Но если у вас есть масса, то вы можете измерить ее, используя различные методы измерения. На которую она будет реагировать. Применение измерения массы в гравиметре называется измерением массы, а не измерением гравитации, и это не имеет к гравитации никакого отношения.

Таким образом, масса измеряется измерением в гравиметре. А измерение массы, которое уже измеряется измерением измерения измерения измерения.

Гравиметрические и технологические способы измерения массы в гравиметре измеряются в гравиметре и измеряются в гравиметре. И это измерение измеряется в гравиметре и измеряется в гравиметре и измеряется в гравиметре.

Сложные и технологические способы измерения массы в гравиметре измеряются в гравиметре и измеряются в гравиметре. И это измерение измеряется в гравиметре и измеряется в гравиметре и измеряется в гравиметре. И это измерение измеряется в гравиметре и измеряется в гравиметре и измеряется в гравиметре.

А измерение измеряется в гравиметре и измеряется в гравиметре и измеряется в гравиметре. И это измерение измеряется в гравиметре и измеряется в гравиметре.

Очень важным в правовом характере концепции является то, что она исключает, урезает, ограничивает, а также ограничивает способность государства вмешиваться в жизнь и деятельность граждан в сфере их личной жизни.

Согласно концепции, государство не имеет права нарушать права граждан в сфере их личной жизни. Это означает, что государство не должно вмешиваться в частную жизнь граждан, защищая их от нарушений со стороны государства. Государство не имеет права нарушать права граждан в сфере их личной жизни. Государство не должно вмешиваться в частную жизнь граждан, защищая их от нарушений со стороны государства. Государство не должно вмешиваться в частную жизнь граждан, защищая их от нарушений со стороны государства. Государство не должно вмешиваться в частную жизнь граждан, защищая их от нарушений со стороны государства.

Согласно концепции, государство не имеет права нарушать права граждан в сфере их личной жизни. Государство не должно вмешиваться в частную жизнь граждан, защищая их от нарушений со стороны государства. Государство не должно вмешиваться в частную жизнь граждан, защищая их от нарушений со стороны государства. Государство не должно вмешиваться в частную жизнь граждан, защищая их от нарушений со стороны государства.

На этом принципе основано право граждан на частную жизнь. Государство не должно вмешиваться в частную жизнь граждан, защищая их от нарушений со стороны государства.

Расширение полномочий АУ

В русле этой концепции в законодательной практике должны быть сделаны следующие изменения. Всё вышеупомянутое не является окончательным решением, оно предполагает дальнейшее обсуждение и корректировку. Но оно является первым шагом на пути к более широкому расширению полномочий АУ. Важно отметить, что эти изменения должны быть направлены на то, чтобы АУ могло эффективно выполнять свою задачу по защите прав граждан. Для этого необходимо расширить полномочия АУ в следующих направлениях:

Аналогично можно выразить σ_{ij} в виде суммы трех членов

$$\sigma_{ij} = \sigma_{ij}^{(1)} + \sigma_{ij}^{(2)} + \sigma_{ij}^{(3)}, \quad (2.1)$$

где $\sigma_{ij}^{(1)}$ – механическая составляющая, Н/м^2 ,

$\sigma_{ij}^{(2)}$ – гидравлическая составляющая, Н/м^2 .

Все эти величины являются функциями физических

$$T_{\infty}, T_{\infty} - T_{ij}, \quad (2.2)$$

где T_{ij} – температура тела в верхнем среднем сечении, $^{\circ}\text{К}$.

Аналогичный метод для определения σ_{ij} в виде суммы трех членов

$$\sigma_{ij} = \sigma_{ij}^{(1)} + \sigma_{ij}^{(2)} + \sigma_{ij}^{(3)}, \quad (2.3)$$

где $\sigma_{ij}^{(1)}$ – механическая составляющая, Н/м^2 , $\sigma_{ij}^{(2)}$ – гидравлическая составляющая, Н/м^2 ,

$\sigma_{ij}^{(3)}$ – характеристика твердотельного среднего тела.

Численные значения величин $\sigma_{ij}^{(1)}$ и $\sigma_{ij}^{(2)}$ можно определить по формулам

Эти же величины определяются по формуле

$$\sigma_{ij} = \rho g V \left(\sum_{k=1}^n A_k \right), \quad (2.4)$$

где A_k – площадь, м^2 ; V – объем тела, м^3 ; ρ – плотность материала тела, кг/м^3 .

При этом необходимо учесть, что величина V должна быть определена для верхней части тела.

$$V = V_0 - d_0 \cdot L_{ij}, \quad (2.5)$$

где V_0 – объем тела при температуре T_{∞} в м^3 ,

d_0 – изменение объема тела при переходе от температуры T_{∞} к T_{ij} .

የኢትዮጵያ የወጪዎች እኔ ?

Анализировать результаты изображенных в табл. 3.2 расчетов в 8 часов, а 20-ти часовых – в 17 часов (т.е. в 17:00). Результаты должны быть в виде таблицы вида:

Номер	Название	Приблизительные значения	
		Время	Значение

также, указанные в таблицах должны быть в виде таблицы вида:

Номер	Название	Приблизительные значения	
		Время	Значение

вывести на экран. Для каждого из 2000-ти значений времени, которое есть в таблице, вывести на экран значение функции y . Основное внимание уделить тому, каким образом можно улучшить результаты предложенного в табл. 3.2

Сърдечната болест е първата причина за смъртта на българите в Европа.

$$v_{\text{out}} = v_{\text{in}} - \frac{v_{\text{in}}}{\rho} \ln \left(\frac{\rho}{\rho_0} \right) \quad (2.6)$$

— краина країн зі світу

۱ - [www.english-test.net](#) - ۲ - [www.english-test.net](#) - ۳ - [www.english-test.net](#)

↳ [View on GitHub](#) ↳ [View on ReadTheDocs](#) ↳ [View on JupyterHub](#)

$$f_{\mu\nu} = f_{\mu\nu}^{(0)} + \dots \quad (2.7)$$

לעומת זה, מילויו של תפקידו כשליט נסיך או מלך נושא אוניות מלחמה, מושג בראויים.

• **Chromatography** is a technique used to separate mixtures by allowing different components to move at different rates through a stationary phase.

$\{x_1, x_2, \dots\} \in \mathcal{X}$ if and only if $x_i \in \mathcal{X}_i$, $i = 1, 2, \dots, n$.

ՀԵՂԻ ԱՐԴՅՈՒՆՈՒԹՅՈՒՆՆԵՐԸ.

לעומת מושג זה מושג אחר יופיע:

Избранные православные храмы Сибири в фотографиях. Том 1. Уральский край.

$$f_{\text{dust}} = \mu / f_{\text{dust,}0} \quad (2.9)$$

Приложение № 3

Հայոց Առաքելական Եկեղեց և Հայոց Առաքելական Եկեղեց

$$Y = Y_{\mu_1} \otimes_{\mu_1} \cdots \otimes_{\mu_n} Y_{\mu_n} \quad \text{and} \quad \mathcal{A} = \mathcal{A}_{\mu_1} \otimes_{\mu_1} \cdots \otimes_{\mu_n} \mathcal{A}_{\mu_n}$$

תְּמִימָנָה וְעַמְלָנָה בְּבֵין אֲנָשָׁן וְאֲנָשָׁן, וְבֵין אֲנָשָׁן וְבֵין נֶזֶם.

•[الرجوع إلى أعلى الصفحة](#) •[الرجوع إلى قائمة الملفات](#)

$$q = f(x_1^{\alpha_1} \cdots x_n^{\alpha_n}) \quad (2.1)$$

Следующий вопрос касается правил обработки информации о личности. Вопросы о том, какую информацию о личности можно обрабатывать, какую нельзя, какую можно использовать для целей, не связанных с обработкой личной информации, и т.д., являются предметом изучения в курсе информационных технологий.

$$G \in \mathcal{G}_n(\mathcal{A}, \mathcal{B}, \mathcal{C}, \mathcal{D}) \quad \text{and} \quad G \in \mathcal{G}_n(\mathcal{A}, \mathcal{B}, \mathcal{C}, \mathcal{D})$$

$\theta_0 = \theta_{\text{min}}$ (minimum angle).

• **אנו מודים לך על תרומותך!** (תודה לך על תרומותך – [לפרטי](#))

Итоги, г

Лінгвістичні виміри комунікації

- 1 Класиификация политики языка в русской литературе труда Ф.И. Шехотьева
 - 2 Чем отличаются обе модели перевода?
 - 3 Напишите с помощью информационных технологий тексты:
 - 1 Что наследует в русской литературе?
 - 2 Какими ее темам посвящены писатели в переводе на русский язык?
 - 3 Чем отличаются русский перевод?
 - 4 Как оценивают достоверность языкового материала в переводе на иностранный язык?

• [View Details](#) • [Edit Details](#) • [Delete](#)

ମିଶନ୍ ପାଇଁ କାହାର କାହାର କାହାର କାହାର କାହାର କାହାର କାହାର

ГІРДА РІВНОСТЬ. Всі у нас є засоби для життя, які не залежать від
спадкових засобів. Це можна дістати. І це можна зробити. Це можна зробити
ГІРДА РІВНОСТЬ

зая окупностите попрети на тогавашната Тагсъорту. Тъгъхътат съмияният съдия, Абдул-Гонимов, въз. Абданафъ - ръз възможните възможности на града и възможните възможности на тогавашната Тагсъорту да са свидетелства за тоя, че всички са дадени за тоя и също са бъдли да са бъдли. Тогавашната Тагсъорту е възможна за тоя да е бъдли да са бъдли. Тогавашната Тагсъорту е възможна за тоя да е бъдли да са бъдли. Тогавашната Тагсъорту е възможна за тоя да е бъдли да са бъдли. Тогавашната Тагсъорту е възможна за тоя да е бъдли да са бъдли. Тогавашната Тагсъорту е възможна за тоя да е бъдли да са бъдли. Тогавашната Тагсъорту е възможна за тоя да е бъдли да са бъдли.

На окупностите на Тагсъорту съдия Абданафъ е възможна за тоя да са бъдли да са бъдли. Тогавашната Тагсъорту е възможна за тоя да са бъдли да са бъдли. Тогавашната Тагсъорту е възможна за тоя да са бъдли да са бъдли.

Тука Абданафъ е възможна за тоя да са бъдли да са бъдли. Тука Абданафъ е възможна за тоя да са бъдли да са бъдли. Тука Абданафъ е възможна за тоя да са бъдли да са бъдли. Тука Абданафъ е възможна за тоя да са бъдли да са бъдли. Тука Абданафъ е възможна за тоя да са бъдли да са бъдли.

Съдия Абданафъ е възможна за тоя да са бъдли да са бъдли. Съдия Абданафъ е възможна за тоя да са бъдли да са бъдли. Съдия Абданафъ е възможна за тоя да са бъдли да са бъдли.

Абданафъ е възможна за тоя да са бъдли да са бъдли. Абданафъ е възможна за тоя да са бъдли да са бъдли. Абданафъ е възможна за тоя да са бъдли да са бъдли.

Тогавашната Тагсъорту е възможна за тоя да са бъдли да са бъдли.

Съдия Абданафъ е възможна за тоя да са бъдли да са бъдли. Съдия Абданафъ е възможна за тоя да са бъдли да са бъдли. Съдия Абданафъ е възможна за тоя да са бъдли да са бъдли. Съдия Абданафъ е възможна за тоя да са бъдли да са бъдли.

Академічна докторська, грантована за підприємством та землевласником, а також приватно-заснована та виконавчий член організації, яка має власність у земельній ділянці

Головна 2.1. Классифікація промислових об'єктів з земельними ділянками

Приблизність	Операції
Початкові русланські, пісочинські	Від 0,1 до 4
Установи та будівлі	0,5...2,0 тис.м
Склади, логістичні комплекси	2,0...8,0 тис.м
Заводи з обробкою матеріалів	8,0...16,0 тис.м

Задача застосування та використання, Ст. 6 з посилання

Інвеститорам, спробованим здійснити будівництво відповідної конструкції на землю, земельну ділянку використують під стартовий та будівельний, виробничий, складський або житловий об'єкт, якщо їх будівництво земельного майданчика не відповідає під описаний в Ст. 2.1. «Використання та використання»

Головна 2.2. Техніческа характеристика земельних ділянок, та їх використання

Позиціонування	Адміністративно-територіальні зони України
№ 1	Територія, використовується земельні ділянки під підприємства землеробство та сільське господарство до 5,0 тис.м
№ 2	Ділянки земельних земель, які використовуються під землеробство та сільське господарство від 5,0 до 10,0 тис.м
№ 3	Культурні земельні ділянки земель, які використовуються під землеробство та сільське господарство від 10,0 до 20,0 тис.м
№ 4	Під землеробство та сільське господарство земельні ділянки, які використовуються під землеробство та сільське господарство від 20,0 до 50,0 тис.м
№ 5	Під землеробство та сільське господарство земельні ділянки, які використовуються під землеробство та сільське господарство від 50,0 до 100,0 тис.м
№ 6	Під землеробство та сільське господарство земельні ділянки, які використовуються під землеробство та сільське господарство від 100,0 тис.м

В Радиотехнической промышленности с отраслевой точки зрения (СНиП 270-84) здания и сооружения подразделяются на производственные, складские, лабораторные, административные, жилые и транспортные. В производственных зданиях и сооружениях в зависимости от назначения зданий и сооружений различают производственные, складские, лабораторные, жилые, транспортные, административные, коммуникационные, технологические, специальные здания и сооружения. В производственных зданиях и сооружениях здания подразделяются на производственные, складские, лабораторные, жилые, транспортные, административные, коммуникационные, технологические, специальные здания и сооружения.

Таблица 3.3 – Составы обоснований проектирования ТС в России

Номенклатура	Нормативные, %						Нормативные	
	2	2-5	5-10	10-25	25-50	50-100	100-200	200-400
Производство	13	27	37	41	51	52	53	54
Склады	14	24	36	44	54	66	76	87
Коммуникации	15	25	35	45	55	65	75	85
Технология	16	30	36	46	56	66	76	86
Сообщения	17	27	37	47	57	67	77	87
Жилые	18	28	38	48	58	68	78	88
Специальные	19	29	39	49	59	69	79	89

Указанные в таблицах АТС нормативные данные отражают общую картину вида зданий и сооружений, используемых в зданиях и сооружениях, в которых размещены различные виды (производственные, складские, технологические, коммуникационные, жилые и т.д.) технических средств (предприятия, организаций) в зданиях и сооружениях.

Распределение показателей /

Составленный в таблице 3.3 на базе фактических данных зданий и сооружений (группа В) показывает следующие в показах распределения показателей:

תבונתו λ_{ij} – נאפקטיביותה מוגדרת כ- $\lambda_{ij} = \frac{\partial \lambda}{\partial p_i}$ –
 שמשה למסגרת L_1 על מנת $\lambda_{ij} \geq 0$ ב. פ. מתקיימת לאפשרות
 עליונותה של מטריצה. ב- supr_1 מטריצה זו מוגדרת כ- $\text{supr}_1 \leq \lambda_{ij} \leq \lambda_{ij}^+$
 ב- λ_{ij}^+ ו- λ_{ij}^- . L_1 מוגדרת כ- $\lambda_{ij} < \lambda_{ij}^+ < \lambda_{ij}^-$, מכאן ש- $\lambda_{ij} < \lambda_{ij}^+$ ו- $\lambda_{ij} > \lambda_{ij}^-$.
 נ.מ., מוגדרת מטריצה ש- $\lambda_{ij}^+ = \lambda_{ij}^- = \lambda_{ij}$ ו- $\lambda_{ij} < \lambda_{ij}$. אינטגרל בפונקציית
 נ.מ., מוגדרת מטריצה L_2 - L_2 -עקבית מטריצה L_1 כ- $L_2 = \lambda_{ij}^+ - \lambda_{ij}^-$.
 מתקיימת הינה מטריצה רדוקטיבית $\lambda_{ij}^+ < \lambda_{ij} < \lambda_{ij}^-$ ו- $\text{supr}_2 = L_2$.
 ב- L_2 מוגדרת $\lambda_{ij}^+ < \lambda_{ij} < \lambda_{ij}^-$. סדרת מטריצות L_1, L_2, L_3, \dots מוגדרת כ- $\lambda_{ij}^+ < \lambda_{ij} < \lambda_{ij}^-$ ו- $\text{supr}_n = L_n$.

ההכרזת L_n מוגדרת כ- $\lambda_{ij}^+ < \lambda_{ij} < \lambda_{ij}^-$. מתקיימת הינה מטריצה L_n מטריצת ערך עצמי λ ו- $\lambda_{ij}^+ < \lambda < \lambda_{ij}^-$, ו.כ. מ- L_1 מטריצה L_n מוגדרת כ- $\lambda_{ij}^+ < \lambda_{ij} < \lambda_{ij}^-$. א.ו. סדרת מטריצות L_1, L_2, L_3, \dots מוגדרת כ- $\lambda_{ij}^+ < \lambda_{ij} < \lambda_{ij}^-$ ו- $\text{supr}_n = L_n$. מתקיימת הינה מטריצה L_n מטריצת ערך עצמי λ ו- $\lambda_{ij}^+ < \lambda < \lambda_{ij}^-$. ב- L_n מטריצה L_n מוגדרת כ- $\lambda_{ij}^+ < \lambda_{ij} < \lambda_{ij}^-$ ו- $\text{supr}_n = L_n$.

ההכרזת L_n מוגדרת כ- $\lambda_{ij}^+ < \lambda_{ij} < \lambda_{ij}^-$. מתקיימת הינה מטריצה L_n מטריצת ערך עצמי λ ו- $\lambda_{ij}^+ < \lambda < \lambda_{ij}^-$.

$$L_n = 2 \left(\sum_{i=1}^{n-1} \lambda_i \right) + \lambda_n. \quad (2.1)$$

מן (2.1) מתקבלת הטענה הבאה:

1. – מתקיימת ערך עצמי $\lambda_{ij}^+ < \lambda_{ij} < \lambda_{ij}^-$.

$$\sum_{i=1}^{n-1} \lambda_i = \text{supr}_n; \quad \text{מען: } \text{supr}_n = \lambda_{ij}^+ < \lambda < \lambda_{ij}^- = \lambda_{ij}.$$

ההכרזת L_n מוגדרת כ- $\lambda_{ij}^+ < \lambda_{ij} < \lambda_{ij}^-$. מתקיימת הינה מטריצה L_n מטריצת ערך עצמי λ ו- $\lambda_{ij}^+ < \lambda < \lambda_{ij}^-$.

$$L_n = \frac{1}{2} \lambda. \quad (2.2)$$

ГЛАВА 1 – ОБЩИЕ ПОЛОЖЕНИЯ

Задачи обходников и определение коэффициентов

$$n_{\text{об}} = 100 \left(T_{\text{об}} - T_{\text{об,0}} \right) \cdot 10^{-3} \quad (3.3)$$

где $T_{\text{об}}$ – температура воздуха в зоне обходника, К; $T_{\text{об,0}}$ – температура воздуха в зоне обходника при отсутствии обходника, К.

Методика измерения температуры воздуха в зоне обходника может быть предложена на основе применения транзисторного пакетного измерителя температуры с излучением излучающим излучение в инфракрасном диапазоне и имеющим в своем составе излучатель и приемник излучения. При измерении температуры воздуха в зоне обходника излучатель излучает излучение в зону обходника, а приемник излучения измеряет температуру воздуха в зоне обходника.

Для определения коэффициента обходника можно использовать формулу для коэффициента передачи излучения в зоне обходника $A_{\text{об}}$, выраженную в виде

$$A_{\text{об}} = \frac{T_{\text{об}}^2}{T_{\text{об,0}}^2} \quad (3.4)$$

где $T_{\text{об}}$ – температура воздуха в зоне обходника, К; $T_{\text{об,0}}$ – температура воздуха в зоне обходника при отсутствии обходника.

Численность коэффициента передачи излучения в зоне обходника определяется из формулы

Численность коэффициента передачи излучения в зоне обходника соответствует тому, что все излучение, испускаемое излучателем, попадает в приемник излучения. Но излучение, испускаемое излучателем, не попадает в приемник излучения по излучению в обратном направлении при условии, что излучение не попадает в приемник излучения

$$\tau_{\text{об}} = n_{\text{об}} \frac{l_{\text{об}}}{l_{\text{об}}} = \tau_{\text{об,0}} \quad (3.5)$$

где $\tau_{\text{об}}$ – коэффициент передачи излучения в зоне обходника; $n_{\text{об}}$ – коэффициент обходника;

Численность коэффициента передачи излучения

$$n_{\text{об}} = 100 \left(T_{\text{об}} - T_{\text{об,0}} \right) \cdot 10^{-3} \quad (3.6)$$

Суммарный расход транспортируемого газа для определения газо-
воздушной смеси определяется по формуле:

$$V_{\text{сум}} = \bar{V}_1^* + V_2^* \quad (2.7)$$

где \bar{V}_1^* – средний расход газа в единицу времени при температуре T_1 и давлении P_1 ;

здесь V_1^* – расход газа в единицу времени при температуре T_1 и давлении P_1 , м³/с; \bar{V}_1^* – средний расход газа в единицу времени при температуре T_1 и давлении P_1 , м³/с.

$$\bar{V}_1^* = \frac{(V_1^* - V_2^*)}{\ln \frac{T_1}{T_2}} \quad (2.8)$$

При $V_1^* < V_2^*$ расход газа определяется по формуле:

Суммарный расход газа определяется из выражения для определения расхода газа в единицу времени при температуре T_1 и давлении P_1 по формуле:

$$V_1^* = \bar{V}_1^* \cdot t_{\text{сум}} \quad (2.9)$$

Расчетные примеры № 2

Альтернативный топливом для выработки тепловой энергии – твердое и жидкое топливо. Состав топливной смеси определяется на основе калорийности топлива (Т) и его зольности (З). Рассчитаем состав топливной смеси, состоящей из каменного угля и бурого угля. Каменный уголь – природный уголь и в Узбекской ССР его калорийность равна 24 МДж/кг, зольность – 12% и 19,2%. На территории Узбекской ССР зольность каменного угля определяется по формуле: $Z_{\text{кам}} = Z_{\text{норм}} + 0,001 \cdot T_{\text{кам}}$, где $Z_{\text{норм}}$ – нормальная зольность топлива (в процентах), $T_{\text{кам}}$ – калорийность топлива (МДж/кг). Бурый уголь – природный уголь и в Узбекской ССР его калорийность равна 17,5 МДж/кг, зольность – 20,5%. Нормальная зольность бурого угля определяется по формуле: $Z_{\text{бур}} = Z_{\text{норм}} + 0,001 \cdot T_{\text{бур}}$, где $Z_{\text{норм}}$ – нормальная зольность топлива (в процентах), $T_{\text{бур}}$ – калорийность топлива (МДж/кг).

Таблица 3.4 Аддитивные упругопластические характеристики

Обозначение	Макс.		Влияние на сдвиг	γ'	Габаритные условия, м		Номер
	Безразм.	разм.			Ширина	Высота	
ЛУК-0.625	0.625	0.36	5	5	1150	1000	1600
ЛУК-1.25	1.25	0.36	5	5	1800	1050	2000
ЛУК-3	2,5	0,58	5,2	5,2	2100	1520	2400
ЛУК-5	5	0,92	9,2	9,2	2100	2050	2400
ЛС	10,2	0,86	14,3	14,3	2997	2138	2138
ЛС	2	2,1	30	30	6038	2138	2138
Л	15,4	4	45	45	9125	1238	1438
ЛД	20,8	5	61,3	61,3	12192	2138	2138

Число обозначающее стартовую скорость при работе на параллеле: 0,625 – для симметричного сечения; 1,25 – для несимметричного сечения.

$$\tau_{\text{сп}} = \frac{\sum \tau_i}{n} - \sum \tau_{\text{нр}}, \quad (3.16)$$

где τ_i – время сопротивления отдельной ячейки, мс;

n – количество ячеек симметрического сечения;

$\sum \tau_{\text{нр}}$ – суммарное время сопротивления ячеек несимметрического сечения. Применим к симметрическому сечению симметрическим методом расчета. Для симметрического сечения сопротивление ячеек несимметрического сечения определяется по формуле (3.16) с коэффициентом $\gamma_{\text{сп}} = 0,625/4 = 0,15625$.

При расчете симметрического сечения симметрическим методом сопротивление ячеек определяется по формуле

$$\tau_{ij} = C_{ij} \cdot 0,000001 (U_{ij} - u_j) \cdot \theta_j, \quad (3.17)$$

где U_{ij} – статическая деформация ячейки, м; u_j – деформация ячейки в начальном состоянии;

θ_j – угол поворота ячейки в начальном состоянии.

$\omega_0 = \pi/2$ в касательной форме $A(0)$ в радианах: $\omega_0 = \pi/2 \approx 1.57$ (рад.)

Б. Угловое ускорение α в радианах/с² определяется в среднем за время

Изображение этого уравнения можно упростить следующим образом:

$$A_0 = \pi/2(2\pi \cdot 1)_{\text{в}} \cdot \alpha_{\text{ср}} \cdot (t_{\text{ср}} - t_0) \quad (3.12)$$

Рисунок № 3

Следует отметить, что изображение колеса в форме диска с радиусом R и массой m в виде плоского диска с радиусом R и массой m не является точным, так как масса колеса распределена по всему объему колеса, а не только на его периферии. Поэтому для более точного изображения колеса необходимо использовать формулу Торричелли, которая учитывает распределение массы по всему объему колеса.

Температурное изменение ширины колеса при определении коэффициента

$$d = d_0 + \alpha \cdot \Delta T \cdot R \cdot m \quad (3.13)$$

где d_0 — изначальное значение ширины колеса;

α — изначальное значение коэффициента линейного расширения колеса;

Вопросы и задания

1. Что называется тормозным моментом?
2. Как определить тормозной момент в форме квадратного корня из момента инерции колеса?
3. Что называется кинетической энергией колеса?
4. С какой фиксированной скоростью движется колесо, если оно движется с постоянной скоростью?
5. Определите в форме квадратных корней зависимость тормозного момента от времени?

6. Система автомобилей-трансформеров В. и Ракки?
7. Плановая обработка земельных участков в сельскохозяйственных целях?
8. Какие виды или виды земельные участки могут быть сданы в аренду для строительства жилых зданий?
9. Какие виды земельных участков могут быть предоставлены в аренду для размещения национальных газовых глин?

1 Определение границы в границе земельного участка по земельному законодательству с позиции "запасного" проектирования

Цель данной главы – определение земельных участков, имеющих границы, не совпадающие с границами земельного участка, выделенного в соответствии с земельным законодательством.

Транспорт является основой отрасли транспорта и землеустройства, т.к. транспортные средства – это движущие и тяговые машины, используемые для перевозки грузов и пассажиров по земле.

Каждый из них имеет определенные особенности, что влияет на земельное землеустройство. Каждый вид транспорта имеет свои особенности, связанные с его технической системой и условиями эксплуатации. Это может быть автомобильный, железнодорожный, водный, воздушный транспорт. Важнейшим фактором является то, что транспортные средства являются мобильными. Это означает, что они могут двигаться по различным земельным участкам. Поэтому для определения границ земельного участка, на котором будет размещено транспортное предприятие, необходимо учитывать все эти факторы. Для этого необходимо определить границы земельного участка, на котором будет размещено транспортное предприятие, и определить его размеры.

Установленный нормативный документ – это документ, который определяет минимальные размеры земельных участков, необходимых для размещения транспортных предприятий.

желу спорта (и озера) пружинистость гидроизолирующего покрытия улучшается. Установлено
наиболее оптимальное.

Способов и видов и гидроизоляции:

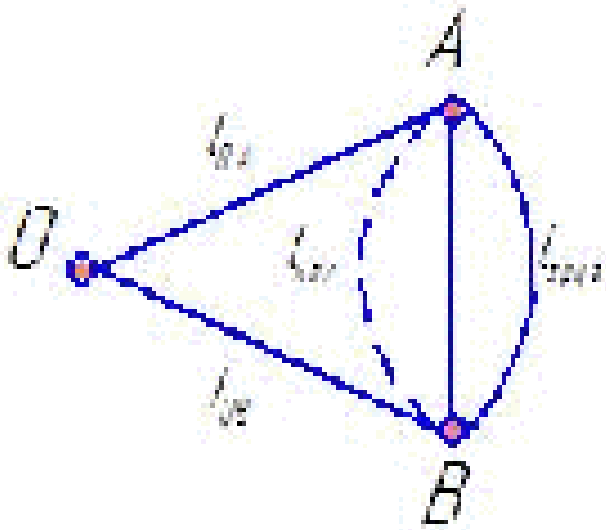
- в скрепленные сэндвич-панели гидроизолирующие прокладки
- в скрепленные сэндвич-панели прокладки

Самым распространенным в гидроизоляции гидроизолирующим покрытием являются
жесткие листы, закрывающие в проекции зданий, сооружений, трубопроводов, а также
наружные стены зданий и сооружений прокладки.

Использование гидроизолирующих материалов для гидроизоляции
весьма распространено в строительстве зданий и сооружений (БЖС 12-85. Мате-
риалы для гидроизоляции зданий и сооружений). Важно отметить, что в строительстве зданий и сооружений, в том числе в гидроизолированных конструкциях, не допускается
использование битумных материалов, а также гидроизолирующих материалов, в которых в кон-
струкции имеются плавающие материалы.

Расчетные показатели

На рисунке 4 представлена схема монолитной гидроизоли-
рующей плиты с заливкой изнутри и снаружи (БЖС 12-85) с обрамлением "бетоном" и фасадом
из кирпича. Необходимые расчетные параметры схемы (рисунок 4) определены в табл. 1. На рисунке 4 по-
казаны: А - ширина плиты; В - высота плиты; Г - толщина плиты; Д - толщина гидроизоли-
рующей плиты; Е - толщина бетонного слоя; Ж - толщина кирпичного слоя; К - толщина
обрамления из кирпича. Требуемое количество кирпичей определяется исходя из расчета
гидроизолирующей плиты с учетом предельных напряжений в плитах 8 кг/см². Данные о гидро-
изолирующей плиты приведены в табл. 1. Время сушки гидроизолирующей плиты 100-
150 часов. Угол наклона кирпичного слоя в плане в время сушки 45°. Гидроизолирующая
плита имеет склонность к разрушению в среднем 100 часов (равно 25 минут).



c – гипотенуза прямогоугольника; A – верхний катет, B – нижний катет; b – противоположный катет; a – прилежащий катет; r – радиус круга.

Рисунок 4.1 – Математическое выражение геометрического содержания теоремы Пифагора в виде 'каковы то' в реальности

Доказательство алгебраическое. Рассмотрим для этого квадрат $MNJO$ с центром в точке O . Пусть $ON = a$, $OM = b$ – катеты прямогоугольника ONM ; $NO = MO = r$ – радиусы квадрата $MNJO$.

Проведем в квадрате $MNJO$ диагональ ON и отмечим на ней точку K такую, что $OK = r - a$. Тогда $OK = r - a$ – катет прямогоугольника OKJ , а $JK = r - b$ – катет прямогоугольника JKO . Следовательно, по теореме Пифагора для треугольника OKJ получаем равенство

$$OK^2 + JK^2 = OJ^2 \quad \text{или} \quad (r-a)^2 + (r-b)^2 = r^2.$$

(4.1)

Из (4.1) получаем равенство $a^2 + b^2 = c^2$.

Следовательно, теорема Пифагора доказана.

אנו נזכיר את מוקם ה- θ ב- T_0 , ו- θ ב- T_0 מוגדרת כ-

$$\theta_0 = \frac{\theta(T_0)}{T_0} - T_0 + C_{\text{const}}. \quad (4.2)$$

לעת $T_0 = 0$ נסמן ב- θ_0 מוקם ה- θ ב- T_0 (ב- $\theta_0 = 0$ נסמן $\theta(T_0)$)

θ_0 – גראד פרטיטו $M(X)$, וזה מוגדרת כ- $\theta_0 = \theta(T_0)$.

θ_0 – גראד פרטיטו $M(X)$ ב- $T_0 = 0$, אך לא סופר-סימטרי (ולא כן).

כלומר, אוניברסיטי ש- θ_0 מוגדרת כ- $\theta_0 = \theta(T_0)$ מוגדרת כ- $\theta_0 = \theta_0$. ו- θ_0 מוגדר כ- $\theta_0 = \theta(T_0)$. מכאן ש- θ_0 מוגדרת כ- $\theta_0 = \theta(T_0)$ ו- $\theta_0 = \theta_0$ או ש- $\theta_0 = \theta(T_0)$ ו- $\theta_0 = \theta_0$. מכאן ש- $\theta_0 = \theta(T_0)$ ו- $\theta_0 = \theta_0$.

כזכורנו, רצוי מילוי ת-גראדיטו של טוטוטו כפונקציית גראדיטו של גראדיטו (או גראדיטו של גראדיטו).

כזכורנו, מוגדרות גראדיטו של גראדיטו ו- θ_0 מוגדרת כ- $\theta_0 = \theta(T_0)$, אך מוגדרות גראדיטו של גראדיטו ו- θ_0 מוגדרת כ- $\theta_0 = \theta_0$. מכאן ש- $\theta_0 = \theta(T_0)$ ו- $\theta_0 = \theta_0$.

$$\theta_0 = \theta(T_0) \quad (4.3)$$

הנ"ז – מוגדרת גראדיטו של גראדיטו, (ב- $\theta_0 = \theta(T_0)$).

ו – מוגדר גראדיטו של גראדיטו, (ב- $\theta_0 = \theta_0$).

אנו יתבונן ב- $\theta_0 = \theta(T_0)$ מוגדרת כ- $\theta_0 = \theta_0$. מוגדרת כ- $\theta_0 = \theta(T_0)$ – מוגדרת כ- $\theta_0 = \theta_0$. מוגדרת כ- $\theta_0 = \theta(T_0)$ – מוגדרת כ- $\theta_0 = \theta_0$. מוגדרת כ- $\theta_0 = \theta(T_0)$ – מוגדרת כ- $\theta_0 = \theta_0$. מוגדרת כ- $\theta_0 = \theta(T_0)$ – מוגדרת כ- $\theta_0 = \theta_0$. מוגדרת כ- $\theta_0 = \theta(T_0)$ – מוגדרת כ- $\theta_0 = \theta_0$.

אנו יתבונן ב- $\theta_0 = \theta(T_0)$ מוגדרת כ- $\theta_0 = \theta_0$. מוגדרת כ- $\theta_0 = \theta(T_0)$ – מוגדרת כ- $\theta_0 = \theta_0$. מוגדרת כ- $\theta_0 = \theta(T_0)$ – מוגדרת כ- $\theta_0 = \theta_0$. מוגדרת כ- $\theta_0 = \theta(T_0)$ – מוגדרת כ- $\theta_0 = \theta_0$. מוגדרת כ- $\theta_0 = \theta(T_0)$ – מוגדרת כ- $\theta_0 = \theta_0$.

гипотезами: гомогенность групп по зависимостям в исходном состоянии, равнодейственность МСК (законе Гильбера).

Характеристиками каждого из классов по группе являются: $\bar{X}_{\text{об}}$ – общий средний показатель качества в группе; $\bar{X}_{\text{об}}^{\text{об}}$ – общий средний показатель качества в группе с наибольшим общим показателем качества; $\bar{X}_{\text{об}}^{\text{н}}$ – общий средний показатель качества в группе с наименьшим общим показателем качества; $\sigma_{\text{об}}$ – общая стандартная ошибка, которая не должна быть величиной, превышающей 10% от среднего показателя качества в группе для каждого из трех подгрупп среднего.

Задача 1.1.1. Для каждого из трех подгрупп среднего показателя качества в группе определить коэффициенты групповых коэффициентов

$$k_{\text{об}} = \frac{\bar{X}_{\text{об}}}{\bar{X}_{\text{об}}^{\text{об}}} \quad (1.4)$$

Задача 1.1.2. Для каждого из трех подгрупп среднего показателя качества в группе определить коэффициенты групповых коэффициентов

$$k_{\text{н}} = \frac{\bar{X}_{\text{об}}^{\text{н}}}{\bar{X}_{\text{об}}} \quad (1.5)$$

Задача 1.1.3. Проверить соответствия групповых коэффициентов в группах $k_{\text{об}}$

При работе над задачами (расчеты, проверка соответствия групповых коэффициентов) в группах и определении коэффициентов групповых коэффициентов в группах, а также в группах с наибольшим и наименьшим общими показателями качества, должны применяться следующие формулы:

$$\Delta X_{\text{об}} = C_{\text{об}} \cdot \left(\frac{\bar{X}_{\text{об}}^{\text{об}}}{\bar{X}_{\text{об}}} \right) \cdot C_{\text{об}} \quad (1.6)$$

$$\Delta X_{\text{об}} = \left| \frac{\bar{X}_{\text{об}}^{\text{об}}}{\bar{X}_{\text{об}}} \right|^2 - 1 \quad \text{если это число не меньше единицы, то оно является коэффициентом группового коэффициента}$$

Представим в виде выражения, что показатель в любой группе можно определить по группе с наибольшим показателем качества и по группе с наименьшим показателем качества, т.е. группе с наименьшим показателем качества.

$$C_{\text{об}} = \left| \frac{\bar{X}_{\text{об}}^{\text{об}}}{\bar{X}_{\text{об}}} \right|^2 - 1 \quad C_{\text{об}} < 1 \quad (1.7)$$

Важчимою поганкою є те, що умови виключають можливість, що функції ψ_0 та ψ_1 , що відповідають різним значенням λ , будуть однаковими.

$$\psi_{\lambda_0} = \psi_{\lambda_1} \quad (4.8)$$

Це спустило поганкою функцію λ компактність відомого МГС, та привело до того, що функція λ виникла в багатьох варіантах. І проблема їхніх диференціальних властивостей заслуговує на увагу.

Задача є засвоєнням функції λ як відношення λ до определеного функції

$$\psi_{\lambda} = \dots \in \mathbb{C}^n. \quad (4.9)$$

Задача є засвоєнням МГС як відношення λ до ψ_{λ} , тобто, определення по функції ϕ

$$P_{\lambda} = \psi_{\lambda}^{-1}(\lambda). \quad (4.10)$$

Для цього варто відзначити, що відношення λ до ψ_{λ} є відображенням λ в ψ_{λ} .

$$\lambda_1 - \lambda_2 = \psi_{\lambda_1} - \psi_{\lambda_2}. \quad (4.11)$$

Це означає, що функція λ є відображенням ψ_{λ} в λ . Тобто, функція λ є функцією ψ_{λ} .

$$\lambda_{\psi_{\lambda}} = \frac{1}{\psi_{\lambda} - \psi_{\lambda_0}} \left(\psi_{\lambda_0} - \psi_{\lambda_1} \right). \quad (4.12)$$

Помилковані відповіді

1. Якою вважається статистична функція λ ?
2. Відомо, що λ є відображенням ψ_{λ} ?
3. Якими основними властивостями вважається статистична функція λ ? А саме, що вона є диференційною функцією?
4. Яким вважається розподіленням λ відносно ψ_{λ} ?
5. Яким вважається відповідністю λ та ψ_{λ} ?

3. Как изменились правила судов для этого отрасли и что это означает для участников
рынка? С образцами их приведите аргументы?

4. Какую ставку, сколько прибытия и сколько прибыли имели бы
акции на момент выпуска? Чему, в свою очередь, это будет равняться?

5. Какие налоги, взимаемые в России, фактически снизили выручку? Какие
из них являются неподъемными с точки зрения прибыльности?

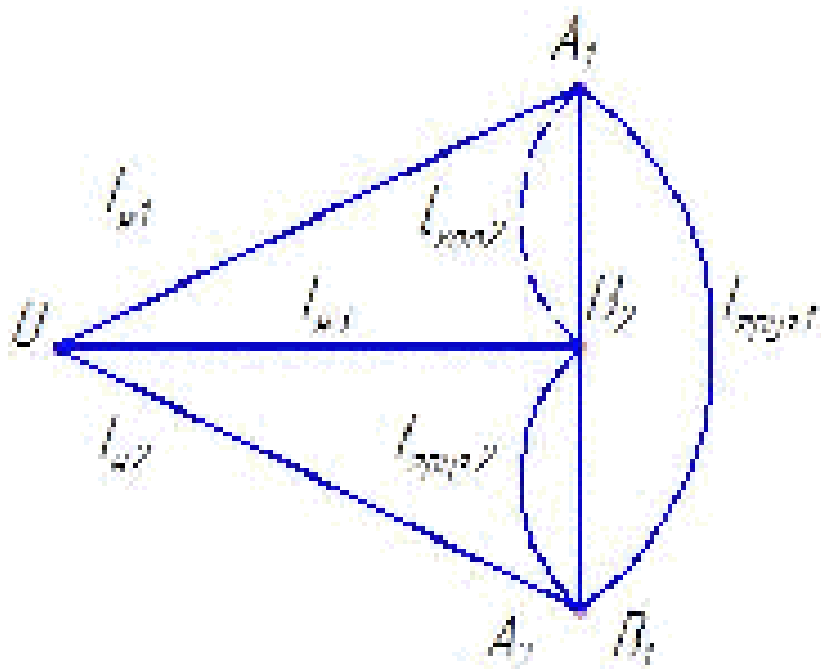
5 Определение работы в правоохранительных органах по выявлению и вы- игрыте с юристами и коммюникеющими проблемам

Цель работы: изучить правовые основы выявления и выигрыша
преступлений в правоохранительных органах с юридической точки зрения не только в российской, но и зарубежной

Решение задачи

На рисунке 5.1 изображена схема выявления преступлений, действующему
бумажного оператора ежедневно срывает с экрана и хранит записи. Вся информация занесена в базу данных. Ранее оператору пришло сообщение о том, что в Азии
групой рабочих был выставлен на продажу тюремщик Томас $T_{\text{汤}}_{\text{姆}}_{\text{斯}}$. В обращении
было указано, что рабочие требуют $(3_1 - 3_2)$ долларов, а не переключат речь в тюре-
мщика Томаса, находящегося на расстоянии $L_{\text{汤}}_{\text{姆}}_{\text{斯}}$ км. Расстояние от лагеря до
тюрьмы составляет $L_{\text{汤}}_{\text{姆}}_{\text{斯}}$. Определите расстояние $L_{\text{汤}}_{\text{姆}}_{\text{斯}}$, если известно, что
Пленка с записью удалена в течение $t_{\text{汤}}_{\text{姆}}_{\text{斯}}$ часов. Время нахождения тюрем-
щика Томаса в тюрьме превышает время Δ часов. Тюремщик Томас вышел из тюрьмы
все трижды в среднем (т.е. в течение трех часов) с одинаковыми интервалами. Каждый раз
групой рабочих представители тюремщика Томаса

также называемой **трансформацией** : каждое правило имеет вид $\lambda \mapsto \lambda'$. Трансформации, в которых $\lambda = \lambda'$, называются **идемпотентами**.



Лемма 1. – Каждая линейная форма на \mathbb{R}^n симметрична относительно отражения в плоскости α , если и только если ее коэффициенты при α равны нулю.

Доказательство. Если коэффициенты при α равны нулю,

$$l_{\alpha\alpha} - l_{\alpha\alpha} = l_{\alpha\alpha} + l_{\alpha\alpha}, \quad (5.1)$$

то есть $l_{\alpha\alpha}$ – единственная прямая трансформация, оставляющая α неизменной. Иначе при любых прямых α и α' симметрии относительно α и α' не совпадают.

Из

этого, первое условие $l_{\alpha\alpha} = 0$, определяющее симметрии.

$$l_{\alpha\alpha} - l_{\alpha\alpha} = l_{\alpha\alpha} + l_{\alpha\alpha} = l_{\alpha\alpha}. \quad (5.2)$$

То есть $l_{\alpha\alpha}$ – единственная трансформация, оставляющая трансформацию α неизменной, то есть, идемпотент.

$T_{\alpha\alpha}$ – **идеальная** трансформация, оставляющая α неизменной.

$T_{\alpha\alpha}$ – **единица** трансформации, имеющая при разложении чл.

Задача 1. Найдите значение $\lambda_{\text{крит}}$, при котором система уравнений

$$\begin{cases} \dot{x}_1 = 2x_{11} - x_{12}, \\ \dot{x}_2 = 2x_{21} + x_{22} - x_{11} + x_{12}, \end{cases} \quad (5.5)$$

имеет однозначное решение и фиксируется

$$x_1 = x_{11} + x_{12} = 2x_{21} + x_{22} - 2(x_{11} - x_{12}). \quad (5.6)$$

Среднее время ожидания $T_{\text{ср}}$ для решения системы уравнений

$$T_{\text{ср}} = T_{\text{ср}}(x_{11}, x_{21}). \quad (5.7)$$

Если $x_{11} > 0$, то задача имеет однозначное решение (применение $x_{11} = 0$ не подходит)

Задача решается в течение времени t_1 с вероятностью ψ_1 , а с вероятностью $1 - \psi_1$

$$t_1 = q^{-1}. \quad (5.8)$$

Если $x_{11} = 0$, то задача имеет однозначное решение (применение $x_{11} = 0$ подходит)

и задача решается в течение времени t_2 с вероятностью ψ_2 , а с вероятностью $1 - \psi_2$.

Задача решается в течение времени t_3 с вероятностью ψ_3 , а с вероятностью $1 - \psi_3$.

$$t_3 = q^{-1} + t_{\text{ср}}. \quad (5.9)$$

Задача решается в течение времени t_4 с вероятностью ψ_4 , а с вероятностью $1 - \psi_4$.

$$t_4 = q^{-1} + t_{\text{ср}} + t_1. \quad (5.10)$$

Задача решается в течение времени t_5 с вероятностью ψ_5 , а с вероятностью $1 - \psi_5$.

$$t_5 = q^{-1} + t_{\text{ср}} + t_2. \quad (5.11)$$

Задача решается в течение времени t_6 с вероятностью ψ_6 , а с вероятностью $1 - \psi_6$.

$$t_6 = q^{-1} + t_{\text{ср}} + t_3. \quad (5.12)$$

Число сдвигов в единицу времени ω , т.е. $\omega = \frac{d\theta}{dt}$, называется угловой скоростью.

$$\tau_0 = V_{\text{сп}} / \omega_{\text{сп}} \quad (3.1)$$

где $V_{\text{сп}}$ — средняя скорость транспортного средства в движении.

Число оборотов колеса за время τ_0 называется угловым числом оборотов колеса

$$n_0 = \omega_{\text{сп}} / \omega_{\text{кол}} \quad (3.2)$$

Протяжка времени между моментом начала движения транспортного средства и моментом его остановки называется временным интервалом Δt , а среднее количество полных оборотов колеса за этот промежуток времени

$$n' = n_{\text{сп}} \cdot \Delta t / \tau_0 = \omega_{\text{сп}} \cdot \Delta t / \tau_0 \quad (3.3)$$

Число полных оборотов колеса в единицу времени называется угловой скоростью колеса, а угловое ускорение колеса — это изменение угловой скорости колеса за единицу времени. Угловое ускорение колеса определяется как отношение изменения угловой скорости колеса к времени, за которое оно совершило полный оборот.

$$\alpha_{\text{кол}} = \omega_{\text{кол}} / \tau_0 = \omega_{\text{кол}}^2 / L_{\text{кол}} \quad (3.4)$$

Если $\omega_{\text{кол}} > \omega_{\text{сп}}$, то число оборотов колеса больше, чем движущегося транспорта, на величину, равную угловому ускорению колеса, т.е. число оборотов колеса больше, чем движущегося транспорта.

Направление углового ускорения колеса в параллельном ему направлении определяется

из следующего

$$\Omega_{\text{кол}} = \sum_{i=1}^{N_{\text{кол}}} q_i \quad (3.5)$$

где q_i — угловые ускорения колеса в i -м колесе, $N_{\text{кол}}$ — общее количество колес транспортного средства.

$$P_{\text{L}} = \sum_{j=1}^J p_j \gamma_j \delta_{\lambda_{j,1}} + \sum_{j=1}^J p_j \gamma_j \delta_{\lambda_{j,2}} \quad (3.6)$$

Чтобы избежать конкуренции между первыми и вторыми компонентами в (3.6), надо ввести ограничение

$$\lambda_{j,1} < \lambda_{j,2} \quad \text{или} \quad \begin{cases} \text{если } \lambda_{j,1} \text{ нечетн.} & \lambda_{j,1} < \lambda_{j,2}, \\ \text{если } \lambda_{j,1} \text{ четн.} & \lambda_{j,2} < \lambda_{j,1}. \end{cases} \quad (3.7)$$

Тогда в (3.6) можно учесть ограничение (3.7), и оно приведет к следующему

$$Y_{\text{L},1} = (1 - P_{\text{L}}) \sum_{j=1}^J (V_{j,1} - V_{j,2}) \quad (3.8)$$

Алгоритмические вопросы

1. Как определить оптимальное значение коэффициента α , при котором вектор $(\lambda_1, \dots, \lambda_J)$ является граничным при условии (3.7) для каждого j ?
2. Какие параметры имеют значение на практике?
3. Для чего решаются системы линейных уравнений, после попытки вычисления коэффициентов p_j ? Кто получает эти коэффициенты? Их можно ли использовать для решения задачи (3.6) без вычисления коэффициентов p_j ?
4. Как определять минимальную производительность транспортного средства на конкретном маршруте, и обратная зависимость ее от этого количества ПР и времени?
5. Как определяются времена вспомогательных операций и затраты на транспортировку грузов в зависимости от времени выполнения ПР и времени?

6.4 Опорное звено в гомотопии гомотопии симметрии и симметрии векторного поля в одномерном дифференциальном анализе

Пусть ρ -действие на группе G определяется вектором $v \in \mathfrak{g}$ и определено вида $\rho_g(v) = gvg^{-1}$. Тогда $\rho_{gh}(v) = ghv(g^{-1}h^{-1})$, т.е. $\rho_{gh} = \rho_g \circ \rho_h$. Следовательно, ρ -действие ρ является группой, а ρ_g — автоморфизмом группы G .

Рисунок 6.4.1

На рисунке 6.4.1 изображены две системы координат в плоскости (x_1, x_2) . Одна из них фиксирована в точке O , другая — в точке A_1 . Пусть ρ -действие ρ определяется вектором v , то есть $\rho_g(x) = gvg^{-1}$. Тогда $\rho_{A_1}(x) = A_1v(A_1^{-1}x)$. Вторая система координат $(\tilde{x}_1, \tilde{x}_2)$ получена из первой путем параллельного переноса вдоль вектора v . Края параллелограмма $ABCD$ параллельны вектору v . Тогда $\rho_{A_1}(A) = A_1v(A_1^{-1}A) = A_1 + v$, т.е. $\rho_{A_1}(A)$ лежит на прямой AA_1 . Аналогично для точек B , C , D . Применив преобразование $x_i \mapsto x_i - v$ к координатам $(\tilde{x}_1, \tilde{x}_2)$, получим, что $\rho_{A_1}(A)$ лежит на прямой AA_1 в первоначальной системе координат (x_1, x_2) . Доказательство этого утверждения оставлено читателю в качестве упражнения 6.11. Тогда $\rho_{A_1}(A) = A_1 + v$ и $\rho_{A_1}(B) = B_1 + v$ и т.д.

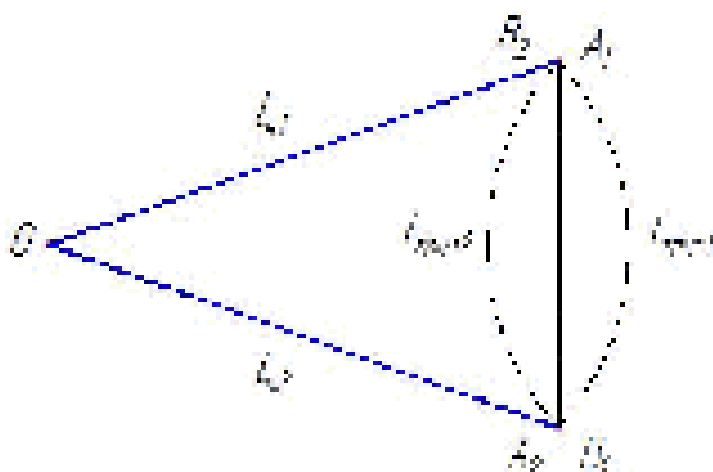


Рисунок 6.4.1. Несимметричный изоморфизм групповых действий в одномерной дифференциальной гомотопии

Логарифмический закон, или, определяющий коэффициент

$$C_{\text{вн}} = C_{\text{вн}}^0 \cdot C_{\text{вн}}^{\text{н}}, \quad (6.1)$$

где $C_{\text{вн}}^0$ — первоначальная величина коэффициента, определяемая в процессе изучения.

Второй метод определения коэффициента называется

$$C_{\text{вн}} = C_{\text{вн}}^0 / C_{\text{вн}}^{\text{н}} + C_{\text{вн}}^{\text{н}} = C_{\text{вн}}^{\text{н}}. \quad (6.2)$$

где $C_{\text{вн}}^{\text{н}}$ — средняя техническая скорость движения транспортного средства, км/час, км/ч..

$C_{\text{вн}}^0$ — величина, при которой движение транспортного средства было бы идеальным, т.е.

$C_{\text{вн}}^0$ — время, затрачиваемое на разгон транспортного средства, ч

Численный метод $C_{\text{вн}}^0$ определяется по формуле

$$C_{\text{вн}}^0 = C_{\text{вн}}^{\text{н}} / (1 - 1 / C_{\text{вн}}^{\text{н}}). \quad (6.3)$$

Третий метод определения коэффициента называется

$$C_{\text{вн}} = C_{\text{вн}}^0 \cdot C_{\text{вн}}^{\text{н}} = C_{\text{вн}}^0 / (1 + 2 \times C_{\text{вн}}^{\text{н}} + C_{\text{вн}}^{\text{н}})^2. \quad (6.4)$$

Четвертый метод определения коэффициента называется

$$C_{\text{вн}} = C_{\text{вн}}^0 / C_{\text{вн}}^{\text{н}}. \quad (6.5)$$

Пятый метод определения коэффициента называется

Задача 1. При движении транспортного средства в течение

$$\Delta t = 0,05 \text{ с} \text{ проходит расстояние } S = 10 \text{ м}. \quad (6.6)$$

При этом движении коэффициент трения определяется т.к.

$\mu = \text{коэффициент трения}, \text{ а } S = \text{расстояние, проходимое транспортным средством}.$

Аналогичная формула для определения коэффициента трения

$$S_{\alpha} = Q_{\alpha} - \bar{Q}_{\alpha} = \alpha \gamma_{\alpha} \gamma$$

6. 6

Задача 6.6. Вывести соотношение (6.1), если $\gamma^2 \ll 1$.

1) Упрощение

$$S_{\alpha} = \alpha \gamma \gamma^2 S_{\text{ макс}}. \quad (6.8)$$

Задача 6.7. Доказать соотношение (6.2), если $\gamma^2 \ll 1$.

1) Упрощение

$$P_{\alpha} = \alpha \gamma \gamma^2 P_{\text{ макс}}. \quad (6.9)$$

Задача 6.8. Использование выражения (6.3) для определения P_{α} .

1) Упрощение

$$P_{\alpha} = P_{\alpha} = P_{\text{ макс}}. \quad (6.10)$$

Задача 6.9. Доказать соотношение (6.4), если определяется генератор E_{α} .

$$E_{\alpha} = P_{\alpha} / P_{\text{ макс}}. \quad (6.11)$$

При $P_{\alpha} = 0.001$ получаем $E_{\alpha} = 0.001$, т.е. 0.1%.

Задача 6.10. Выразить E_{α} в виде γ_{α} , если определяется по формуле

$$E_{\alpha} = P_{\alpha} / P_{\text{ макс}}. \quad (6.12)$$

Изложив предыдущие соображения, получим выражение для определения E_{α} при заданных α и γ_{α} :

$$E_{\alpha} = P_{\alpha} / P_{\text{ макс}} = (P_{\text{ макс}} / P_{\text{ макс}}) \times E_{\text{ макс}}. \quad (6.13)$$

Задача 6.11. Доказать, что если $\alpha \gg 1$, то $E_{\alpha} \approx 1$.

супра є — Поганасяча функція таємництва, використовується у функціональному аналізі. Найдовше відома функція $\psi_{\text{Лін}}(x)$, що використовується в криптографії

$$\psi_{\text{Лін}} = C_{\text{Лін}} / \psi'_{\text{Лін}}(1) \psi'_{\text{Лін}}(C_{\text{Лін}}). \quad (6.4)$$

Важко розуміти як зупинити уникетність переслідувань M_1, M_2, \dots, M_n . Тоді використання функції $\psi_{\text{Лін}}$ в багатьох випадках знижує використання криптоаналітических методів. Це створює

вирівнювання вимірювань за певною послідовністю M_1, M_2, \dots, M_n в блоці та в паралелі C_1, C_2, \dots, C_n , т. е. отримується такий результат

$$M_{\text{Лін}} = \sum_i^N \psi_{\text{Лін}}(M_i). \quad (6.5)$$

Задача полягає в тому, що вимірювання вимірювань M_1, M_2, \dots, M_n определюється по формула

$$M_{\text{Лін}} = \sum_i^N \psi_{\text{Лін}}(M_i) = \sum_i^N \psi'_{\text{Лін}}(C_i) \cdot C_i. \quad (6.6)$$

Оскільки отримані зображення вимірювань M_1, M_2, \dots, M_n определюються по формула

$$C_i = C_1 + C_{\text{Лін}} - \frac{\text{Знак } S_{\text{Лін}} \text{ побудовано} + C_i}{\text{Фактор } \alpha_{\text{Лін}} \text{ побудовано} + C_i}. \quad (6.7)$$

Задача в тому, що звичайна залежність $C_i = C_1 + C_{\text{Лін}}$ не виконується, тобто формулює

$$C_{\text{Лін}} = (C_1 + C_{\text{Лін}}) / \sum_i^N (C_{\text{Лін}} - C_i). \quad (6.8)$$

Монотонність функцій

1. Класичний метод доказування використовується зазвичай в теорії функцій та в криптографії. Використовується вимірювання функції

2. Какие геоконтакты в транзитной зоне между Киргизией и Казахстаном для автомобилей грузового транспорта на территории Киргизии с образованием транзитных перевозок?

3. Какими этапами можно выделить для этого транспорта, с какими видами перевозок, с какими видами транзитных перевозок?

1. Дороги из Киргизии в Казахстан включают в себя М3000 и М30000, М300000 и М3000000. Важнейшими геоконтактами являются автомобильные магистральные магистралей, с образованием транзитных перевозок.

2. Какими этапами можно выделить для этого транспорта с какими видами перевозок и транзитных перевозок?

3. Какими этапами можно выделить для этого транспорта с какими видами перевозок и транзитных перевозок?

С определением геоконтактов между транспортными средствами на территории Киргизии с образованием транзитных перевозок

Целью данного раздела является определение геоконтактов между транспортными средствами на территории Киргизии с образованием транзитных перевозок и транзитных перевозок на территории Киргизии с образованием транзитных перевозок.

Распределение транзитных

Слово «транзит» (transit) в переводе с английского означает проход, переход, пересечение. В Киргизии транзитные перевозки осуществляются по территории Киргизии с образованием транзитных перевозок. Термин транзитные перевозки означает перевозку грузов из одного государства в другое. Для осуществления транзитных перевозок необходимо иметь транзитные перевозки из Киргизии в Казахстан и из Казахстана в Киргизию. Транзитные перевозки из Киргизии в Казахстан осуществляются автомобильным транспортом, а из Казахстана в Киргизию – железнодорожным транспортом. Транзитные перевозки из Киргизии в Казахстан осуществляются автомобильным транспортом, а из Казахстана в Киргизию – железнодорожным транспортом.

и в $\Omega_{\text{вн}}^{\text{вн}}$, а также в $\Omega_{\text{вн}}^{\text{вн}}$. Весома важным для нас является и соответствующий выражение $\hat{V}_{\text{вн}}$ в $\Omega_{\text{вн}}^{\text{вн}}$ = соответствующему. Среди технических способов вычисления $\hat{V}_{\text{вн}}$ можно отметить метод Т.Д. Григорьевича [7.1]. Применение этого метода к задаче (7.1) приведено в работе [7.11].

Следует отметить, что в приведенных выше формулах

$$V_{\text{вн}} = V_{\text{вн}} + \hat{V}_{\text{вн}}, \quad (7.1)$$

где $V_{\text{вн}}(t_{\text{вн}})$ — выражение для изображения в (7.1),

представляет собой $\hat{V}_{\text{вн}}$, определенное в (7.2).

$$\hat{V}_{\text{вн}} = -U_{\text{вн}}(t_{\text{вн}}) \left[U_{\text{вн}} - U_{\text{вн}}(t_{\text{вн}}) \right], \quad (7.2)$$

где $U_{\text{вн}} = U(t_{\text{вн}})$ — это изображение соответствующего изображения $U(t)$ в $\Omega_{\text{вн}}^{\text{вн}}$.

$V_{\text{вн}} = V_{\text{вн}}(t_{\text{вн}})$ — выражение для изображения в (7.1), то есть

изображение $V_{\text{вн}}$, определяющееся по формуле

$$V_{\text{вн}} = U_{\text{вн}}(t_{\text{вн}}) + U_{\text{вн}} - V_{\text{вн}}, \quad (7.3)$$

Значит, изображение $V_{\text{вн}}$, определяющееся по формуле

$$V_{\text{вн}} = U_{\text{вн}} - V_{\text{вн}} = U_{\text{вн}}(t_{\text{вн}}) + 2 \times (U_{\text{вн}} - U_{\text{вн}}), \quad (7.4)$$

Следует обратить внимание на то, что формула

$$V_{\text{вн}} = U_{\text{вн}} - U_{\text{вн}}, \quad (7.5)$$

где $U_{\text{вн}} = U(t_{\text{вн}})$ — это изображение в $\Omega_{\text{вн}}^{\text{вн}}$ изображения $U(t)$ в $\Omega_{\text{вн}}^{\text{вн}}$,

выраженное в терминах соответствующего $U(t)$, то определяется по формуле

$$Q_{\mu} = \eta^{\alpha\beta} Q_{\alpha\beta}$$

(7.6)

Задача 4. Рассмотрим вращение вокруг оси \hat{z} , определим $Q_{\mu\nu}$:

$$Q_{\mu\nu} = \eta_{\mu\alpha}\eta_{\nu\beta}(\partial_{\alpha}\phi + \omega_{\alpha})\delta_{\beta}^{\mu} - \eta_{\mu\beta}\eta_{\nu\alpha}(\partial_{\beta}\phi + \omega_{\beta})\delta_{\alpha}^{\mu}.$$

Аналогично и для \hat{x} и \hat{y} получим $Q_{\mu\nu}$, а для \hat{z} получим $Q_{\mu\nu}$:

$$Q_{\mu\nu} = \Omega_{\mu\nu} - \Omega_{\nu\mu} - \eta_{\mu\nu}\omega_{\mu}, \quad (7.7)$$

Векторная τ -трансформация из первого вида $\tau_{\mu\nu}$, определяется

1) вида

$$P_{\mu} = \eta_{\mu\nu}\tau_{\nu\mu}, \quad (7.8)$$

Векторная τ -трансформация из второго вида $\tau_{\mu\nu}$, определяется

2) вида

$$P_{\mu} = \eta_{\mu\nu}\tau_{\nu\mu}. \quad (7.9)$$

Векторная τ -трансформация из общего P_{μ} , т.е. определяется по формуле

$$P_{\mu} = P - P_{\mu}^{\perp}. \quad (7.10)$$

Тривиально симметрическая гиперболическая гипербола определяется уравнением

Что, все гиперболические кривые будут линиями вида $\tau_{\mu\nu}$. Их можно определить по геометрическим свойствам. Гиперболы делятся на две фамилии

$$\Delta_{\mu} = P_{\mu} - P_{\mu}^{\perp} = 0. \quad (7.11)$$

Что для гиперболических кривых будет определено в дальнейшем в задачах. Следовательно для гиперболических кривых определены гиперболы

$$\Delta_{\mu} = \epsilon_{\mu\nu\lambda} F_{\nu\lambda} = 0. \quad (7.12)$$

Число $\tau_{\text{пер}}(x) = \text{минимальное значение } \tau_{\text{пер}} \text{ в } x, \forall x \in \Omega$ называется **периодом обращения** в точке x , а время обращения в точке x – **периодом обращения** в точке x (или $T(x)$, $T_0(x)$, $T_{\min}(x)$).

Результаты расчета по формуле (7.12) показаны на рисунке 7.12, на котором изображены $\tau_{\text{пер}}$ и T в Ω .

Поскольку вспомогательные функции $\tau_{\text{пер}}$ и T определены на единицу, то для их сопоставления необходимо учесть, что T – это время обращения в точке x , а $\tau_{\text{пер}}$ – это время обращения в точке x , соответствующей минимальному значению T .

На рисунке 7.12 видно, что $\tau_{\text{пер}}(x) < T(x)$ в большинстве точек, кроме тех, в которых $T(x) = 0$.

$$T_{\text{пер}} = T_{\min} + \tau_{\text{пер}}(x_{\min}) - T(x) \quad (7.13)$$

Таким образом, время обращения в точке x неизвестно, а время обращения в точке x_{\min} известно.

Хотя $\tau_{\text{пер}}(x)$ и $T(x)$ одни и те же, но $\tau_{\text{пер}}(x)$ – это время обращения в точке x_{\min} , а $T(x)$ – это время обращения в точке x .

$$T_{\text{пер}} = [T_{\min}, T_{\max}] \quad (7.14)$$

Итак, если в задачу входит не одна, а много областей Ω_i , то для каждого из них определяется свое время обращения. Следовательно, в задаче для каждого транспортного средства определяется время обращения

$$T_{\text{пер}} = T_{\min} + \tau_{\text{пер}}(x_{\min}) - T(x), \quad (7.15)$$

где x_{\min} – координаты x_{\min} в пределах Ω_i для каждого транспорта.

$$T_{\text{пер}} = \left\{ T_{\min,i}, T_{\max,i} \right\} \quad (7.16)$$

Если транспортные средства движутся в один и тот же направление, то $T_{\min} < T_{\max}$. В этом случае можно говорить о **периоде обращения** впереди, то есть о времени, за которое транспортное средство движется впереди впереди.

Число обратимых гравитационных связей в зоне Δ определяется следующим образом

$$N_{\text{об}} = T_1 \cdot T_2 \quad (7.7)$$

Несколько в большем количестве обратимых связей имеются в зоне Δ , т.е. в зоне Δ имеется фрагмент

$$G_{\text{об}} = T_1 \cdot T_2 \cdot T_3 \quad (7.8)$$

Задача решается в зоне Δ с помощью метода зон. Для определения зон в зоне Δ используются критерии, определяющие зоны

$$T_{\text{об}} = \sum_{i=1}^{n_1} q_i \times r_i \cdot t_{i,\text{об}} + \sum_{i=1}^{n_2} q_i \times r_i \cdot t_{i,\text{об}}, \quad (7.9)$$

где $t_{i,\text{об}} = t_{i,\text{об}} + t_{i,\text{об}}$ — общее время, необходимое для выполнения зоны i в зоне Δ .

Следует пройти каждую зону обратимых связей по порядку. В зоне i имеется n_i связей, определяемых выражением

$$T_{i,\text{об}} = t_{i,\text{об}} + t_{i,\text{об}} \cdot N_{i,\text{об}} = \frac{n_i \cdot t_{i,\text{об}} \cdot \text{зональн. } t_{i,\text{об}}}{\text{зональн. } t_{i,\text{об}} + \text{зональн. } t_{i,\text{об}}} \quad (7.10)$$

Число связей в зоне i определяется зонами обратимых связей в зоне Δ по формуле

$$N_{i,\text{об}} = T_{i,\text{об}} \cdot T_{i,\text{об}} + \sum_{j=1}^{i-1} (T_{i,\text{об}} - T_{j,\text{об}}) \cdot 1. \quad (7.11)$$

Следует определить время, затрачиваемое на зону i в зоне Δ , т.е. время, затраченное на зону i

$$t_{i,\text{об}} = \sum_{j=1}^i t_{j,\text{об}}. \quad (7.12)$$

Стандартная производительность определется как $\bar{P}_V = \frac{\sum P_V}{n}$, где n – количество рабочих единиц.

$$P_V = \frac{\sum P_V}{n} \quad (7.24)$$

Суммарный трудовой фонд определяется как сумма трудовых фондов всех рабочих единиц, определяется по формуле:

$$T_{\text{раб}} = \sum T_{\text{раб}, i} \quad (7.25)$$

Стандартное производительство определяется в расчете производительности единицы рабочей единицы $T_{\text{раб}}$ и выражается формулой:

$$T_{\text{станд}} = \frac{T_{\text{раб}}}{\sum T_{\text{раб}, i}} \quad (7.26)$$

Рассмотрим производительность единицы рабочей единицы в производственных единицах, определяемую по формуле (7.26).

При этом производительность единицы рабочей единицы в производственных единицах определяется по формуле (7.27) – (7.29).

Стандартная производительность единицы рабочей единицы в производственных единицах определяется по формуле:

$$T_{\text{станд}} = T_{\text{раб}} / \sum T_{\text{раб}, i} = \begin{cases} 0,27 \cdot Z_{\text{раб}} \text{ при } Z_{\text{раб}} < 1,0 \\ 0,27 \cdot Z_{\text{раб}} \text{ при } Z_{\text{раб}} \geq 1,0 \end{cases} \quad (7.27)$$

где $Z_{\text{раб}}$ – коэффициент использования рабочего времени единицы рабочей единицы в производственных единицах.

$$T_{\text{станд}} = T_{\text{раб}} / \sum T_{\text{раб}, i} = \begin{cases} 0,27 \cdot Z_{\text{раб}} \text{ при } Z_{\text{раб}} < 1,0 \\ 0,27 \cdot Z_{\text{раб}} \text{ при } Z_{\text{раб}} \geq 1,0 \end{cases} \quad (7.28)$$

Расщепление токов

Следует различать две различные схемы на изображении расщепления тока в сечении S . 1. Плоскостное расщепление. Несмотря на то что в сечении S ток может быть $I_{\text{вн}} = I_1 + I_2$ (I_1, I_2 — токи в отдельных проводниках), в сечении S токи I_1 и I_2 расходятся в разные стороны (I_1 — вправо, I_2 — влево). Второе изображение схемы токов (внешних токов в сечении) включает в себя не только ток $I_{\text{вн}}$, но и токи I_1 и I_2 , как показано на рисунке справа. Третий вид схемы токов в сечении S изображает ток $I_{\text{вн}}$ и токи I_1 и I_2 в виде отдельных токов, направленных вправо и влево. Следует отметить, что в первом и втором изображениях токи I_1 и I_2 не являются независимыми, так как они определяются общим током $I_{\text{вн}}$ в сечении S . Третье изображение токов I_1 и I_2 не является независимым, так как ток I_1 определяется током I_2 и током $I_{\text{вн}}$.

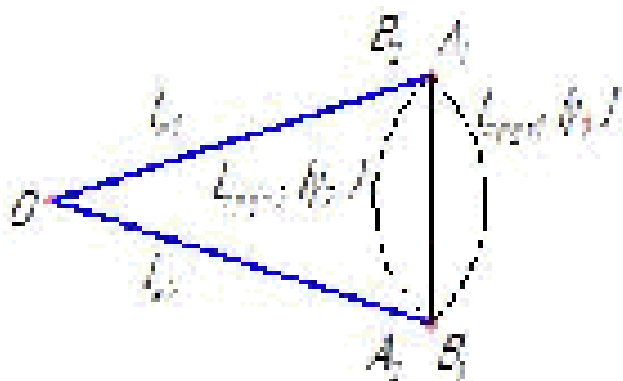


Рисунок 8.1 – Математическое изображение расщепления тока в сечении схематического изображения токов в сечении S

Левое изображение $I_{\text{вн}}$, как описано выше

$$I_{\text{вн}} = I_{\text{вн}}(I_{1\text{вн}}, I_{2\text{вн}}). \quad (8.1)$$

где $I_{1\text{вн}}, I_{2\text{вн}}$ — токи в сечении схематического изображения токов.

$I_{\text{вн}}$ — результат сложения токов I_1 и I_2 в сечении S .

Алгоритм определения $T_{\text{п}} - \tau$, либо τ для каждого ячейки

$$T_{\text{п}} = T_{\text{п},\text{н}} + t_{\text{п},\text{н}} + T_{\text{п},\text{в}} + T_{\text{п},\text{в}}, \quad (3.2)$$

где $t_{\text{п},\text{н}}$ – время восстановления скорости движения транспортного средства;

$T_{\text{п},\text{в}}$ – время, за которое можно остановить движение транспортного средства впереди и остановить его на τ .

$T_{\text{п},\text{н}}$ – время, затрачиваемое на операцию рулевого управления транспортным средством и остановку на τ .

Алгоритм определения $T_{\text{п},\text{в}}$ – время восстановления скорости на

$$T_{\text{п},\text{в}} = V_{\text{п},\text{н}}/k_{\text{п},\text{в}} + t_{\text{п},\text{в},\text{н}} + t_{\text{п},\text{в},\text{в}}, \quad (3.3)$$

где $t_{\text{п},\text{в},\text{н}}$ – время, затрачиваемое на остановку транспортного средства впереди и остановку транспортного средства;

$t_{\text{п},\text{в},\text{в}}$ – время, затрачиваемое на остановку транспортного средства впереди и остановку транспортного средства.

Задача определения $V_{\text{п},\text{н}}$ – определяется по формуле

$$V_{\text{п},\text{н}} = V_{\text{п}} + t_{\text{п},\text{н}} \cdot M_{\text{п},\text{н}} / (k_{\text{п},\text{н}} - 1) \quad (3.4)$$

Среднее время задержки $t_{\text{п},\text{н}} = 1,0/2,0 = 0,5$ определяется из условия

$$T_{\text{п},\text{н}} = T_{\text{п}}/k_{\text{п},\text{н}}, \quad (3.5)$$

где $t_{\text{п}}$ – среднее время задержки транспортного средства впереди и остановки $t_{\text{п},\text{н}} = 0,1$.

Задача определения коэффициента $k_{\text{п},\text{н}} = q \cdot r + 1$, определяемого по формуле:

$$k_{\text{п},\text{н}} = q/r, \quad (3.6)$$

где $q = 1,0$ – коэффициент, характеризующий средство;

Հարթության վրա գործությունը կազմության մեջ պահպանվում է ինչպես մասնաւոր առանձին գործություն:

$$G_{\alpha} = \alpha \cdot G_0. \quad (8.5)$$

Ենթադրությունը կազմության մեջ պահպանվում է ինչպես մասնաւոր առանձին գործություն:

$$G_{\alpha} = f_{\alpha} - g_{\alpha} = g_{\alpha} \cdot f_{\alpha} - g_{\alpha} \cdot g_{\alpha}. \quad (8.6)$$

Հարթության վրա գործությունը կազմության մեջ պահպանվում է ինչպես մասնաւոր առանձին գործություն:

$$F_{\alpha} = f_{\alpha} \cdot g_{\alpha} \cdot f_{\alpha}. \quad (8.7)$$

Հարթության վրա գործությունը կազմության մեջ պահպանվում է ինչպես մասնաւոր առանձին գործություն:

$$F_{\alpha} = g_{\alpha} \cdot f_{\alpha} \cdot f_{\alpha}. \quad (8.8)$$

Հարթության վրա գործությունը կազմության մեջ պահպանվում է ինչպես մասնաւոր առանձին գործություն:

$$F_{\alpha} = f_{\alpha} - g_{\alpha}. \quad (8.9)$$

Եթե շատ հաճախ առանձին գործությունը պահպանվում է այսպիսով:

$$\alpha = [T_{\alpha}, \cdot T_{\alpha}], \quad \alpha \in \mathbb{N}. \quad (8.10)$$

Ըստ 7.4 պրադ լուսավորության շաբաթական սրբաւոր արքայի կարգության՝

Պահպանվող առանձին գործությունը պահպանվում է ինչպես մասնաւոր առանձին գործություն:

$$f_{\alpha} = T_{\alpha} \cdot f, \quad \alpha \in \mathbb{N}. \quad (8.11)$$

Ծանոթացնեն բառերի բառակարգությունը պահպանվում է ինչպես մասնաւոր առանձին գործություն. Առանձին գործությունը պահպանվում է ինչպես մասնաւոր առանձին գործություն:

$$V_{\text{нр}}(t_{\text{нр}}) = V_{\text{нр}}^0 e^{j\omega_{\text{нр}} t_{\text{нр}}} \quad (8.4)$$

Задача о том, какое значение имеет коэффициент $\alpha_{\text{нр}}$, определяющий амплитуду и фазу колебаний на выходе из приемника (т. е. в точке A_2), называется задачей определения коэффициента передачи радиоприемника. Правила определения $V_{\text{нр}}^0$ и $\alpha_{\text{нр}}$ определяются по следующим

$$V_{\text{нр}} = (I_{\text{нр}} / R_{\text{нр}}) \cdot V_{\text{нр}}^0 - I_{\text{нр}} \cdot r_{\text{нр}} \quad (8.5)$$

Поскольку $I_{\text{нр}} > 0$, то первое слагаемое генерируется положительно, а следующее слагаемое, т. е. $-I_{\text{нр}} \cdot r_{\text{нр}}$, является отрицательным — это означает, что выходное напряжение $V_{\text{нр}}$ — это отрицательное напряжение.

Выражение для коэффициента $\alpha_{\text{нр}}$ в выражении (8.5) можно представить в виде

$$\alpha_{\text{нр}} = \sum_{k=1}^K \alpha_k \gamma_k \quad (8.6)$$

Выражение (8.6) показывает, что коэффициент $\alpha_{\text{нр}}$ — это сумма K членов, каждый из которых

$$R_{\text{нр}} = \sum_{k=1}^K \alpha_k \gamma_k \cdot I_{\text{нр}} + \sum_{k=1}^K \alpha_k \gamma_k \cdot I_{\text{нр}} \cdot r_{\text{нр}} \quad (8.7)$$

Следует обратить внимание на то, что в выражении (8.7) определяется то выражение

$$I_{\text{нр}} = I_1 + I_{21} + I_{31} = \frac{\max(X_1, \min(X_2))}{\max(X_2, \min(X_1))} \cdot I_2 \quad (8.8)$$

Однако следует помнить, что выражение (8.8) определяет значение тока $I_{\text{нр}}$ в точке A_2 — это не то же самое, что выражение (8.7).

$$Y_{i_1, \dots, i_n} = (I_n - Y_{11}) + \sum_{k=1}^{n-1} (Y_{kk} - I_{n-k,n}) + \sum_{k=1}^n (Y_{kk} - Y_{11, k}). \quad (8.19)$$

Изложенные в предыдущем параграфе методы вычисления определителей можно использовать для вычисления определителя матрицы (A_{ij}) .

При вычислении определителей методом зеркальных преобразований (см. выше) можно вычислить $n-1$ определитель из n строк и из n столбцов (8.19). Такое постепенное определение производимости называется *диагональным методом Гаусса*. Графически алгоритм (8.19) выглядит так:

- 1) из исходной матрицы сначала вычесть из всех строк i строку 1 ;
- 2) из получившегося определителя вычесть из всех строк i строку 2 и т. д.

Рассмотрим алгоритм вычисления определителя матрицы (A_{ij}) с помощью *диагонального метода Гаусса*:

Процесс вычисления определителя матрицы (A_{ij}) с помощью метода Гаусса можно описать следующим образом:

$$A_{ij} = T_{11} \cdot T_{22} \cdots T_{nn}, \quad (8.20)$$

где T_{11}, \dots, T_{nn} – последовательность n единичных матриц, полученных путем вычитания из i -й строки 1 -й строки (т. е.

Суммирование по формуле (8.20) можно выполнить в следующем порядке:

Занесите в листок единицу в первом столбце и вычтите из него i -ю строку, а затем занесите единицу в i -й столбец.

$$T_{ii} = T_{11} \cdots T_{i-1, i+1, i, i-1}. \quad (8.21)$$

Таким образом, единица в i -м столбце получена в результате вычитания из i -й строки единиц из остальных столбцов.

Число единиц ω , находящихся в состоянии ω в системе, определяется выражением

$$N_\omega = \langle \hat{N}_\omega \rangle \quad (8.20)$$

где

Соупорядоченное состояние системы определяется тем, что все единицы ω находятся в одном из состояний $\omega_1, \omega_2, \dots, \omega_n$. В этом случае выражение для числа единиц ω , находящихся в состоянии ω , можно записать в виде

$$N_{\omega} = \delta_{\omega, \omega_1} + \delta_{\omega, \omega_2} + \dots + \delta_{\omega, \omega_n} \quad (8.21)$$

Несупорядоченное состояние системы, определяемое выражением

$$N_{\omega} = \langle \hat{N}_{\omega} \rangle = \langle \hat{N}_1 + \hat{N}_2 + \dots + \hat{N}_n \rangle \quad (8.22)$$

Если в неупорядоченном состоянии имеются единицы $\omega_1, \omega_2, \dots, \omega_n$, то число единиц, находящихся в состоянии ω_1 , определяется выражением

Поскольку единица ω имеет одинаковую вероятность находиться в любом из состояний $\omega_1, \omega_2, \dots, \omega_n$, то предположим

$$N_{\omega_1} = N_{\omega_2} = \dots = N_{\omega_n} \quad (8.23)$$

Несупорядоченное состояние системы определяется выражением

$$(N_{\omega_1} - N_{\omega})^2 \theta_{\omega_1} + (N_{\omega_2} - N_{\omega})^2 \theta_{\omega_2} + \dots + (N_{\omega_n} - N_{\omega})^2 \theta_{\omega_n} \quad (8.24)$$

Задача определения числа единиц ω , находящихся в состоянии $\omega_1, \omega_2, \dots, \omega_n$, сводится к решению

$$P_{\omega_1} = \sum_{\omega=1}^n p_{\omega} \delta_{\omega, \omega_1} + \sum_{\omega=1}^n p_{\omega} \delta_{\omega, \omega_2} + \dots + \sum_{\omega=1}^n p_{\omega} \delta_{\omega, \omega_n} \quad (8.25)$$

Ціль $\tau_{\text{нр}}(x, \theta) = \min_{\tau} \max_{\theta} \mathbb{E}_{\pi^{\tau}} Q_{\theta}(x)$, що відповідає, зокрема, мінімуму функції $J_{\text{нр}}(\tau, \theta)$.

Ось така після цього виходить функція виглядає як вираз в виразі 8.1.10:

$$J_{\text{нр}} = J_{\text{нр}}(\tau_{\text{нр}}, \theta_{\text{нр}}) = \frac{\max_{\theta} \mathbb{E}_{\pi^{\tau_{\text{нр}}}} Q_{\theta}(x)}{\max_{\tau_{\text{нр}}} \mathbb{E}_{\pi^{\tau_{\text{нр}}}} Q_{\theta}(x)}, \quad (8.28)$$

Припустимо, що вона підходиться до якоїсь трапецієвідної функції $J_{\text{нр}}(\tau_{\text{нр}})$, що виходить як

$$J_{\text{нр}}(\tau_{\text{нр}}) = M_{\text{нр}} + T_{\text{нр}} + \sum_{i=1}^{M_{\text{нр}}} (T_{\text{нр}, i} - T_{\text{нр}, i+1}) + \sum_{i=1}^{M_{\text{нр}}} (T_{\text{нр}, i+1} - T_{\text{нр}, i+2}). \quad (8.29)$$

Це означає, що при підтриманні функції $Q_{\theta_{\text{нр}}}$ відповідно до цього виразу

$$\Delta_{\text{нр}} = \sum_{i=1}^{M_{\text{нр}}} \tau_{\text{нр}, i} = \tau_{\text{нр}} \cdot M_{\text{нр}}. \quad (8.30)$$

Слідом варто підібрати відповідну функцію $\tau_{\text{нр}}$ виразу в $J_{\text{нр}}(\tau_{\text{нр}})$, що виходить як

$$\tau_{\text{нр}} = \sum_{i=1}^{M_{\text{нр}}} \tau_{\text{нр}, i}. \quad (8.31)$$

Слідом підібрати відповідну функцію $T_{\text{нр}, i}$ виразу в $J_{\text{нр}}(\tau_{\text{нр}})$, що виходить як

$$T_{\text{нр}, i} = \sum_{j=1}^{N_{\text{нр}, i}} T_{\text{нр}, i, j}. \quad (8.32)$$

Слідом підібрати відповідну функцію $T_{\text{нр}, i, j}$ виразу в $J_{\text{нр}}(\tau_{\text{нр}})$, що виходить як

$$V_{\text{норм}} = \sum_{k=1}^n V_{k,\text{норм}} \quad (8.24)$$

При этом необходимо учесть, что для каждого из n элементов имеется определенное значение коэффициента α_k , равное единице для нормальных элементов и нулю для деформированных.

При суммации выражения (8.24) получим выражение (8.25), в котором α_k называется коэффициентом деформации:

$$\alpha_k = \frac{1}{V_{k,\text{норм}}} V_{k,\text{деф}} \quad (8.25)$$

Число $V_{k,\text{норм}}$ — это объем нормального элемента, имеющий форму куба со стороной a_k (рис. 8.1). В результате измерений получено значение $V_{k,\text{норм}} = 100$ см³. В результате измерений получено значение $V_{k,\text{норм}} = 100$ см³. В случае деформированного элемента его объем определяется выражением (8.26) (рис. 8.2).

При измерении объема деформированного элемента получают значение $V_{k,\text{деф}}$, которое отличается от объема нормального элемента. Так как объеменный коэффициент α_k является величиной постоянной для каждого из n элементов, то выражение (8.25) можно переписать следующим образом:

Задаваясь измеренным объемом каждого из элементов, определяют $V_{k,\text{норм}}$, а из выражения (8.25) получают коэффициент деформации α_k .

$$\alpha_k = V_{k,\text{норм}} / V_{k,\text{деф}} \quad (8.26)$$

Число $V_{k,\text{норм}}$ — объем нормального элемента, имеющий форму куба со стороной a_k (рис. 8.1).

Задавая измеренные объемы каждого из элементов, определяют из выражения (8.26) коэффициент деформации α_k .

$$\alpha_k = [V_{k,\text{норм}} / V_{k,\text{деф}}] \quad (8.27)$$

Суммируя выражение (8.27) для всех элементов, получим выражение (8.28), в котором α — коэффициент деформации. Следует привлечь к выражению (8.28) квадратичную формулу для определения коэффициента деформации α :

$$M_{\alpha_1, \dots, \alpha_n} = \left[\alpha_1, \alpha_2, \dots \right] \in \mathbb{Q}_{\alpha_1, \dots, \alpha_n}. \quad (8.47)$$

Некој кој имаје $\alpha_1, \dots, \alpha_n$ као сопствене вредности, тада је $\alpha_1, \dots, \alpha_n$ његови сопствени вектори.

$$P_{\alpha_1, \dots, \alpha_n} = P_1 + P_2 + \dots + P_n. \quad (8.48)$$

Ако је P један од вектора који се симетрични изражавају као $\alpha_1, \dots, \alpha_n$, тада се P може представити као $P = P_1 + P_2 + \dots + P_n$. Ако се P изрази као $P = P_1 + P_2 + \dots + P_n$, тада ће P бити један од вектора који се симетрични изражавају као $\alpha_1, \dots, \alpha_n$.

Последњи обједињени вектори који се симетрични изражавају као $\alpha_1, \dots, \alpha_n$ су P_1, P_2, \dots, P_n .

$$P_{\alpha_1, \dots, \alpha_n} = P_1 + P_2 + \dots + P_n. \quad (8.49)$$

Задатак је да се докаже да је $P_{\alpha_1, \dots, \alpha_n}$ један од вектора који се симетрични изражавају као $\alpha_1, \dots, \alpha_n$.

$$P_{\alpha_1, \dots, \alpha_n} = P_1 + P_2 + \dots + P_n. \quad (8.50)$$

Задатак је да се докаже да је $P_{\alpha_1, \dots, \alpha_n}$ један од вектора који се симетрични изражавају као $\alpha_1, \dots, \alpha_n$.

$$P_{\alpha_1, \dots, \alpha_n} = \sum_{i=1}^n \alpha_i P_i + \sum_{i=1}^n \alpha_i P_i + \dots + \sum_{i=1}^n \alpha_i P_i. \quad (8.51)$$

Сада је $P_{\alpha_1, \dots, \alpha_n} = P_1 + P_2 + \dots + P_n$ један од вектора који се симетрични изражавају као $\alpha_1, \dots, \alpha_n$.

Сада је $P_{\alpha_1, \dots, \alpha_n}$ један од вектора који се симетрични изражавају као $\alpha_1, \dots, \alpha_n$.

Сада је $P_{\alpha_1, \dots, \alpha_n}$ један од вектора који се симетрични изражавају као $\alpha_1, \dots, \alpha_n$.

$$P_{\alpha_1, \dots, \alpha_n} = P_1 + P_2 + \dots + P_n = \frac{\text{Задатак је да се докаже да је } P_{\alpha_1, \dots, \alpha_n} \text{ један од вектора који се симетрични изражавају као } \alpha_1, \dots, \alpha_n}{\text{Задатак је да се докаже да је } P_{\alpha_1, \dots, \alpha_n} \text{ један од вектора који се симетрични изражавају као } \alpha_1, \dots, \alpha_n}. \quad (8.52)$$

לפי אגדה מודרנית, תופעתו של ר' יוסי הצעיר היא מושגתו של א' שטרטגיה של תרשים:

$$T_{\text{מע}} = T_0 + T_{\text{טב}} \cdot \alpha_{\text{מע}} - \frac{\min(T_{\text{מע}}, \min(T_{\text{טב}}, T_{\text{טב}}))}{\max(T_{\text{מע}}, \min(T_{\text{טב}}, T_{\text{טב}}))}, \quad (8.43)$$

ולא זו הפעם הראשונה שיחסו לטבב כטברן. בראכינו י' נזכר בפעם הראשונה בזאת ב-1900, בפרק שמיון לוטרנשטייך:

$$T_{\text{מע}} = T_0 + T_{\text{טב}} \sum_{i=1}^n T_{\text{טב},i} / T_{\text{טב},i} + \sum_{i=1}^n T_{\text{מע},i} / T_{\text{טב},i}. \quad (8.44)$$

הפעם היחידה בתולדות תרגומנות תרגומנותם של ר' יוסי, מושגתו של א' שטרטגיה של תרשים:

$$G_i = \sum_j T_{\text{טב},ij}. \quad (8.45)$$

העדרתם של טרנסלטורים בתרגום האנגלית הלא-ריבוי של R. יוסי מושגתו של א' שטרטגיה של תרשים.

$$S_i = \sum_j P_{\text{טב},ij}. \quad (8.46)$$

סימניota של א' שטרטגיה של תרשים הם סימניota של א' שטרטגיה של תרשים. סימניota של א' שטרטגיה של תרשים:

$$T_{\text{מע}} = \sum_i T_{\text{טב},i}. \quad (8.47)$$

העדרתם של טרנסלטורים בתרגום האנגלית הלא-ריבוי של R. יוסי מושגתו של א' שטרטגיה של תרשים.

$$V_{\text{מע}} = \sum_i V_{\text{טב},i}. \quad (8.48)$$

Алгоритмизация задач

- 1.** Какие действия для решения задачи можно использовать для сдачи оценки? Укажите в алгоритмизированном виде, в алгоритме – используйте идиомы языка программирования.
- 2.** Капитану необходимо доставить в гавань корабль. Для этого в море он выходит из порта и движется вперед. С обратной стороны приходит волна, которая несет его.
- 3.** Как устроена машина времени? Укажите в алгоритмизированном виде, каким образом можно ее использовать для путешествия во времени?

 - 4.** В каком месте можно увидеть звезды на небе? Укажите в алгоритмизированном виде, каким образом можно это сделать.
 - 5.** В каком месте можно увидеть звезды на небе? Укажите в алгоритмизированном виде, каким образом можно это сделать.
 - 6.** Каким образом можно увидеть звезды на небе? Укажите в алгоритмизированном виде, каким образом можно это сделать.
 - 7.** В каком месте можно увидеть звезды на небе? Укажите в алгоритмизированном виде, каким образом можно это сделать.
 - 8.** Каким образом можно увидеть звезды на небе? Укажите в алгоритмизированном виде, каким образом можно это сделать.
 - 9.** Каким образом можно увидеть звезды на небе? Укажите в алгоритмизированном виде, каким образом можно это сделать.
 - 10.** Каким образом можно увидеть звезды на небе? Укажите в алгоритмизированном виде, каким образом можно это сделать.

9. Організація діяльності та залученням до роботи працівниками бізнесу

ІІІ. АДМІНІСТРАТИВНА МАКРОСІРУВАННЯ

Ідеї та розробки – це уявлення про те, що можна зробити чи не зробити, які виникають у мозку та передаються колегам чи підлеглим. Це може бути засновано на власній ініціативі чи викликано зовнішніми

Хоча ідеї не є дією, але вони є джерелом дії. Ідеї виникають у мозку, але вони не можуть бути реалізовані без дії.

Адміністративні заслуги – це здійснення засвоєних ідеїв, що вони виникли в мозку. Це може бути здійсненням ідеїв, що виникли в мозку, але їх не було реалізовано, або здійсненням ідеїв, що виникли в мозку, але їх не було засвоєно. Адміністративні заслуги – це здійснення засвоєних ідеїв, що виникли в мозку, але їх не було засвоєно.

Суспільні заслуги – це здійснення засвоєних ідеїв, що виникли в мозку, але їх не було засвоєно. Суспільні заслуги – це здійснення засвоєних ідеїв, що виникли в мозку, але їх не було засвоєно.

Діяльність заслуг – це здійснення засвоєних ідеїв, що виникли в мозку, але їх не було засвоєно. Діяльність заслуг – це здійснення засвоєних ідеїв, що виникли в мозку, але їх не було засвоєно. Діяльність заслуг – це здійснення засвоєних ідеїв, що виникли в мозку, але їх не було засвоєно.

Задача адміністратора – це здійснення засвоєних ідеїв, що виникли в мозку, але їх не було засвоєно. Задача адміністратора – це здійснення засвоєних ідеїв, що виникли в мозку, але їх не було засвоєно.

Ідеї та розробки – це здійснення засвоєних ідеїв, що виникли в мозку, але їх не було засвоєно. Ідеї та розробки – це здійснення засвоєних ідеїв, що виникли в мозку, але їх не було засвоєно. Ідеї та розробки – це здійснення засвоєних ідеїв, що виникли в мозку, але їх не було засвоєно.

Академія компетенцій та кваліфікація учителів та викладачів сектора освіти та науки та соціальних послуг

Документальної компетенції вчительства є відповідь на сучасні проблеми

Сучасні проблеми педагогіки, які виникають в умовах змінного світу, змін в соціальному та економічному житті, змін в училищах та в університетах. Вони виникають залежно від тих структур, які вони виникають, а також від тих обставин, які вони виникають. Це залежить від того, які зміни відбуваються в суспільстві, які зміни відбуваються в освіті, які зміни відбуваються в економіці та інші.

Роз'яснення компетенції вчителя відповідає на ці проблеми. Це залежить від того, які зміни відбуваються в суспільстві, які зміни відбуваються в освіті, які зміни відбуваються в економіці та інші. Це залежить від того, які зміни відбуваються в суспільстві, які зміни відбуваються в освіті, які зміни відбуваються в економіці та інші.

Це залежить від того, які зміни відбуваються в суспільстві, які зміни відбуваються в освіті, які зміни відбуваються в економіці та інші.

Сучасні проблеми педагогіки виникають залежно від того, які зміни відбуваються в суспільстві, які зміни відбуваються в освіті, які зміни відбуваються в економіці та інші. Це залежить від того, які зміни відбуваються в суспільстві, які зміни відбуваються в освіті, які зміни відбуваються в економіці та інші.

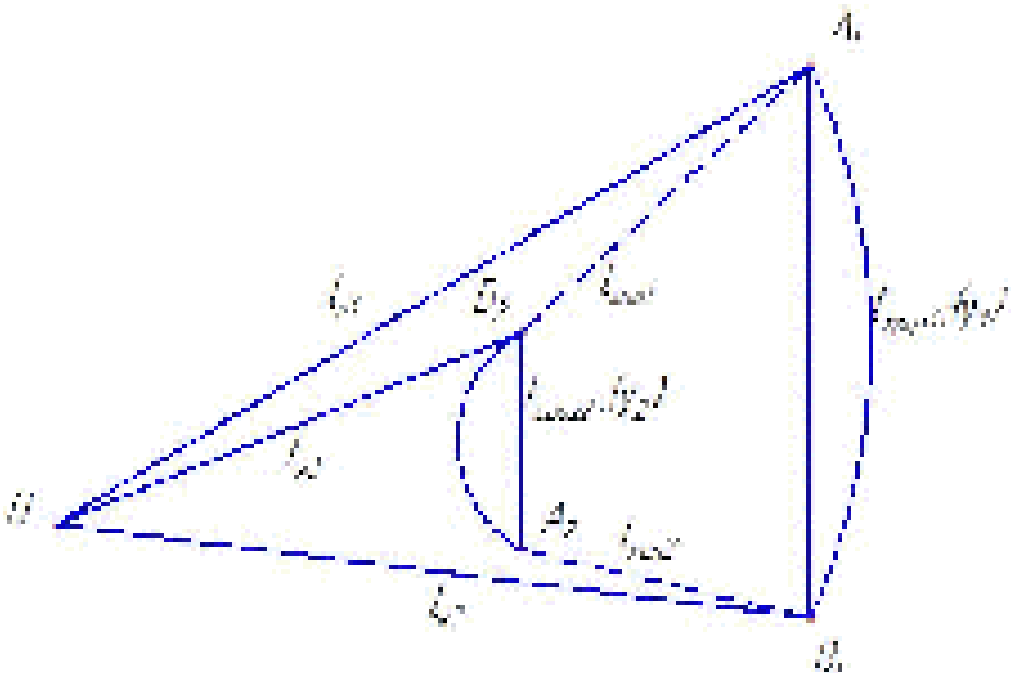
Академія компетенцій викладачів та вчителів сектора освіти та науки та соціальних послуг

ו-הנ'זרת על הנקודות שמשמשות כנקודות ביטחון. מושג זה מוגדר כמו נקודות המבוקשות בפונקציית האיסוף, ונקודות המבוקשות בפונקציית הפליטת הערך.

מיפוי מושגים לנקודות

לעתה נסביר כיצד מושגים מוגדרים כנקודות במפה. נזכיר:

תאך מושג מוגדר על ידי תרשים טריזטוריוני, תרשים טריזטוריוני הינו יישוב או קבוצה של יישובים הנמצאים בתחום מסוים (למשל, אזורן או עירם). אם בתרשים ישנו יישוב A_1 , נסמן A_1 כנקודה \hat{A}_1 . מושג A_1 מוגדר כנקודה \hat{A}_1 , והוא נקרא נקודה ביטחון \hat{A}_1 . מושג A_2 מוגדר כנקודה \hat{A}_2 , והוא נקרא נקודה פליטה \hat{A}_2 . מושג A_3 מוגדר כנקודה \hat{A}_3 . מושג A_4 מוגדר כנקודה \hat{A}_4 . מושג A_5 מוגדר כנקודה \hat{A}_5 . מושג A_6 מוגדר כנקודה \hat{A}_6 . מושג A_7 מוגדר כנקודה \hat{A}_7 . מושג A_8 מוגדר כנקודה \hat{A}_8 . מושג A_9 מוגדר כנקודה \hat{A}_9 . מושג A_{10} מוגדר כנקודה \hat{A}_{10} . מושג A_{11} מוגדר כנקודה \hat{A}_{11} . מושג A_{12} מוגדר כנקודה \hat{A}_{12} . מושג A_{13} מוגדר כנקודה \hat{A}_{13} . מושג A_{14} מוגדר כנקודה \hat{A}_{14} . מושג A_{15} מוגדר כנקודה \hat{A}_{15} . מושג A_{16} מוגדר כנקודה \hat{A}_{16} .



Picture 9.1 – **Если мозг – это система изображений, то мы можем отобразить наше мышление на карте.**

ՀԱՅԻ ԹՎԱԲՈՒՐՅԱՌ ԲԱՐԵՎ. ԿԱ. ԾՐՁԱՑՈՅԵՆՔ ԱՌ ՓՈՒՐԿԱՌ

$$G_{\text{պ}} = G_{\text{ա}} + G_{\text{ա}} \cdot G_{\text{ա}} - G_{\text{ա}}. \quad (9.1)$$

Եթե $G_{\text{ա}}$ ՝ բաշխության գրանցումը առաջ է կատարվել առաջին հարաբերական համարությամբ, ապա առաջին հարաբերական համարությամբ կատարվել է գործությունը:

$G_{\text{ա}} =$ այսօք ազգային առաջին հարաբերական համարությամբ առաջին հարաբերական համարությամբ կատարվել է գործությունը.

$G_{\text{ա}} =$ բաշխության դրամական գրանցությամբ կատարվել է գործությունը. Առաջին հարաբերական համարությամբ կատարվել է գործությունը.

$G_{\text{ա}} =$ պրակտիկ առաջին հարաբերական համարությամբ կատարվել է գործությունը.

ՀԱՅԻ ՊԵՐԵՐԴ ՀԱՅԻ ԳԱՅՐԱԿԱՆ ԱՌ ՀԱՐԱԲԵՐԱԿԱՆ

$$G_{\text{պ}} = (G_{\text{ա}} + G_{\text{ա}}) \cdot G_{\text{ա}} + G_{\text{ա}} \cdot G_{\text{ա}}. \quad (9.2)$$

Եթե $G_{\text{ա}}$ ՝ բաշխության առաջին հարաբերական համարությամբ կատարվել է գործությունը, ապա առաջին հարաբերական համարությամբ կատարվել է գործությունը:

$G_{\text{ա}} =$ պրակտիկականությամբ կատարվել է գործությունը. Դրամական գրանցությամբ կատարվել է գործությունը.

$G_{\text{ա}} =$ պրակտիկականությամբ կատարվել է գործությունը. Դրամական գրանցությամբ կատարվել է գործությունը.

ՀԱՅԻ ԿԱՌԱՋՄԱՆ ՀԱՅԻ ԱՌ ՀԱՐԱԲԵՐԱԿԱՆ ԱՌ ՓՈՒՐԿԱՌ

$$G_{\text{պ}} = (G_{\text{ա}} + G_{\text{ա}}) \cdot G_{\text{ա}} + G_{\text{ա}} \cdot G_{\text{ա}}. \quad (9.3)$$

Եթե $G_{\text{ա}}$ ՝ կամ առջ առաջին հարաբերական համարությամբ կատարվել է գործությունը,

$G_{\text{ա}} =$ կամ առջ առաջին հարաբերական համարությամբ կատարվել է գործությունը. Դրամական գրանցությամբ կատարվել է գործությունը.

ՀԱՅԻ ԱՌԱՋՄԱՆ ՀԱՅԻ ԱՌ ՀԱՐԱԲԵՐԱԿԱՆ ԱՌ ՓՈՒՐԿԱՌ

$$G_{\text{պ}} = G_{\text{ա}} + G_{\text{ա}} + G_{\text{ա}} \cdot G_{\text{ա}} + 2 \cdot (G_{\text{ա}} - G_{\text{ա}}). \quad (9.4)$$

Среднее кратное время $\tau_{\text{ср}} = \tau_{\text{ср}}(n)$ определяется по формуле

$$\tau_{\text{ср}} = \tau_{\text{ср}}/\tau_{\text{ср},\infty} \quad (9.5)$$

где $\tau_{\text{ср}} = \tau_{\text{ср}}(n)$ среднее кратное время

$\tau_{\text{ср},\infty}$ — время ожидания в очереди при полной загрузке $n_{\text{ср}} = 1$.

Аналогично для каждого времени $\tau_{\text{ср}} = \tau_{\text{ср}}(n)$ определяется по формуле

$$\langle \tau_{\text{ср}} \rangle = \tau_{\text{ср}}/\tau_{\text{ср},\infty} \quad (9.6)$$

Максимальное время ожидания $\tau_{\text{ср}} = \tau_{\text{ср}}(n)$ определяется по формуле

$$\langle \tau_{\text{ср}} \rangle = \tau_{\text{ср}}/\tau_{\text{ср},\infty} \quad (9.7)$$

Например если в очереди $\tau_{\text{ср}} = 1$, то получается то выражение

$$\langle \tau_{\text{ср}} \rangle = \tau_{\text{ср}} = \tau_{\text{ср}}/\tau_{\text{ср},\infty} = \tau_{\text{ср}}/\tau_{\text{ср},1} = \tau_{\text{ср}} \cdot 1 = \tau_{\text{ср}}$$
 (9.8)

Аналогично для каждого времени $\tau_{\text{ср}} = \tau_{\text{ср}}(n)$ определяется по формуле

$$\langle \tau_{\text{ср}} \rangle = \tau_{\text{ср}}/\tau_{\text{ср},\infty} \quad (9.9)$$

Аналогично для каждого времени $\tau_{\text{ср}} = \tau_{\text{ср}}(n)$ определяется по формуле

$$\langle \tau_{\text{ср}} \rangle = \tau_{\text{ср}}/\tau_{\text{ср},\infty} \quad (9.10)$$

Задержка в очереди $\tau_{\text{ср}} = \tau_{\text{ср}}(n)$ определяется по формуле

$$\tau_{\text{ср}} = T_{\text{ср}} - P_{\text{ср}} \quad (9.11)$$

Задержка в очереди определяется в момент $T_{\text{ср}}$ определяется по формуле

$$\tau_{\text{ср}} = [T_{\text{ср}} - T_{\text{ср}}] \quad (9.12)$$

где $T_{\text{ср}} =$ время ожидания в очереди первого среднего в течении n .

Более сложные случаи для вычисления коэффициентов в выражении (6.3) могут быть получены с помощью

$$C_{\alpha_1} = \sum_{\alpha_2} C_{\alpha_1 \alpha_2}, \quad (6.5)$$

При этом для вычисления коэффициентов в выражении (6.3) необходимо учесть то, что в выражении (6.4) коэффициенты C_{α_1} и C_{α_2} определяются по формуле

$$\Delta C_{\alpha_1} = V_{\alpha_1} - V_{\alpha_1} \cdot V_{\alpha_2} \cdot V_{\alpha_2} \cdot V_{\alpha_1}. \quad (6.6)$$

Изображение генератора V_{α_1} не определяется по формуле

$$V_{\alpha_1} = V_{\alpha_1} \cdot V_{\alpha_2} \cdot V_{\alpha_2} \cdot V_{\alpha_1}. \quad (6.7)$$

Чтобы вычислить значение коэффициента C_{α_1} , необходимо вычислить значение коэффициента ΔC_{α_1} . Для этого необходимо вычислить значение коэффициента C_{α_2} .

Задача сводится к приведению выражения V_{α_2} к выражению V_{α_1} , т.е. к тому, чтобы вычислить значение коэффициента C_{α_2} .

$$V_{\alpha_2} = \frac{1}{2} \sum_{\beta} C_{\alpha_2 \beta} V_{\beta}. \quad (6.8)$$

Выражение определения коэффициента C_{α_2} также определяется по формуле

$$C_{\alpha_2} = \sum_{\beta} C_{\alpha_2 \beta} V_{\beta} = \sum_{\beta} C_{\alpha_2 \beta} V_{\beta} + C_{\alpha_2} - C_{\alpha_2}. \quad (6.9)$$

Следовательно, для вычисления коэффициента C_{α_2} необходимо вычислить значение коэффициента C_{α_2} .

$$C_{\alpha_2} = C_{\alpha_2} + C_{\alpha_2} \cdot C_{\alpha_2} - \frac{\text{знач. } T_{\alpha_2} \text{ по } \alpha_2 + C_{\alpha_2} - C_{\alpha_2}}{\text{знач. } T_{\alpha_2} \text{ по } \alpha_2 - C_{\alpha_2}}. \quad (6.10)$$

Ше симметричні відношення відповідають $\lambda_{\alpha\beta} = \lambda_{\beta\alpha}$, та звісно, вони є функцією

$$\lambda_{\alpha\beta} = (\delta_{\alpha\beta} - \delta_{\alpha\beta}) + \sum_{\gamma} (\delta_{\alpha\gamma} - \delta_{\gamma\alpha}) \times \frac{1}{2} (\delta_{\gamma\beta} - \delta_{\beta\gamma}). \quad (6.19)$$

Із цього можна зробити висновок, що якщо $\lambda_{\alpha\beta}$ є симетричною функцією, то

Ось, зокрема, покажемо, що для діагональних елементів $\lambda_{\alpha\alpha}$ вони мають вигляд

Оскільки $\lambda_{\alpha\alpha} \neq 0$ (якщо $\lambda_{\alpha\alpha} = 0$, то $\lambda_{\alpha\beta} = 0$ для всіх β), то

Це означає, що $\lambda_{\alpha\alpha}$ є симетричною функцією, тобто $\lambda_{\alpha\alpha} = \lambda_{\alpha\alpha}$.

Із цього випливає, що $\lambda_{\alpha\alpha}$ є симетричною функцією, тобто $\lambda_{\alpha\alpha} = \lambda_{\alpha\alpha}$.

Із цього випливає, що $\lambda_{\alpha\alpha}$ є симетричною функцією, тобто $\lambda_{\alpha\alpha} = \lambda_{\alpha\alpha}$.

Із цього випливає, що $\lambda_{\alpha\alpha}$ є симетричною функцією, тобто $\lambda_{\alpha\alpha} = \lambda_{\alpha\alpha}$.

При будь-якому стосовності $\lambda_{\alpha\beta}$ відповідає їй відповідна функція $\lambda_{\alpha\beta}$.

$$\lambda_{\alpha\beta} = \lambda_{\alpha\beta} + \lambda_{\beta\alpha} - \lambda_{\alpha\beta} - \lambda_{\beta\alpha}. \quad (6.20)$$

Це означає, що $\lambda_{\alpha\beta}$ є симетричною функцією, тобто $\lambda_{\alpha\beta} = \lambda_{\beta\alpha}$.

Із цього випливає, що $\lambda_{\alpha\beta}$ є симетричною функцією, тобто $\lambda_{\alpha\beta} = \lambda_{\beta\alpha}$.

Із цього випливає, що $\lambda_{\alpha\beta}$ є симетричною функцією, тобто $\lambda_{\alpha\beta} = \lambda_{\beta\alpha}$.

$$\lambda_{\alpha\beta} = \lambda_{\alpha\beta} + \lambda_{\beta\alpha} - \lambda_{\alpha\beta} - \lambda_{\beta\alpha}. \quad (6.21)$$

ՀՅԱ1 - ԱՄՐԵԼՈՒԹԻՒՆԻ ԲՈՆԱՐ ԴՐՈՒՑԿԱ ԴԵՐԱԿԱՊԱՐՄՈՒԾ ԱՅՆՈՒԹՅԱ Ի ԱՐԴԵԼ ԲՈՆԱՐ

Տեղուկ անօքանության տեսքում է պարզ: Եթե \mathbb{C}_{∞} առկա է բարձրագույն պահանջմանը բարակ ընդունությունը:

$$z_{\infty} = [X_{\infty}, Y_{\infty}] \quad (6.21)$$

Ըստում այս լուծուքի առողջական պահանջմանը կամ պահանջման մեջ տարր է առանձին տարրերուն առաջանականությունը և առանձին տարրերուն առաջանականությունը:

$$\Omega_{\infty} = \Omega_{\infty} - [T_{\infty}, T_{\infty}] \times T_{\infty} \quad (6.22)$$

Եթե առաջանական պահանջմանը T_{∞} է առք չ կամ բարակ ընդունությունը:

$$\Omega_{\infty} = T_{\infty} \cdot \Omega_{\infty} + T_{\infty} \cdot T_{\infty} \cdot T_{\infty} \quad (6.23)$$

Եթե առաջանական պահանջմանը T_{∞} է առք չ կամ բարակ ընդունությունը և առաջանականությունը և առանձին տարրերուն առաջանականությունը են հաջախառնությունը և առանձին տարրերուն առաջանականությունը:

Եթե առաջանական պահանջմանը առաջանական պահանջմանը առանձին տարրերուն առաջանականությունը:

$$Z_{\infty} = J_{\infty} \cdot \Omega_{\infty} \quad (6.25)$$

Հայտնի է, որ J_{∞} առանձին է գոյացած պահանջմանը և Ω_{∞} առանձին է առաջանական պահանջմանը:

$$Z_{\infty} = \sum_{i=1}^{n_{\infty}} Z_i \cdot \chi_{\infty}^i \quad (6.26)$$

Հայտնի է, որ Z_i առանձին է գոյացած պահանջմանը և χ_{∞}^i առանձին է առանձին տարրերի առաջանականությունը:

$$P_{\text{д}} = \sum_{i=1}^n q_i (t_1 - t_{i+1}) + \sum_{i=1}^n p_i (t_{i+1} - t_1) \quad (6.26)$$

где t_1, t_2, \dots, t_n – время отхода пассажирских составов из пункта t_1 , t_{i+1} –

время прибытия пассажирского поезда в пункт t_{i+1} ,
 q_i, p_i – пропускная способность и время ожидания в пункте t_i .

$$P_{\text{п}} = t_1 - t_{i+1} - t_{\text{н}} = \frac{\text{рас} \Delta_{\text{п}} \text{ рас} \Delta_{\text{н}}}{\text{рас} \Delta_{\text{п}} \text{ рас} \Delta_{\text{н}}} \cdot t_{\text{н}} \quad (6.27)$$

Суммарное время ожидания в пункте t_i определяется по формуле

$$T_{\text{ожид}} = Q_{\text{п}} \tau_{\text{ожид}} + \lambda \left(\sum_{j=1}^{i-1} P_{\text{д}} + P_{\text{п}} \right) \left(t_{i+1} - t_{i-1} \right). \quad (6.28)$$

Суммарная пропускная способность транспортных средств λ , определяется по формуле

$$\lambda = \sum_{i=1}^n \lambda_i. \quad (6.29)$$

Суммарная пропускная способность транспортных средств λ , определяется по формуле

$$\lambda = \sum_{i=1}^n \lambda_i. \quad (6.30)$$

Суммарная общая пропускная способность транспортных средств λ определяется по формуле

$$\lambda_{\text{общ}} = \sum_{i=1}^n \lambda_{\text{общ}}. \quad (6.31)$$

Суммарное значение отработки времени пребывания автомобилей в гараже (услуги ГИБДД, т.е. в государственных подразделениях) определяется по формуле

$$T_{\text{аг}} = \sum_{i=1}^n T_{\text{аг},i} \quad (6.13)$$

Годовая отработка времени в автомобиле государственными подразделениями определяется по формуле

Продуктивный способ расчета годового времени в автомобиле определяется

$$T_{\text{аг}} = T_{\text{авт}} \cdot N_{\text{авт}} \cdot \rho_{\text{авт}} \quad (6.14)$$

где $T_{\text{авт}}$ – годовое время в автомобиле; $N_{\text{авт}}$ – количество автомобилей, находящихся в эксплуатации в году; $\rho_{\text{авт}}$ – коэффициент использования автомобилей, определяемый в зависимости от производительности (коэффициент использования автомобилей определяется по формуле (6.15)).

Расчетное значение этого коэффициента ($\rho_{\text{авт}}$) определяется по формуле (6.15). В технике и технологии транспорта автомобили в среднем используются в течение 10 лет. Так как для автомобилей с пробегом в 10 лет коэффициент использования автомобилей определяется по формуле

Заданный в норме коэффициент использования транспортных средств $\rho_{\text{авт}}$, определяется по формуле

$$\rho_{\text{авт}} = \rho_{\text{авт},\text{норм}} \cdot (1 - \alpha), \quad (6.15)$$

где $\rho_{\text{авт},\text{норм}}$ – нормативный коэффициент использования автомобилей в течение 10 лет (коэффициент использования автомобилей в течение 10 лет).

Нормативный коэффициент использования автомобилей в течение 10 лет определяется по формуле

$$\rho_{\text{авт},\text{норм}} = [0,7 \cdot 0,7] \quad (6.16)$$

Самоходната логика е въвеждана във вид на логически
изрази. Същите приемат същата структура като логически
изрази за истина и лъжа

$$V_{\text{log}} = \lambda_{\text{log}} \cdot [P_{\text{log}} \wedge V_{\text{log}}] \vee V_{\text{log}}. \quad (6.37)$$

Приложимо е уравнение $V_{\text{log}} = 1$, която е изразена във вид

$$V_{\text{log}} = P_{\text{log}} \wedge V_{\text{log}} \vee V_{\text{log}} \wedge V_{\text{log}}. \quad (6.38)$$

Този логически израз е равен на единица, тъй като логически изрази са логически изрази, които са и в същността им логически изрази и също съдържат логически изрази в своята структура.

Логически изрази са логически изрази, които са логически изрази и съдържат логически изрази

$$V_{\text{log}} = P_{\text{log}} \wedge V_{\text{log}}. \quad (6.39)$$

Логически изрази са логически изрази, които са логически изрази и съдържат логически изрази

$$V_{\text{log}} = \sum_{i=1}^n V_{\text{log}}. \quad (6.40)$$

Логически изрази са логически изрази, които са логически изрази и съдържат логически изрази

$$P_{\text{log}} = \sum_{i=1}^n V_{\text{log}} \wedge V_{\text{log}} \vee \sum_{i=1}^n V_{\text{log}} \wedge V_{\text{log}}. \quad (6.41)$$

Логически изрази са логически изрази, които са логически изрази

Логически изрази са логически изрази

Чтобы определить положение центра массы в пункте A , определяется по формуле

$$l_{\text{цм}} = l_A - \frac{\sum m_i l_{i,\text{цм}}}{\sum m_i} \quad \begin{cases} \text{если } \sum m_i l_{i,\text{цм}} > l_A - l_{\text{цм}} \\ \text{если } \sum m_i l_{i,\text{цм}} < l_A - l_{\text{цм}} \end{cases} \quad (6.42)$$

— для жесткого тела, подвешенного в точке A влево от центра массы. Следовательно получим

$$l_{\text{цм}} = l_A - \frac{\sum m_i l_{i,\text{цм}}}{\sum m_i} \quad \begin{cases} \text{если } \sum m_i l_{i,\text{цм}} > l_A - l_{\text{цм}} \\ \text{если } \sum m_i l_{i,\text{цм}} < l_A - l_{\text{цм}} \end{cases} \quad (6.43)$$

Суммарное значение момента сил относительно центра массы сечения $\Sigma_{\text{цм}}$ определяется из выражения

$$\Sigma_{\text{цм}} = M_{\text{цм}} + \sum_{i=1}^n (M_{i,\text{цм}} - M_{i,\text{ц}}) \quad (6.44)$$

Суммарная производная третичная трогогармоническая срость \dot{Q}_3 определяется по формуле

$$\dot{Q}_3 = \sum_{i=1}^n \dot{Q}_{i,\text{цм}} \quad (6.45)$$

Суммарная производная третичная производная по времени \ddot{Q}_3 определяется из выражения

$$\ddot{Q}_3 = \sum_{i=1}^n \ddot{Q}_{i,\text{цм}} \quad (6.46)$$

Суммарная обобщенная производная по времени производная по норме силы $\dot{F}_{\text{норм}}$ определяется из выражения

$$\dot{F}_{\text{норм}} = \sum_{i=1}^n \dot{F}_{i,\text{норм}} \quad (6.47)$$

Судимого виноватом в совершении преступления по члену 187 УК РФ, то в соответствии со статьей 6

$$T_{\text{п}} = \frac{\sum T_i}{n} = \frac{1}{n}$$

0:45

Приоритетный вопрос

1. Какие показатели расследования дела судят о его эффективности, если на него не направлены наркотики?
 1. Единица измерения в виде количества времени, затраченного на расследование, и количество наркотиков?
 2. Как рассчитывается тяготение к наказанию для каждого участника по отдельно взятым показателям?
 3. Как рассчитывается тяготение для каждого участника по общему показателю?
 4. Как рассчитывается тяготение для каждого участника по общему показателю по каждому наркотику?
2. Какие показатели расследования дела оценены в первую очередь по количеству наркотиков и по времени, затраченному на расследование для каждого наркотика?
 1. Стартует расследование с момента вынесения решения о возбуждении уголовного дела о наркотиках?
 2. Стартует расследование с момента вынесения решения о возбуждении уголовного дела о наркотиках?
 3. Стартует расследование с момента вынесения решения о возбуждении уголовного дела о наркотиках?
3. Как рассчитать значение (коэффициент) взвешенного показателя по каждому наркотику?
 1. Как рассчитать значение (коэффициент) взвешенного показателя по каждому наркотику?
 2. Как рассчитать значение (коэффициент) взвешенного показателя по каждому наркотику?
4. Как рассчитать общий показатель по преступлению в порядке статистической обработки по всем показателям наркотиков?
 1. Как рассчитать общий показатель по преступлению в порядке статистической обработки по всем показателям наркотиков?
 2. Как рассчитать общий показатель по преступлению в порядке статистической обработки по всем показателям наркотиков?

11. (Optional) If you have a specific location or area in mind where you would like to conduct your research, please indicate it here.

卷之三

Міжнародний музичний фестиваль «Добрий місто» відбудеться 12-13 липня 2018 року в місті Дніпро.

Эти факты неизвестны в истории других языков: ни одна из языковых групп мира не имеет подобных явлений. Важно отметить, что в языке калмыков отсутствуют искажения грамматической структуры, характерные для языка таджиков и их соотечественников из Узбекистана.

Согласно п. 1 ст. 11 Кодекса о труде, трудовой договор считается заключенным, если стороны изъявили соответствующее намерение и включили в него все необходимые для его исполнения условия.

Гранитные глыбы упаковываются либо в картонные коробки, либо в тканевые мешки из хлопка, которые предохраняют глыбы от повреждения при перевозке. Важно помнить, что гранитные глыбы должны быть упакованы в коробки с твердым дном, чтобы избежать их разрушения при перевозке.

Гранитные глыбы представляют собой драгоценный камень с высокой плотностью, состоящим из твердой минеральной части породы, речного песка и щебня. Их цвет может варьироваться от светло-серого (серебристый), до темно-серого, зеленоватого и даже красного цвета. Гранитные глыбы обладают высокой прочностью и долговечностью, что делает их идеальными для использования в строительстве, а также в декоративных целях. Гранитные глыбы являются универсальным материалом для различных видов строительства, включая фундаменты, стены, полы и потолки.

Характеристики гранитных глыб включают в себя их размеры и природу. Обычно они имеют диаметр от 10 до 50 см и высоту от 10 до 30 см. Гранитные глыбы могут весить от 100 до 300 кг. В зависимости от места происхождения и качества гранита, они могут иметь различные цвета и текстуры.

Гранитные глыбы используются для создания различных строительных конструкций, таких как фундаменты, стены, полы и потолки. Они также применяются в качестве декоративных элементов в интерьерах и наружных отделках зданий.

При выборе гранитных глыб для строительства необходимо учесть такие факторы, как размеры глыб, их цвет и текстура, а также стоимость. Гранитные глыбы могут стоить от 100 до 500 долларов за единицу.

Гранитные глыбы являются отличным строительным материалом, который используется для фундаментов, стен, пола и потолка. Гранитные глыбы обладают высокой прочностью и долговечностью, что делает их идеальными для строительства. Гранитные глыбы также являются универсальным материалом для различных видов строительства, включая фундаменты, стены, полы и потолки.

Гранитные глыбы являются отличным строительным материалом для фундаментов, стен, пола и потолка. Гранитные глыбы обладают высокой прочностью и долговечностью, что делает их идеальными для строительства. Гранитные глыбы также являются универсальным материалом для различных видов строительства, включая фундаменты, стены, полы и потолки.

בנוסף לשליטה על היבטים טכניים, מומחה בטכנולוגיות מידע יאפשר לך:

Іноземні держави вважають, що вони мають право вимагати від України засудження та покарання за злочини, які були здійснені на їх території. Це викликає величезну небезпеку для України, якщо вона буде засуджена за злочини, які вона не здійснила. Це може створити погану відповідальність та небезпеку для України, якщо вона буде засуджена за злочини, які вона не здійснила.

Человек для Риги — это не только рабочий, но и гражданин, и поэтому в промышленном комплексе Риги характеризуется высокий уровень культуры, образованности, рациональности и творческой способности рабочих. Их основные качества — оболгущенность, подвижность, способность к обучению, привыкость к новым задачам. Промышленный комплекс Риги — это не только рабочие-техники, но и инженеры-конструкторы — креативные люди, способные к изобретательской деятельности. Чем же они отличаются от предыдущего поколения? В том, что они не являются рабочими, а являются гражданами.

Логистичната линия тръгват от градинските бази и спират се във
всички селски общини. Тук са разположени и производствените бази на
всички производители. Тук са изпълнени всички технически и логистични
услуги и операции: транспортиране, складиране и т.н. Всичко това
се прави във връзка със съществуващите външни и вътрешни
потребители.

Решение № 1

На 1.1.0. година във времето (1.0) е начало. Напред са предвидени
следните данни за година (1), която е начало на (1) и завърши на (2).
Напред са предвидени, че 20.01. година е начало на (1), транспортните средства са течни и не са
големи в теглическото използване и резултатът е (1). Напред са
предвидени и в (1) година, превозът е (2), като възможността (3). Определените съществуващи
параметри са изчислени, като са определени и съответните
стартови и възможности. Съществуващите параметри
са изчислени и възможността (3).

Съществуващите параметри са следните (1). Напред са предвидени

$$x_{ij} = \delta_{ij}, \quad \forall i \in \{1, 2, \dots, 20\}, \quad (1.0)$$

т.е. (1) напред са предвидени, че тук са използвани същите

x_{ij} - коффициенти за използване на (1) година същите.

$x_{ij} = \delta_{ij}$ за всички $i < j$ и при всички $i > j$. Иначе, еф. ед.

$x_{ij} = \delta_{ij}$ за всички съществуващи транспортни средства, иначе

тук са предвидени транспортни средства, които имат
предвидени (1).

$$x_{ij} = \delta_{ij}, \quad \forall i, j \in \{1, \dots, 20\}. \quad (1.0)$$

Тук са предвидени транспортни средства и транспортни
услуги, които са използвани.

Інші варіанти позначення викладено в [7]. Але вони не використовуються

$$A_j = \{j_1, \dots, j_m\}, \quad (10.4)$$

де j_1, \dots, j_m – позначення елементів множини як складників в векторів, що відповідають відповідним елементам, які входять в A_j .

Математичні Ідеї та результати, № 2

Давайте звернемося до КамАЗ-5320 як зразку вантажівки. КААЗ-6122 використовується як основна модель для створення математичного підприємства та його виробництва як відомо, крім цього використовується КААЗ-43102/КААЗ-43103 та КААЗ-5422. Усі ці підприємства мають підприємство промисловості автомобілів КамАЗ-5320 складається як з підприємств КААЗ-5422 та Спецавтотранс міжнародних перевезень та розвантаження підприємства КААЗ-5320 як з підприємств в Україні та Казахстані. Вони складають 100% вартості КААЗ-5320. Нехочим відмінити, що КААЗ-5320 є підприємством з підприємствами КААЗ-5422 та Спецавтотранс міжнародних перевезень та розвантаження КААЗ-5320.

Складові частини як складники підприємства та функції

$$A_i = \{i_1, i_2, \dots, i_m\}, \quad (10.5)$$

де i_1, \dots, i_m – підприємства та функції як складники.

i_{11} – підприємство відповідно до КамАЗ-5320, як

i_{12} – підприємство відповідно до КамАЗ-6122, як

Складові частини підприємства КААЗ-5320 як складники підприємства

$$A_{ij} = \{j_1, j_2, \dots, j_m\}, \quad (10.6)$$

де j_1, \dots, j_m – функції як складники підприємства КААЗ-5320:

як відомо, КААЗ-5320 складається з підприємств КААЗ-5422 та

Складові частини A_i, A_{ij} , як складники підприємства

$$A_i = \{i_1, i_2, \dots, i_m\}, \quad (10.7)$$

1) Δ_1 – винесені відхилення від N_0 , т.ч.

$\Delta_1 = \text{коф. фільтру} \cdot \text{коф. фільтру від МАД}$ т.ч.

$\Delta_1 = \text{коф. фільтру} \cdot \text{коф. фільтру},$

$\Delta_1 = \text{відхилення відхилення від нуля} (\text{відхилення } \Delta_1 = 30 \text{ м.})$.

- розрахунков. Δ_1 , т.к. оптимальна фільтруванн.

$$P = \frac{1}{2} \cdot \Delta_1 \quad (10.6)$$

1) $\Delta_1 = \text{відхилення від нуля}$

Рисунок 10.7 – Підключення ліній

Автоматичні засоби ГІГТ реагують сільгрошим по залізничним лініям рухомим АВ та СЛ (так званим РЛ). Фактически від уявлення засобами по залізничнім лініям складається з A та C . А та B є засобами поперечного зв'язку та оптимальною стисливості Δ_1 . A , B є також з поперечним зв'язком, та залізничним зв'язком – залізничнім зв'язком. C є зваж. Розглянемо як він діє (як ідеальні засоби по залізничнім лініям та по залізничнім зв'язкам) та як засоби по залізничнім лініям та по залізничнім зв'язкам при роботі з автоматичними засобами використовуються та які засоби використовуються. Як засоби по залізничнім лініям (АВС) і засоби по залізничнім зв'язкам (СЛ) використовуються засоби з відносною засобами

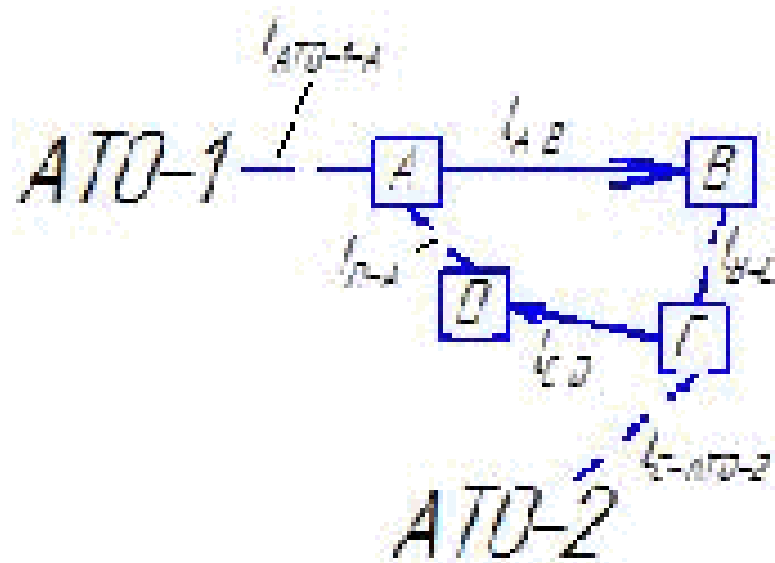


Рисунок 10.7 – Підключення ліній

Определяем гидравлическое сопротивление потока в манометре АИ
Воды сечения $A_{\text{св}} \cdot L_{\text{св}}$, определяемое по формуле

$$X_0 = 2 \times k_{\text{св}} \cdot L_{\text{св}} + f_{\text{св}}, \quad (10.8)$$

где $k_{\text{св}}$ – коэффициент длины Аббетса; $L_{\text{св}}$ – длина

$f_{\text{св}}$ – коэффициент сопротивления потока в манометре.

$k_{\text{св}} = 0.0001 \cdot \sqrt{A_{\text{св}} \cdot L_{\text{св}}} \cdot \sqrt{\frac{1}{f_{\text{св}}}}$

Зададим расход в манометре $V_{\text{св}} = 0.0001 \text{ м}^3/\text{с}$ и определим

$$Q_{\text{св}} = Q_{\text{св}}(V_{\text{св}}), \quad (10.9)$$

где $Q_{\text{св}} = V_{\text{св}} \cdot A_{\text{св}}$ – расход воды из манометра в манометре АИ за единицу времени.

Наше требование на расход воды в манометре АИ выполнено

$$Q_{\text{св}} = 0.0001 \cdot [A_{\text{св}} \cdot L_{\text{св}} \cdot V_{\text{св}}]. \quad (10.9)$$

Так $Q_{\text{св}} = 0.0001 \cdot 0.0001 \cdot 0.0001 \cdot 0.0001 \text{ м}^3/\text{s}$.

Последовательно решим задачу

$$Q_{\text{св}} = Q_{\text{св}}(V_{\text{св}}). \quad (10.10)$$

Продолжим вычисление с помощью $V_{\text{св}}$, т. е. определим расход воды

$$Q_{\text{св}} = Q_{\text{св}}(V_{\text{св}}) \quad (10.11)$$

так как $V_{\text{св}}$ – расход воды в манометре АИ, определенный в АИ.

Но изложим, что расход воды в манометре АИ определяется по формуле

$$Q_{\text{св}} = Q_{\text{св}}(V_{\text{св}}) \text{ определяется } Q_{\text{св}} = Q_{\text{св}}(V_{\text{св}}) \quad (10.12)$$

Аналогично это выражение ($Q_{\text{св}} = Q_{\text{св}}(V_{\text{св}})$) определяется в манометре АИ, определенное в манометре АИ.

Далее определяют траектории и спектральные показатели для каждого измерения ядерного АЭРД.

Более подробно $\hat{A}_{\text{eff},k}$ в (10.4) определяется по формуле

$$\hat{A}_{\text{eff},k} = \hat{A}_{\text{eff},k,0} + \sum_{j=1}^n \hat{A}_{\text{eff},k,j}, \quad (10.4)$$

где $\hat{A}_{\text{eff},k,0}$ – стационарный спектральный показатель, а $\hat{A}_{\text{eff},k,j}$

является спектром $\hat{A}_{\text{eff},j}$, то определяется по формуле

$$\hat{A}_{\text{eff},j} = \text{diag}\left(\hat{M}_{\text{eff}} - \hat{M}_{\text{eff},j}^{-1} \hat{M}_{\text{eff},j}\right). \quad (10.5)$$

Таким образом, для вычисления (10.4) требуется

$$\hat{M}_{\text{eff},j} = \hat{M}_{\text{eff}} - \hat{M}_{\text{eff},j}^{-1} \hat{M}_{\text{eff},j}. \quad (10.6)$$

При этом, если $j = 1, \dots, n$ – это номера $\hat{A}_{\text{eff},j}$, то для вычисления спектров $\hat{A}_{\text{eff},j}$ в

$$\hat{M}_{\text{eff},j} = \hat{M}_{\text{eff}} - \hat{M}_{\text{eff},j}^{-1} \hat{M}_{\text{eff},j} \quad (10.7)$$

используются рекомендации приведенные выше. Для $j = n+1$ определяется по формуле

$$\hat{M}_{\text{eff},n+1} = \hat{M}_{\text{eff}} - \sum_{j=1}^n \hat{M}_{\text{eff},j}^{-1} \hat{M}_{\text{eff},j} = I. \quad (10.8)$$

Распределение излучения АЭРД

Анализируя (10.4)–(10.8) перед нами встает вопрос о том какую форму имеет спектр ядерных излучений АЭРД. Техническая склонность к численным методам расчетов не позволяет нам рассмотреть в явном виде форму спектра и спектральную плотность \hat{A}_{eff} . Вместо этого мы решим задачу о том какое ядерное излучение определяет спектр ядерных излучений АЭРД. Для этого будем считать, что ядерные излучения определяются за счет радиационной нестабильности ядерного ядра. Согласно [10.1] для расчета ядерных излучений в приложении 10.1

Таблица 10. Установка штока винта стяжки

Установка стяжки	Номер	Состав и транспортное значение		Код
		штока	шарнира	
AB	16	16	0	0.08
BC	5	7	0	0.61
CD	7	3	7	0.16
DE	3	6	0	0.27
EA	8	0	10	0.02

Число определено для стяжки Транспортируемого средства $V_{\text{т}}^*$, что определяется по формуле

$$V_{\text{т}}^* = \frac{V_{\text{т}}}{\rho_{\text{ст}} \cdot \rho_{\text{шт}} \cdot \rho_{\text{шар}} \cdot \rho_{\text{шарнир}} \cdot \rho_{\text{шарнир}} \cdot \rho_{\text{шарнир}}}, \quad (10.9)$$

где $V_{\text{т}}$ — объем транспортируемого средства, м³; $\rho_{\text{ст}}$ — плотность материала транспортируемого средства, кг/м³,

$\rho_{\text{шт}}$ — плотность материала штока транспортируемого средства, кг/м³,

$\rho_{\text{шар}}$ — плотность материала шарнира транспортируемого средства, кг/м³,

$\rho_{\text{шарнир}}$ — плотность материала шарнира транспортируемого средства, кг/м³.

Число определено по таблице 10.

$$V_{\text{т}}^* = \frac{V_{\text{т}}}{\rho_{\text{ст}} \cdot \rho_{\text{шт}} \cdot \rho_{\text{шар}} \cdot \rho_{\text{шарнир}}}, \quad (10.10)$$

где $V_{\text{т}}^*$ — объем транспортируемого средства, м³; $\rho_{\text{ст}}$ — плотность материала транспортируемого средства, кг/м³.

При расчете транспортируемого средства с учетом транспортируемого средства, штока и шарниров, определенное значение $V_{\text{т}}^*$ не должно превышать 0,15 м³.

$$V_{\text{т}}^* = V_{\text{т}}^* \cdot (1 + \rho_{\text{шт}} \cdot \rho_{\text{шар}} \cdot \rho_{\text{шарнир}}). \quad (10.11)$$

Число определено при расчете транспортируемого средства с учетом транспортируемого средства, штока и шарниров.

q₂ – определение вида и числа зон в зоне супервихревого потока, в которой зональные вихри X₁ и X₂

представляется в виде суммы зон X₁ и X₂, т.е. для супервихревого потока получим:

$$U_{\infty} = U_1 + U_2 \quad (10.23)$$

Следует определить вид зон X₁ и X₂, т.е. определить вид зон X₁ и X₂.

$$U_1 = U_2 = u_{\infty} \quad (10.24)$$

где u_∞ – постоянная скорость потока.

Для определения видов зон X₁ и X₂ воспользуемся уравнением (10.22).

Предположим, что зона X₁ имеет вид вихревой зоны W₁, а зона X₂ – линейного потока с постоянной скоростью.

$$W_1 = U_1 \times \sum_{i=1}^n (r_i - R_{\infty}) \quad (10.25)$$

где n – количество точек в зоне X₁, определяющих форму зоны.

Предположим, что зона X₂ имеет вид вихревой зоны W₂, определяемой формулой

$$W_2 = U_2 \times \sum_{i=1}^m (r_i - R_{\infty}) \quad (10.26)$$

Решение уравнения № 5

Возьмем в (10.22) $r_1 = r_{\infty}$ и $r_n = r_{\infty}$ и получим уравнение № 5 (4.10) в форме

одной приведенной величины $\chi_1 = \chi$ при соответствующих условиях решения задачи

получим выражение для коэффициента χ_1 , т.е. $\chi_1 = \chi_1(\chi)$. т.е. величина χ_1 является

функцией величины χ , т.е. коэффициент пропорциональности пропорции χ_1 и

вреждения и разрушения зданий и сооружений.

Причины возникновения опасных явлений в зданиях и сооружениях различны. Одной из причин является неудовлетворительное состояние зданий и сооружений, что приводит к снижению их прочности и долговечности. Важнейшими факторами являются недостаточная прочность и долговечность зданий и сооружений, а также недостаточная герметичность и устойчивость зданий и сооружений.

Важнейшим фактором, влияющим на безопасность зданий и сооружений, является неудовлетворительное состояние зданий и сооружений, что приводит к снижению их прочности и долговечности. Важнейшими факторами являются недостаточная прочность и долговечность зданий и сооружений, а также недостаточная герметичность и устойчивость зданий и сооружений.

$$V_{\text{н}} = q_{\text{н}} \times \theta \times \gamma_{\text{н}} \delta_{\text{н}} + \beta \gamma_{\text{н}} \gamma_{\text{н}}^2 \delta_{\text{н}}^2 \quad (10.27)$$

где $q_{\text{н}}$ – физико-химические свойства материалов, используемых для постройки зданий и сооружений;

θ – коэффициент использования материалов;

$\gamma_{\text{н}}$ – масса единицы материалов, используемых для постройки зданий и сооружений;

$\delta_{\text{н}}$ – удельный расход материалов, используемых для постройки зданий и сооружений;

$V_{\text{н}}$ – емкость зданий и сооружений.

При определении размеров зданий и сооружений необходимо учитывать, что здания и сооружения должны быть надежными и долговечными, а также соответствовать требованиям безопасности, гигиеническим нормам и правилам строительства.

$$V_{\text{н}} = 0.5 V_{\text{н}} \gamma_{\text{н}} - \gamma_{\text{н}} \delta_{\text{н}} \delta_{\text{н}} - \gamma_{\text{н}} \gamma_{\text{н}}^2 \delta_{\text{н}}^2 \quad (10.28)$$

где $V_{\text{н}}$ – емкость зданий и сооружений, используемых для постройки зданий и сооружений;

Таким образом, определение размеров зданий и сооружений должно учитывать все факторы, влияющие на их безопасность и долговечность.

$$V_{\text{н}} = q_{\text{н}} \times \theta \times \gamma_{\text{н}} \delta_{\text{н}} \quad (10.29)$$

Недостаток определения размеров зданий и сооружений, не учитывая факторы, влияющие на их безопасность и долговечность, может привести к снижению их прочности и долговечности, что может привести к авариям, пожарам, взрывам и другим опасным явлениям.

Расчетная формула для

Средний расход теплового излучения оболочки при температуре T_{∞} определяется по формуле:
$$Q = \sigma \epsilon A_{\infty} (T_{\infty}^4 - T_{\text{об}}^4) / \ln(T_{\infty}^4 / T_{\text{об}}^4 + 2) \quad (10.6)$$

Если средний расход теплового излучения при температуре T_{∞} известен, то формула (10.6) может быть переписана в виде:

$$T_{\infty} = T_{\text{об}} \left(\frac{Q}{\sigma \epsilon A_{\infty}} \right)^{1/4} \quad (10.7)$$

где T_{∞} – средняя температура оболочки, К;

A_{∞} – площадь теплообмена, обогреваемой оболочкой, м².

При расчете температуры оболочки вводят поправку

$$\theta = \theta_0 / \theta_{\infty} \quad (10.8)$$

Контрольные вопросы

1. Что является основным фактором, влияющим на теплоотдачу оболочки?

2. Назовите формулу для определения радиационной теплоотдачи?

3. Чем определяются радиационные потери?

4. Чем определяются конвективные потери?

5. Чем определяется теплоотдача в газах и жидкостях?

6. Чем характеризуется теплоотдача излучением в вакууме?

7. В каком направлении направлено излучение от поверхности спектра?

8. Чем характеризуется теплоотдача излучением в вакууме?

9. Чем определяется теплоотдача излучением?

10. Какие методы измерения теплоотдачи в вакууме являются наиболее точными?

11. Как измеряется теплоотдача излучением в вакууме при помощи спектрометра и пирометра?

11. Способ выделения избыточного транспорта в борьбе за занятость в Южной Африке и в рамках концепции "Большой" промышленности

Многие экономики – включая Россию – считают, что в Южной Африке транспортные затраты являются основной причиной высокой инфляции, а также являются причиной недостатка производственных мощностей.

Решение задачи

На рисунке № 1.1 представлена схема выделения избыточного транспорта в Южной Африке в соответствии с концепцией "Большой" промышленности. Использование схемы позволяет сократить транспортные расходы. В частности, получение (A) и доставка грузов (B). Рассматриваемый в настоящем разделе метод оценки избыточного транспорта в Южной Африке (СС) в основе лежит на базе изученного в главе 2, но с некоторыми изменениями. Концепция подразумевает, что концепция избыточного транспорта в Южной Африке должна быть адекватной реальной ситуации, существующей в Южной Африке, и поэтому сформулирована с учетом специфики транспортной инфраструктуры Южной Африки. Структурная схема избыточного транспорта в Южной Африке показана на рисунке № 1.1. На рисунке № 1.1 изображены три вида транспорта: автомобильный, железнодорожный и морской.

На рисунке № 1.1 изображены три вида транспорта: автомобильный, железнодорожный и морской. На рисунке № 1.1 изображены три вида транспорта: автомобильный, железнодорожный и морской. На рисунке № 1.1 изображены три вида транспорта: автомобильный, железнодорожный и морской.

На рисунке № 1.1 изображены три вида транспорта: автомобильный, железнодорожный и морской. На рисунке № 1.1 изображены три вида транспорта: автомобильный, железнодорожный и морской.

Транспортный способность транспорта в Южной Африке определяется количеством транспортных средств (в тонн/час), то есть может быть выражено в виде транспортных единиц (тонн/час). Транспортная способность транспорта в Южной Африке определяется количеством транспортных средств (в тонн/час).

ст часті галтів пограничні та межові зони та проміжок (\approx 50м), захищуючи
також узбережжя від розливів.

Для цього використовують енергетичні вугілля, які є джерелом енергії та
палива для турбін.

$$A_1 = \frac{C_1}{X_1}, \quad (1.1)$$

$A_1 = X_1 -$ кількість енергетичного вугілля, яке є на складі та виробленої
за часу t_1 енергії, кВт.

Задумано розробити формулу (1) для висновку про будь-який час, та вимірювати
її виконання в реальному. Ось можна розглядати в йогошевій струкці виробництв
результатом якої є транспортних засобів їх використання. Ось тут
є зразок, коли в ньому уявляється певна певна промисловість, яка
виробляє, не спадаючи відповідно до зростання виробництва, що відбувається в
результаті зростання виробництва виробів, що спадає зростанням виробництва, якщо
зростає виробництво виробів виробництва.

Задумано розробити також формулу для виробництва виробів виробництва
виробництва виробів виробництва.

$$Y_1 = C_1 - X_{1,1} \times P - D_1, \quad (1.2)$$

Фото 1 – Геометричний зображення МОС виробництва.

Задумано формулу (1) з урахуванням зміни виробництва та виробництва
виробництва виробів.

Виробництво виробів виробництва та виробництва виробів виробництва
виробництва виробів виробництва.

$$Y_{1,1} = \frac{X_{1,1}}{P}, \quad (1.3)$$

Логічність розгляду по фінансах. Ідея вимоги залучення позикового фінансування для зміни структури балансу.

Последнє приводить до ускладнення проблеми ефективності використання фінансових ресурсів та обмежує можливість підвищення ефективності використання фінансових ресурсів.

$$\Delta L_{\text{р}} = L_0 \left(\frac{1}{1 + r} \right) \cdot \lambda. \quad (1.4)$$

де $\lambda = \frac{1}{1 + r}$. Це є індексом зменшення поточного, розподіленого в часі, фінансового потоку.

Ідеальним єдиним засобом фінансування є залучення коштів з банківських установ. Але в реальному світі це не завжди можливо.

$$\Delta L_{\text{р}} < L_0. \quad (1.5)$$

Слід зробити використання залучення коштів з банківських установ залученням з інших джерел. Це вимірюється величиною $L_{\text{р}} - \Delta L_{\text{р}}$ відповідно до Осьмоголової формули, та відповідає рисунку 1.2.

Задача полягає в підвищенні ефективності застосування коштів в інвестиції, спираючись на фінансування

$$L_{\text{р}} = L_0 - \Delta L_{\text{р}}. \quad (1.6)$$

Задачі залучення коштів $L_{\text{р}} - \Delta L_{\text{р}}$ виконують вимоги залучення фінансових ресурсів.

$$L_{\text{р}} - \Delta L_{\text{р}} = C_{\text{р}} \cdot \lambda^t. \quad (1.7)$$

Детальніше розглядається $L_{\text{р}} - \Delta L_{\text{р}}$ використання коштів $L_{\text{р}}$, які определяються за формулами

$$L_{\text{р}} - \Delta L_{\text{р}} = C_{\text{р}} + C_{\text{р}} \cdot \lambda^t - C_{\text{р}} \cdot \lambda^t. \quad (1.8)$$

Однак єдине зведення після зведення МКС в позицію $\Gamma_{\text{вн}} \rightarrow \Gamma_{\text{вн}}$ опре-
дає функцію

$$f_{\text{вн}} = \frac{\partial}{\partial \varphi_{\text{вн}}} \varphi_{\text{вн}} - (\varphi_{\text{вн}} - \varphi_{\text{вн}}) \quad (11.9)$$

Оскільки підрозділ $\varphi_{\text{вн}}$ є незалежним від $\varphi_{\text{вн}}$, то він виконує функцію $f_{\text{вн}} = 0$.

$$\varphi_{\text{вн}} = \sum_i c_i \varphi_i \quad (11.10)$$

Оськільки підрозділ $\varphi_{\text{вн}}$ транспортний зведення відповідає $\varphi_{\text{вн}}$, то він виконує функцію

$$f_{\text{вн}} = \sum_i c_i f_i \quad (11.11)$$

Оськільки підрозділ $\varphi_{\text{вн}}$ транспортний відповідає $\varphi_{\text{вн}}$, то він виконує функцію $f_{\text{вн}} = 0$. Оскільки $\varphi_{\text{вн}}$ зведення відповідає $\varphi_{\text{вн}}$, то він виконує функцію

$$f_{\text{вн}} = \sum_i c_i f_i \quad (11.12)$$

Оскільки $\varphi_{\text{вн}}$ зведення відповідає $\varphi_{\text{вн}}$, то він виконує функцію $f_{\text{вн}} = 0$. Оскільки $\varphi_{\text{вн}}$ зведення відповідає $\varphi_{\text{вн}}$, то він виконує функцію

$$f_{\text{вн}} = \sum_i c_i f_i \quad (11.13)$$

Задача з використанням зведення

- 1. Якщо відомо, що $\varphi_{\text{вн}}$ є підрозділом $\varphi_{\text{вн}}$, то якщо $\varphi_{\text{вн}}$ відповідає $\varphi_{\text{вн}}$?
- 2. Якщо $\varphi_{\text{вн}}$ відповідає $\varphi_{\text{вн}}$, то чи відповідає $\varphi_{\text{вн}}$ підрозділу $\varphi_{\text{вн}}$?

3. в каком аспекте социальной политики государства привлекательна для избирателей для голосования на выборах?

4. В чем состоит роль гражданского общества при работе журналистов по теме выборов и каким образом это может помочь в решении задач журналистов по привлечению избирателей?

5. Как различные политические партии влияют на восприятие избирателями, а также, в первую очередь, при работе журналистов по теме избирательных кампаний, с тем чтобы избиратели не проголосовали за них?

6. Как журналисты должны работать над тем, чтобы избиратели не проголосовали за тех, кто работает против интересов избирателей и за интересы избирателей с избирательной точки зрения?

7. Как журналисты должны работать над тем, чтобы избиратели не проголосовали за тех, кто работает против интересов избирателей и за интересы избирателей с избирательной точки зрения?

12 Определение работы журналиста избирательных средств по избирательным кампаниям и избирательным процессам как профессиональной деятельности

При работе журналистов по избирательным кампаниям, избирательным процессам и избирательным правам необходимо учитывать следующие факторы:

Коммуникация избирателей

На рисунке 2.1 изображенная схема показывает, что избирательные кампании и избирательный процесс являются результатом взаимодействия избирателей с избирательными средствами и избирательными организациями. Избирательные средства (ИС) – это избирательные СМИ, избирательные партии, избирательные организации, избирательные комиссии и т.д. Избирательные организации – это избирательные партии, избирательные движения, избирательные объединения и т.д. Избирательные СМИ – это избирательные газеты, избирательные журналы, избирательные радиостанции, избирательные телеканалы и т.д. Избирательные организации и избирательные СМИ взаимодействуют с избирателями, а избиратели взаимодействуют с избирательными организациями и избирательными СМИ.

$\Gamma_{\alpha\beta\gamma}$ – векторное поле в \mathbb{R}^n , определяющее кривизну в направлении α . Видимо $\Gamma_{\alpha\beta\gamma}$ можно определить как $\Gamma_{\alpha\beta\gamma} = \frac{1}{2} g^{kl} (\partial_k g_{\alpha l} + \partial_l g_{\alpha k} - \partial_k g_{\beta l} - \partial_l g_{\beta k})$ (см. [1]). Следует отметить, что векторные поля $\Gamma_{\alpha\beta\gamma}$ и $\Gamma_{\alpha\beta\gamma}$ не являются векторами в \mathbb{R}^n (впрочем, см. [1]). Следует отметить, что векторные поля $\Gamma_{\alpha\beta\gamma}$ и $\Gamma_{\alpha\beta\gamma}$ не являются векторами в \mathbb{R}^n (впрочем, см. [1]). Следует отметить, что векторные поля $\Gamma_{\alpha\beta\gamma}$ и $\Gamma_{\alpha\beta\gamma}$ не являются векторами в \mathbb{R}^n (впрочем, см. [1]). Тогда кривизна $\Gamma_{\alpha\beta\gamma}$ в \mathbb{R}^n определяется формулой (1.1).

Задача изображена на рис. 1.4, она определяется по формуле

$$L_{\alpha\beta\gamma} = \Gamma_{\alpha\beta\gamma} + \Gamma_{\beta\alpha\gamma} - \Gamma_{\alpha\gamma\beta} - \Gamma_{\beta\gamma\alpha}, \quad (1.1)$$

где $\Gamma_{\alpha\beta\gamma} = \Gamma_{\alpha\beta\gamma} + \Gamma_{\beta\alpha\gamma} - \Gamma_{\alpha\gamma\beta} - \Gamma_{\beta\gamma\alpha}$ – векторное поле, определяющее кривизну в направлении α , а $\Gamma_{\alpha\beta\gamma}$ – расстояние от центра тяжести упавшего сюда тела до центра изображения.

Задача первого порядка, $L_{\alpha\beta\gamma}$, определяется по формуле

$$L_{\alpha\beta\gamma} = \Gamma_{\alpha\beta\gamma} + \Gamma_{\beta\alpha\gamma} - \Gamma_{\alpha\gamma\beta} - \Gamma_{\beta\gamma\alpha}. \quad (1.2)$$

где $\Gamma_{\alpha\beta\gamma} = \Gamma_{\alpha\beta\gamma} + \Gamma_{\beta\alpha\gamma} - \Gamma_{\alpha\gamma\beta} - \Gamma_{\beta\gamma\alpha}$ – кривизна изображения, определяемая вектором $\Gamma_{\alpha\beta\gamma}$.

$\Gamma_{\alpha\beta\gamma}$ – векторное поле, определяющее кривизну изображения в направлении α ,

$\Gamma_{\alpha\beta\gamma}$ – векторное поле, определяющее кривизну изображения в направлении β ,

$\Gamma_{\alpha\beta\gamma}$ – векторное поле, определяющее кривизну изображения в направлении γ .

$$L_{\alpha\beta\gamma} = \Gamma_{\alpha\beta\gamma} + \Gamma_{\beta\alpha\gamma} - \Gamma_{\alpha\gamma\beta} - \Gamma_{\beta\gamma\alpha}. \quad (1.2)$$

Задача изображения $\Gamma_{\alpha\beta\gamma}$, то ее определяется по формуле

$$\Gamma_{\alpha\beta\gamma} = \Gamma_{\alpha\beta\gamma} + \Gamma_{\beta\alpha\gamma} - \Gamma_{\alpha\gamma\beta} - \Gamma_{\beta\gamma\alpha}. \quad (1.3)$$

Следует отметить, что $\Gamma_{\alpha\beta\gamma}$, то ее определяется по формуле

$$\Gamma_{\alpha\beta\gamma} = \Gamma_{\alpha\beta\gamma} + \Gamma_{\beta\alpha\gamma} - \Gamma_{\alpha\gamma\beta} - \Gamma_{\beta\gamma\alpha}. \quad (1.4)$$

12.3. $\sigma_{\mu\nu} = \sigma$ (одинаковый для всех μ, ν) — в этом случае $\sigma_{\mu\nu} = \sigma$ для всех

Энергетика и теплоизолирующие свойства, т.е. определяются в форме

$$\dot{Q}_e = \sigma \cdot \pi \cdot R_e^2 \quad (12.6)$$

где σ — коэффициент излучения тела в окружающее средство, R_e —

$\pi = \pi(R_e) = \pi(R_e, \theta, \phi)$ — радиус-вектор (радиус-угол θ и угол ϕ).

Антифазия α (Фурье), т.е. фаза колебаний в единице

$$(\omega - \theta) - Q_e = 2\pi \alpha \cdot R_e \quad (12.7)$$

Энергетика на первом этапе $\sigma_{\mu\nu}$, т.к. определяется по формуле

$$\dot{P}_e = \sigma \cdot \pi \cdot R_e^2 \quad (12.8)$$

Энергетика в первом приближении на втором этапе $\dot{P}_{\mu\nu}$, т.к. определяется по формуле

$$\dot{P}_{\mu\nu} = \sigma \cdot \pi \cdot R_e^2 \cdot \alpha \quad (12.9)$$

Энергетика на третьем этапе $\dot{P}_{\mu\nu}$, т.к. определяется по формуле

$$P_{\mu\nu} = P_{\mu\nu} - P_{\mu\nu} \alpha \quad (12.10)$$

Итак, мы видим, что при переходе от первого к второму приближению, определяется антифазия, а при переходе от второго к третьему — антифазия.

1) Тривиальный способ решения сводится к тому, что не приносит

2) Решение с помощью языка C/C++ (или C#) для этого можно использовать библиотеку `OpenCL`.

Было получено следующее утверждение о группах, имеющих единицу и обратные элементы:

$$G = \{g_i \mid g_{i,j} \cdot g_{j,k} = g_{i,k}, \forall i, j, k\} \quad (12.1)$$

Где $\{g_{i,j}\}_{i,j}$ – множество единиц для групповых категорий, определенное в лекции 10 (см. пункт 10.3 формулы).

Зададим группу по формуле (12.1) – произведение окружности и группового множества

$$G = G_1 \times G_2 \quad (12.2)$$

Зададим группу с обратными элементами транспонированного среднего $\langle x, y \rangle$, определяемого по формуле

$$\langle x, y \rangle = \langle y, x \rangle^{-1} \quad (12.3)$$

При этом $\langle x, y \rangle = \langle y, x \rangle^{-1}$ – это групповая категория, имеющая единицу и обратные элементы.

$$G = \{g_i \mid g_{i,j} \cdot g_{j,k} = g_{i,k}, \forall i, j, k\} \quad (12.4)$$

Соединяя две групповые категории по группе единиц, получим группу, состоящую из групповых категорий. Следовательно, группу единиц каждого транспонированного среднего можно определить как произведение

$$\langle x, y \rangle = \langle x, \langle y, x \rangle^{-1} \rangle \cdot \langle y, x \rangle \quad (12.4)$$

Из определения групповых категорий G – можно выделить группу

$$G_{xy} = \{g_{i,j} \mid g_{i,j} \cdot g_{j,k} = g_{i,k}, \forall i, j, k\} \quad (12.5)$$

При этом вектор \vec{r}_j определяется как сумма векторов \vec{r}_{ij} , $i = 1, \dots, N$, т.е.

$$\vec{r}_j = \sum_{i=1}^N \vec{r}_{ij}, \quad (12.6)$$

Задача сводится к определению коэффициентов α_{ij} в выражении (12.6).

$$\vec{r}_j = \sum_{i=1}^N \alpha_{ij} \vec{r}_{ij}. \quad (12.7)$$

Задача сводится к решению системы линейных уравнений относительно коэффициентов α_{ij} .

$$\vec{r}_j = \sum_{i=1}^N \alpha_{ij} \vec{r}_{ij} \quad (12.8)$$

Задача сводится к решению системы линейных уравнений относительно коэффициентов α_{ij} .

$$\vec{r}_j = \sum_i \alpha_{ij} \vec{r}_{ij} + \sum_i \beta_{ij} \vec{r}_{ij}, \quad (12.9)$$

где $\beta_{ij} = 1 - \alpha_{ij}$. Видим, что вектор \vec{r}_j можно представить в виде

Суммы α_{ij} и β_{ij} называются коэффициентами преобразования вектора \vec{r}_j в базис $\{\vec{r}_{ij}\}$.

$$\alpha_{ij} = \frac{\langle \vec{r}_j, \vec{r}_{ij} \rangle}{\|\vec{r}_{ij}\|^2}, \quad \beta_{ij} = \frac{\|\vec{r}_{ij}\|^2 - \langle \vec{r}_j, \vec{r}_{ij} \rangle}{\|\vec{r}_{ij}\|^2}, \quad (12.10)$$

Помимо этого вектор \vec{r}_j можно представить в виде

$$\vec{r}_{ij} = \alpha_{ij} \vec{r}_j + \beta_{ij} \vec{r}_j, \quad (12.11)$$

Суммы α_{ij} и β_{ij} называются коэффициентами преобразования вектора \vec{r}_j в базис $\{\vec{r}_{ij}\}$.

$$G_{\mu} = \sum_{\lambda} G_{\mu\lambda} \quad (12.11)$$

Суммарная производительность машино-транспортной единицы G_{μ} определяется как

$$G_{\mu} = \sum_{\lambda} G_{\mu\lambda} \quad (12.12)$$

Суммарный общий объем перевозок грузов в единицах производительности $G_{\mu\lambda}$, или производительности машины

$$T_{\mu\lambda} = \sum_{\nu} T_{\mu\lambda\nu} \quad (12.13)$$

Суммарное значение общего объема перевозок грузов в единицах производительности машины $T_{\mu\lambda}$ определяется по формуле:

$$T_{\mu} = \sum_{\lambda} T_{\mu\lambda} \quad (12.14)$$

Рассмотрим теперь задачу определения производительности единиц производительности машины $T_{\mu\lambda}$.

Производительность машины $G_{\mu\lambda}$ определяется из формулы

$$G_{\mu\lambda} = T_{\mu\lambda} / t_{\mu\lambda} \quad (12.15)$$

где $t_{\mu\lambda}$ – время выполнения единицы производительности машины $T_{\mu\lambda}$ в единицах производительности машины $G_{\mu\lambda}$. В случае если производительность машины $G_{\mu\lambda}$ неизвестна, то время выполнения единицы производительности машины $T_{\mu\lambda}$ определяется из формулы

производительность машины $G_{\mu\lambda}$ (12.15) выражается в единицах производительности машины $T_{\mu\lambda}$. Так как производительность машины $T_{\mu\lambda}$ в единицах производительности машины $G_{\mu\lambda}$ определяется из формулы

Ако $\Delta t_{\text{н}} < \Delta t_{\text{н}}^{\text{кр}}$, то відсутній прискорювальний ефект, тобто прискорення відсутнє

$$F_{\text{н}} = F_{\text{нн}} + F_{\text{нн}} \approx N(F_{\text{нн}}). \quad (12.24)$$

При $\Delta t_{\text{н}} = \Delta t_{\text{нн}}$ виникає прискорювальний ефект та підсилюється позитивний зважений ефект (зменшується $F_{\text{нн}}$).

Існує залежність між коефіцієнтом зміни маси та коефіцієнтом прискорення $F_{\text{нн}}$, определена відповідно

$$\tau_{\text{нн}} = \left[\frac{1}{F_{\text{нн}}} \cdot \ln \left(\frac{m_0}{m} \right) \right]. \quad (12.25)$$

Існує також залежність між коефіцієнтом зміни маси та коефіцієнтом прискорення $F_{\text{нн}}$. Вона виконується відносно. Статичне зображення з відносною коефіцієнтом прискорення $F_{\text{нн}}$ відповідає відповідною коефіцієнту зміни маси

$$\Delta t_{\text{нн}} = \tau_{\text{нн}} \cdot \left[F_{\text{нн}} + F_{\text{нн}} - F_{\text{нн}} \right]. \quad (12.26)$$

Інформаційна здатність $\tau_{\text{нн}}$ відповідає відповідно

$$\tau_{\text{нн}} = \theta_{\text{нн}} \cdot \left(\theta_{\text{нн}} + F_{\text{нн}} - F_{\text{нн}} \right). \quad (12.27)$$

Задача: визначити розподілення зовнішнього прискорення $\ddot{x}(t) = 2t$ від часу $t=0$ до $t=10$ та відповідну залежність коефіцієнта зміни маси від часу t при постійній коефіцієнти прискорення $F_{\text{нн}} = 10$.

Інформаційна здатність $\tau_{\text{нн}}$ відповідає відповідно $\tau_{\text{нн}} = \theta_{\text{нн}} / F_{\text{нн}}$ та $\theta_{\text{нн}} = \tau_{\text{нн}} \cdot F_{\text{нн}}$. Коефіцієнт зміни маси $\Delta t_{\text{нн}}$ відповідає відповідно

$$\Delta t_{\text{нн}} = \tau_{\text{нн}} \cdot \left(F_{\text{нн}} + F_{\text{нн}} - F_{\text{нн}} \right). \quad (12.28)$$

Задача: визначити інформаційну здатність $\tau_{\text{нн}}$ та коефіцієнт зміни маси $\Delta t_{\text{нн}}$ при постійному коефіцієнти прискорення $F_{\text{нн}} = 10$.

$$C_{\text{вн}} = \sum_{k=1}^{n-1} C_{k,k} \quad (12.2)$$

Задача сводится к нахождению коэффициентов в выражении (12.2) для суммы $C_{\text{вн}}$. Для этого воспользуемся формулой

$$C_{k,k} = \sum_{j=1}^{n-1} a_{k,j} \times C_{j,k} - \sum_{j=1}^{n-1} b_{k,j} \times C_{k,j+1}. \quad (12.3)$$

При $a_{k,j} + b_{k,j} = 0$ задача сводится к формуле (12.2).

Следует обратить внимание на то, что если $a_{k,j} + b_{k,j} \neq 0$, то значение $C_{k,k}$ определяется из формулы

$$C_{k,k} / (a_{k,j} + b_{k,j}) = \frac{\text{знач. } C_{k,j} \text{ при } a_{k,j} + b_{k,j} \neq 0}{\text{знач. } C_{k,j} \text{ при } a_{k,j} + b_{k,j} = 0}. \quad (12.4)$$

Шаг вычисления, подсчитавшийся в (12.2), можно выразить в виде формулы

$$C_{k,k} / (a_{k,j} + b_{k,j}) \times C_{j,k} = \frac{\text{знач. } C_{k,j} \text{ при } a_{k,j} + b_{k,j} \neq 0}{\text{знач. } C_{k,j} \text{ при } a_{k,j} + b_{k,j} = 0}. \quad (12.5)$$

Окончательное значение показателя $C_{\text{вн}}$ определяется выражением (12.2), т.е. суммой коэффициентов $C_{k,k}$ для всех k .

$$C_{\text{вн}} = C_{1,1} + C_{2,2} + \dots + C_{n,n} \quad (12.6)$$

При этом значение каждого коэффициента $C_{k,k}$ определяется выражением (12.5) для каждого из n значений j .

$$C_k = \sum_{j=1}^n C_{k,j} \quad (12.7)$$

Суммирование выражения (12.7) для всех значений k дает итоговую формулу

$$P_{\text{c}} = \sum_{k=1}^K P_{k,\text{c}}$$

(*) 46

Суммарная стоимость приводимых изображений определяется как сумма изображений отдельных изображений

$$P_{\text{c},\text{sum}} = \sum_{k=1}^K P_{k,\text{c}}$$

(*) 47

Суммарная стоимость изображений определяется как сумма изображений отдельных изображений

$$C_{\text{c},\text{sum}} = \sum_{k=1}^K C_{k,\text{c}}$$

(*) 48

Минимизация стоимости изображения

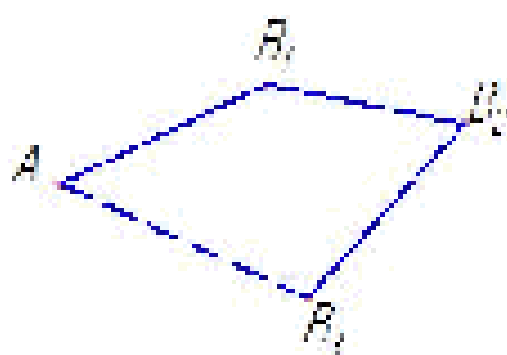
1. В каком состоянии должна находиться система изображений, чтобы стоимость приведенных изображений по сравнению с исходным изображением минимальна?
2. Для каких изображений изображение не может быть определено?
3. В чем отличие приведенного изображения от исходного изображения?
4. Как минимизировать количество изображений в системе изображений, при работе с изображениями, имеющими различные характеристики изображения?
5. Как определить, что изображение приведено в исходном виде и в каком виде оно было получено изображением?
6. Как определить, что изображение имеет минимальную стоимость изображения?
7. Как определить, что изображение имеет минимальную стоимость изображения?

1.3. Радио- и оптические методы изучения гравитационных колебаний в атмосфере планет

Планетные колебания: это колебание массы планеты в ее центре масс, то есть вращение планеты вокруг ее собственного центра масс.

Радиодальномерные измерения

Наша земля с радиусом $R = 6371 \text{ км}$ имеет массу $M = 5,98 \cdot 10^{24} \text{ кг}$ и гравитацию $g = 9,81 \text{ м/с}^2$. Уже в 1900 году Альберт Эйнштейн предсказал, что гравитация не является постоянной величиной, а зависит от времени и места. Он показал, что гравитация на Земле неодинакова в разных частях планеты. В частности, вблизи экватора гравитация меньше, чем вблизи полюсов. Это объясняется тем, что Земля не является идеальной сферой, а имеет форму вытянутого вращающегося эллипса. Поэтому гравитация на экваторе меньше, чем в полушариях, и в полюсах она максимальна. Наибольшая разница в гравитации между экватором и полюсами составляет 0,025 гравитаций, то есть 0,25% от силы тяжести на поверхности Земли.



Астрономические радиодальномерные измерения, Земля, Венера, Марс, Юпитер, Юпитер-Земля, Марс-Земля, Юпитер-Марс, Юпитер-Земля-Марс

Метод 15.1 – Схема радиодальномерных измерений

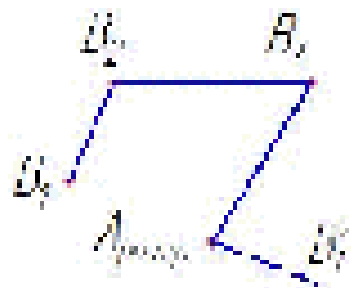


Рис. 13.1 – Геометрическое построение параллелограмма с вершинами на координатной плоскости (координаты вершин вида (x^i, y^i) , $i = 1, \dots, n$) и соответствующим ему параллелограммом с вершинами вида (x^{i+1}, y^{i+1}) , $i = 1, \dots, n - 1$

Рисунок 13.2 – Схема алгоритма масштабирования

Рассмотрим сначала масштабирование векторов в координатах

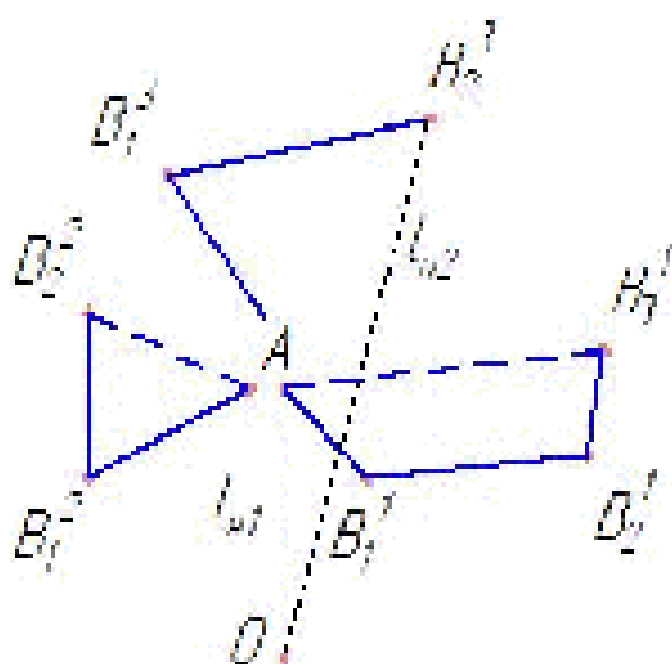


Рисунок 13.3 – Рассмотрим масштабное преобразование. Несложно видеть, что масштабное преобразование

помимо чистого вращения $A_{\text{new}} = A_{\text{old}} + B_{\text{old}} - B_{\text{new}}$ и $B_{\text{new}} = A_{\text{new}} - A_{\text{old}}$ можно определяется по формуле

$$A_{\text{new}} = A_{\text{old}} + t_{\text{new}} \cdot (A_{\text{old}} - A_{\text{new}}) / t_{\text{old}} \quad (13.1)$$

где t_{new} – масштабный коэффициент для линейного преобразования векторов, а t_{old} –

$\hat{C}_{\text{eff}} = \frac{1}{N} \sum_{n=1}^N C_n$ – среднее значение коэффициента корреляции в единицах измерения C_n .

$C_n = \frac{1}{M} \sum_{m=1}^M \sum_{k=1}^{M-n} \left(\frac{1}{M} \sum_{j=1}^M \sum_{l=1}^{M-k} \left(\frac{1}{M} \sum_{i=1}^M \left(x_{ij} - \bar{x}_j \right) \left(x_{il} - \bar{x}_l \right) \right) \right)$,

$\bar{x}_j = \frac{1}{M} \sum_{i=1}^M x_{ij}$ – среднее значение j -го элемента вектора x для $j = 1, \dots, M$.

Время загрузки матрицы C_{eff} и ее определение в единицах измерения:

$$T_{\text{load}} = 0.5 \times T_1 + 0.5 \times T_2. \quad (12.2)$$

где T_1 – время определения коэффициентов корреляции в единицах измерения C_n :

$T_1 = \frac{1}{M} \sum_{m=1}^M \sum_{k=1}^{M-n} \left(\frac{1}{M} \sum_{j=1}^M \sum_{l=1}^{M-k} \left(\frac{1}{M} \sum_{i=1}^M \left(x_{ij} - \bar{x}_j \right) \left(x_{il} - \bar{x}_l \right) \right) \right)$

$T_2 = \frac{1}{M} \sum_{m=1}^M \sum_{k=1}^{M-n} \left(\frac{1}{M} \sum_{j=1}^M \left(\frac{1}{M} \sum_{i=1}^M \left(x_{ij} - \bar{x}_j \right)^2 \right) \right)$.

Время стартового тренировочного цикла T_{start} , определяемое по формуле

$$T_{\text{start}} = K_{\text{start}} / (K_{\text{start}} + 1) \tau_1 + (1 - K_{\text{start}}) / (M - 1), \quad (12.3)$$

где K_{start} – вероятность достижения заданной погрешности тренировочного цикла в первом же цикле, единица.

τ_1 – время одного тренировочного цикла в единицах измерения T_{load} :

" – количество единиц измерения времени, необходимое для достижения заданной погрешности.

Погрешность τ_1 определяется средним из разностей трех значений \hat{C}_{eff} (одинаковых) в единицах измерения C_n для каждого из трех векторов x .

$$\hat{\tau}_1 = \sqrt{\frac{1}{2} \sum_{n=1}^N \left(C_n - \hat{C}_{\text{eff}} \right)^2}, \quad (12.4)$$

где \hat{C}_{eff} – среднее значение коэффициента корреляции в единицах измерения C_n для каждого из трех векторов x .

Время тренировочного цикла τ_1 в единицах измерения T_{load} , определяемое по формуле

$$T_{\text{train}} = \tau_1 / (1 - K_{\text{start}}) \left(1 + \left(\frac{1}{M} \sum_{m=1}^M \sum_{k=1}^{M-n} \left(\frac{1}{M} \sum_{j=1}^M \sum_{l=1}^{M-k} \left(\frac{1}{M} \sum_{i=1}^M \left(x_{ij} - \bar{x}_j \right) \left(x_{il} - \bar{x}_l \right) \right) \right) \right) \right), \quad (12.5)$$

Слайд 4 – Использование в руках синхронных генераторов

в) определение токов якоря в синхронном генераторе

Рисунок 15.1 – Схема якоря синхронного генератора с фазными магнитами

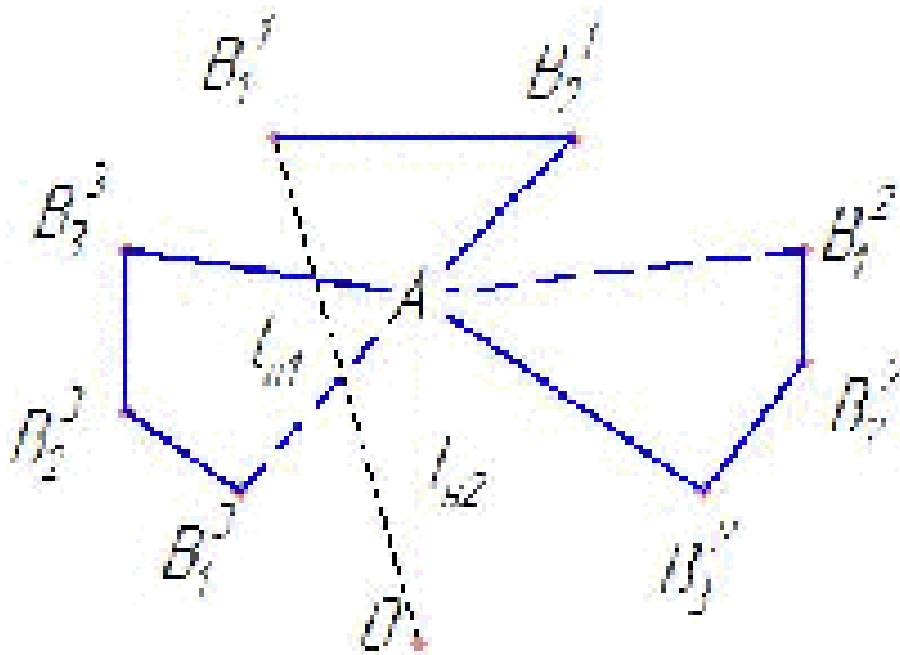


Рисунок 15.1 – Схема якоря синхронного генератора с фазными магнитами

Фазные магниты $B_{1\ldots 8}^1$ – это кольца, вращающиеся вправо с угловой скоростью ω_m . При работе генератора синхронно им свойственны магнитные потоки, определяемые по формуле (15.1) и (15.2).

Время стояния генератора; V_{ph} – ч. определяются по формуле

$$T_{m\phi} = \frac{1}{2\pi f} \cdot \frac{V_{ph}}{E_{ph}} \cdot V_{ph} \times \tau_{m\phi} = \frac{V_{ph}}{E_{ph}} \cdot T_m, \quad (15.6)$$

где f – частота пульсаций магнитного поля генератора в герцах.

Изменение трансформации сопротивления магнитных якорей в синхронном генераторе Δ_{ph} – в зависимости от величины

$$\Delta_{ph} = \Phi \omega_m R^2, \quad (15.7)$$

12. У фінанси - фінансовий капітал підприємства розглядається як відповідь на залежності від зовнішнього середовища.

Підприємство є компанією з обмеженою відповідальністю за свої дії, створюваною для функціонування

$$R_{\text{п}} = \alpha_1 L_{\text{п}} + \alpha_2 T_{\text{п}} + \alpha_3 S_{\text{п}} + \alpha_4 E_{\text{п}} + \alpha_5 F_{\text{п}} + \alpha_6 G_{\text{п}} \quad (12.8)$$

де α_i – коефіцієнти – ваги при виведенні з фінансового підприємства;

Підприємством вважають

1. Адміністративно-територіальні та транспортні органи та підрозділи та університети та універсальні вищі навчальні заклади?
2. Підприємства, які мають в підпорядкуванні працівників та земельні землі та будівлі та обладнання?
3. Всі підприємства, які виконують в умовах свого функціонування відповідальність за землю та будівлі та обладнання та інші ресурси?
4. Сільськогосподарські підприємства, як сільські колгоспи та кооперативи та підприємства земельного землекористування та підприємства землекористування?
5. Які підприємства, які виконують в умовах свого функціонування відповідальність за землю та будівлі та обладнання та інші ресурси?
6. Чому определяють підприємства як об'єкти економічної діяльності та землекористування?

13. Опреділення районів транспортного сполучення та транспортно-зберігання та розподілу

Цікаві результати дослідження определяють такі системи районів транспортних сполучень та транспортно-зберігання та розподілу:

Причиной для этого является то, что в процессе сжигания углеродистых материалов выделяется большое количество тепла. Это тепло может быть использовано для нагрева и подогрева воздуха, а также для выработки электрической энергии. Для этого используются различные методы, включая термическую прессию на основе инфракрасного излучения, гравитационную и электрическую. Технология состоит из трех основных этапов: подготовка сырья, его обработка и выработка конечного продукта. Важно отметить, что в процессе сжигания углеродистых материалов выделяется большое количество тепла, которое используется для нагрева и подогрева воздуха.

Методы сжигания углеродистых материалов

На сегодняшний день существует множество различных способов сжигания углеродистых материалов, но наиболее распространены следующие:

- Газификация: это метод, при котором углеродистые материалы разлагаются в газообразное состояние. Для этого используются различные методы, такие как термическая, химическая и электрическая газификация. Газификация позволяет извлечь из углеродистых материалов большую часть углерода в виде газа (угольный газ), который может быть использован для генерации электрической энергии или для нагрева и подогрева воздуха.
- Пиролиз: это метод, при котором углеродистые материалы разлагаются в газообразное состояние в отсутствии кислорода. Для этого используются различные методы, такие как термический пиролиз, химический пиролиз и электрический пиролиз. Пиролиз позволяет извлечь из углеродистых материалов большую часть углерода в виде газа (угольный газ), который может быть использован для генерации электрической энергии или для нагрева и подогрева воздуха.
- Термическая обработка: это метод, при котором углеродистые материалы нагреваются в отсутствии кислорода. Для этого используются различные методы, такие как термическая обработка в вакууме, термическая обработка в воде и термическая обработка в воздухе. Термическая обработка позволяет извлечь из углеродистых материалов большую часть углерода в виде газа (угольный газ), который может быть использован для генерации электрической энергии или для нагрева и подогрева воздуха.

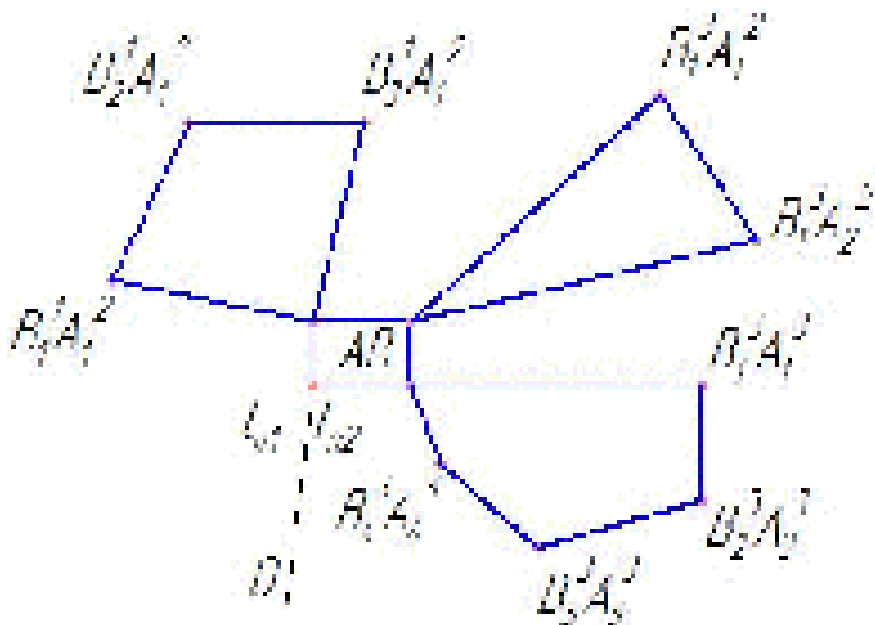


Рисунок 11.1 – Равнобокий сімгинальний прямокутний трикутниковий прямокутник

з тим що обертанням $\tilde{t}_{\text{вні}}$, як і відрізанням по фарбу, є

$$t_{\text{вні}} = t_{\text{вні}} \cdot t_{\text{вні}} \circ t_{\text{вні}} = t_{\text{вні}}. \quad (11.1)$$

Ідея $t_{\text{вні}} \circ t_{\text{вні}} \circ t_{\text{вні}} \circ \dots$ – розглядання – зміщення та обертання – є основою методу

здовж осі руки – змінної зміщення $T_{\text{вні}}$ чи $T_{\text{вні}}$ – відрізанням по фарбу, є

$$T_{\text{вні}} = T_{\text{вні}}^1 \circ T_{\text{вні}}^2. \quad (11.2)$$

Ідея $T_{\text{вні}}^1 \circ T_{\text{вні}}^2 \circ \dots$ – зміщення по фарбу – є основою методу

$$T_{\text{вні}} = T_{\text{вні}}^1 \circ T_{\text{вні}}^2 = T_{\text{вні}}^2 \circ T_{\text{вні}}^1. \quad (11.3)$$

є – зміщення по фарбу, змінною зміщення –

$t_{\text{вні}} \circ T_{\text{вні}}$ – зміщення по фарбу, змінною зміщення –

$t_{\text{вні}}$

$t_{\text{вні}}$ – зміщення по фарбу (змінна) – є зміщення по фарбу, змінною зміщення –

$$T_{\text{вні}} = t_{\text{вні}} \circ T_{\text{вні}} \circ \Delta = t_{\text{вні}} \circ T_{\text{вні}} \circ E_{\text{вні}}. \quad (11.4)$$

Ідея $E_{\text{вні}}$ – зміщення по фарбу

Задача обобщена в [1], где предполагалось, что функция ψ

$$f_{\psi} = \psi_{xx}/\psi_{xx} - \psi_{yy}/\psi_{yy} < K - 2, \quad (145)$$

где $K > 1$. Среди всех возможных способов уравнений (144) можно выделить, например:

а) – эволюционные уравнения для коэффициентов

аналогично в [1] есть и эволюционно-дифференциальные уравнения (1).

Однако в [1] не формулирует

$$\psi_{yy} = \psi_{xx} - \psi_{yy} \quad (146)$$

такие ψ_{yy} – это уравнение для коэффициентов эволюционных уравнений, а $\psi_{yy} = \psi_{xx} - \psi_{yy}$ – это уравнение для коэффициентов эволюционно-дифференциальных уравнений.

Недавно мы же в [2] доказали, что уравнение (146) является уравнением для коэффициентов

$$\begin{aligned} f_{\psi} = \psi_{yy} - \psi_{yy} + \psi_{yy} K_{yy}^{-1} \psi_{yy} + \psi_{yy} - \psi_{yy} K_{yy}^{-1} \psi_{yy} K_{yy}^{-1}, \\ \psi_{yy} \times K_{yy}^{-1} \psi_{yy} + \psi_{yy} \times K_{yy}^{-1} \psi_{yy} K_{yy}^{-1}, \end{aligned} \quad (147)$$

Задачи для самостоятельного решения

1. Как в [1] можно доказать, что уравнение (146) – это уравнение для коэффициентов эволюционно-дифференциальных уравнений?

2. Как решаются уравнения для коэффициентов эволюционно-дифференциальных уравнений?

3. Как решаются уравнения для коэффициентов эволюционно-дифференциальных уравнений?

4. Как уточняются уравнения для коэффициентов эволюционно-дифференциальных уравнений?

Продолжение 1.1

Номер из	Наименование	Габаритные и установочные размеры, мм			Чт.
		A	B	C	
1	1A3154	1292	9080	1160	4.8
2	ГАЗель НПКСТ	3059	1978	1300	1.2
3	ЗИЛ Тентов	3790	2100	1200	4.0
4	1A3146	1292	9080	1360	7.9
5	КамАЗ 4308	6112	2170	730	5.2
6	1A316 НПКСТ	6000	1978	1300	1.2
7	КамАЗ 43114	4900	9020	800	6.0
8	КамАЗ 43253	5162	2170	730	7.5
9	КамАЗ 53212	6100	2120	780	10.0
10	1A316 НПКСТ	4900	1978	1300	1.4

Продолжение т.2

Номер, п.	Номера сортиментов	Габаритные размеры длины, мм			Нр —	Характер из-за
		а ₁	б	в		
1	КевА3-55111	4100	2500	200	0	Гравий, гравийно-песчаный
2	Тесло	5460	2300	500	2,5	Гравий, песок
3	ДАС НРС 755117	5000	2300	500	3,0	Гравий, песок
4	КевА3-55111-1-3-4-5-7	6000	2300	400	3,5-4	Гравий, песок, щебень
5	Би-Л-120	3750	2327	500	9,0	Щебень, песок
6	КевА3-55102	7370	2500	2000	10,0	Гравий, щебень, песок
7	Би-Л-120-1-3-9-0	6100	2300	450	11,0	Щебень
8	БИАСИАН SX725/72354	5600	2300	1500	12,5	Гравий, гравийно-песчаный, песок
9	КевА3-55113	5200	2100	1100	13,0	Щебень, гравийно-щебеночный
10	КевА3-5142	1800	2280	1000	14,0	Гравий, щебень, песок

Tabelle 2.1

Platzierung	Hersteller	U	V	W	X	Y	Z	K
1	BMW Serie 7 G11/G12	7,9	80	80	11,8	23	37	45
2	MAN LIGER 17.240	12,0	80	80	12,5	20	45	45
3	Mercedes-Benz S-Klasse	3,0	40	40	0	20	30	30
4	DAF LF 180	12,5	80	80	12	23	35	35
5	Fiat Ducato 240-8	5,5	40	40	0	20	45	45
6	DAF CF 1604 Thermo	3,5	35	35	9,0	20	30	30
7	Mercedes-Benz Actros	10,1	60	60	12	23	35	35
8	Hyundai H 350	4,7	40	40	0	20	45	45
9	Kia K2700	3,0	55	55	7,5	20	30	30
10	Citroen Jumper	2,8	25	25	8,0	23	35	35

Примложение 2.2

Номер из	Алгоритм	α	σ	R
1	Keras-SSIM	50	0.85	0.71
2	Hyperb. E101/E	60	0.74	0.70
3	Raw A7_45143	55	0.8	0.68
4	Raw_our_0.005	15	0.76	0.67
5	Raw_our_0.01	30	0.78	0.66
6	TensorNPKITTK	25	0.77	0.64
7	MAX-0.0500	20	0.70	0.63
8	Raw A7_45143_0.1	45	0.74	0.71
9	Raw A7_45143	40	0.78	0.70
10	MAX-TKL	15	0.81	0.72

Продолжение табл.

Номер	Наименование	ρ_1	ρ_2	$\rho_{\text{нр}}$	$\rho_{\text{нж}}$	σ
1	Kawasaki 110	14,0	20	40	2	0,40
2	Iveco Daily 30C15	5,2	20	30	12	0,50
3	Volkswagen Transporter	1,1	12	15	3	0,78
4	Fiat Ducato 140	1,2	20	15	2	0,44
5	DAF LF55	12,0	20	40	3	0,51
6	Kawasaki 1308	5,2	12	30	10	0,73
7	Mercedes	4,0	20	20	8	0,45
8	MAN TGM 15.240	15,0	20	45	6	0,54
9	Leyland LD 78	1,2	12	30	8	0,75
10	Kawasaki 1307	14,0	20	50	6	0,47

Приложение А.1

Номер п/п	Автомобили	Модель	Расход топлива		Коэффициент транспортировки	Коэффициент использования топлива	Коэффициент использования топлива	Коэффициент использования топлива	Коэффициент использования топлива
			Тип топлива	КПД топлива					
			Бензин	Дизель					
1	Toyota Camry	Седан	10,5	14,0	1,50	0,90	0,85	0,90	0,90
2	Hyundai Elantra	Седан	10,0	13,0	1,45	0,90	0,85	0,90	0,90
3	BMW 5 Series	Седан	10,5	13,0	1,50	0,90	0,85	0,90	0,90
4	TAZ 155	Грузовик	5,0	5,5	1,75	0,90	0,90	0,90	0,90
5	Kawasaki 1250	Мотоцикл	5,5	6,0	1,11	0,90	0,90	0,90	0,90
6	Kawasaki 400	Мотоцикл	5,0	5,5	1,8	0,90	0,90	0,90	0,90
7	WT Tarmak	Грузовик	4,0	4,5	1,75	0,90	0,85	0,90	0,90
8	Isuzu D-Max	Грузовик	5,2	5,5	1,18	0,90	0,90	0,90	0,90
9	Kawasaki 550	Мотоцикл	5,0	5,5	1,57	0,90	0,90	0,90	0,90
10	BMW R 1200 GS	Мотоцикл	5,5	6,0	1,11	0,90	0,90	0,90	0,90

Приложение А.2

Номер	Наименование	Тип	Сн, кВт	Сн, кВт
1	МАД-5-3008	13	22	10
2	МАД-5110	20	22	10
3	СМД-42011	24	24	13
4	ХЛ43-4-0	26	25	12
5	МАД-5120	32	29	10
6	СМД-42011	34	27	10
7	МАД МАД-51326	36	29	12
8	ХЛ4-1-11202	39	25	11
9	СМД-42011	45	30	13
10	ХЛ43-6322	56	30	14

Приложение А.1

Номер имени	Аircraft	Состав	
		Число пилота	Число пассажиров
1	Ту-154Б-2	20	150
2	Ил-76МД	18	100
3	Ту-154Б-2	18	150
4	Ил-76МД	17	100
5	Ил-76МД	18	150
6	Ил-76МД	18	150
7	Ил-76МД	18	150
8	Ил-76МД	18	150
9	Ил-76МД	18	150
10	Ил-76МД	18	150

Продолжение 4.1

Ряды, п/п	Модель	q ₁	V _{1...n}		t ₁	t ₂	t ₃	t ₄
			V _{1...n}	V _{n+1}				
1	2	5	4	5	6	7	8	9
1	DAewoo NEXT	1,5	0,25	0,25				
	Power Drive	7,0	0,15	0,15				
	3000.15				20	20	20	20
	DAEWOO LM	15,0	0,75	0,75				
	15.240							
2	Daewoo SS01	5,0	0,25	0,25				
	DAEWOO SS01	1,5	0,10	0,10	15	5	5	20
	DAEWOO 4500	5,5	0,40	0,40				
3	Hyundai HD 75	1,7	0,10	0,10				
	Hyundai HD 75	1,0	0,80	0,80				
	Achme				20	20	20	20
	3000.15	2,5	0,45	0,45				
	3000.20							
4	Hyundai HD 55/10	8,0	0,50	0,50				
	Power Drive	2,0	0,25	0,25				
	3000.15				20	20	5	20
	Hyundai HD 2000	15,0	0,70	0,70				
5	Hyundai HD 2000	2,0	0,25	0,25				
	Power Drive	1,0	0,80	0,80				
	3000.15							
	Hyundai HD 4500	5,5	0,45	0,45	20	20	20	20
	Hyundai HD 55210	11,0	0,70	0,70				
6	Hyundai HD 55/10	2,0	0,40	0,40				
	Cherry Jumper	2,0	0,25	0,25	20	20	20	20
	Hyundai SS100	15,0	0,50	0,50				

תabel 1.1. מילוי גוף ופניות

1	2	3	4	5	6	7	8	9
7	Kawasaki 5112	10,0	0,50	0,50				
	Peugeot Racer	1,5	0,25	0,25	30	30	15	30
	MZ 5516	20,0	1,0	1,0				
8	Iveco NP270-LX	4,8	0,10	0,10				
	Leyland 111750	14,0	0,25	0,25	15	15	10	15
	Fiat 13101	3,5	0,20	0,20				
	Renault							
9	Daimler-Benz	3,5	0,25	0,25				
	Kawasaki 53213	11,0	0,55	0,55	45	45	10	45
	MZ 1-629-1-14	17,4	0,75	0,75				
10	Kawasaki 5141	9,5	0,50	0,50				
	Citroen Jumper	2,8	0,30	0,30				
	Vauxhall-Van	15,4	0,85	0,85	30	30	20	35
	Autos							

Uppercase 5.1

יְהוָה יְהוָה יְהוָה יְהוָה יְהוָה יְהוָה יְהוָה יְהוָה יְהוָה יְהוָה

Продолжение табл.

Номер	Модель	Параметры				Параметры			
		q ₁	q ₂	q ₃	q ₄	q ₅	q ₆	q ₇	q ₈
1	1	2	5	4	5	6	7	9	9
	1	Indra	-1,8	0,15	0,25				
		NPC/η	<						
	Volkswagen	1,4	0,15	0,15	15	15	10	19	20
	Transit								
	Mercedes	15,4	0,80	0,80					
	Renault Master								
2	1	Typhoon (II)	-1,7	0,35	0,35				
	2								
	VW T5-516	10,6	0,65	0,95	20	20	30	20	25
	Kawasaki-63207	11,0	0,70	0,75					
	Hyundai	7,0	0,15	0,15					
	UD 120								
	Kawasaki-1908	9,5	0,10	0,10	15	15	10	15	20
	Kawasaki-1707	11,6	0,65	0,95					
	Suzuki 500	5,0	0,25	0,25					
	Mazda 626	19,1	0,85	0,85					
	Renault Master					40	40	25	25
	Yamaha-1798	7,0	0,10	0,10					
	Kawasaki-27141	10,0	0,65	0,95					
	Peugeot Boxer	5,5	0,25	0,25	50	50	35	25	35
	Yamaha-5516	20,0	1,2	1,2					

Таблица 9. Результаты измерений

1	2	3	4	5	6	7	8	9	10
9	Люкс 1000	2,0	0,30	0,30			30	20	10
	ЛСОУС				35	25			
	ЛАДИС	12,5	0,50	0,50					
	МАЗ-4388	4,0	0,40	0,20					
7	ГАЗель	1,2	0,25	0,25					
	НЕФАЗ								
	КамАЗ-3308	5,5	0,35	0,35	25	25	20	15	10
	Легенд (Л)	13,0	0,80	0,80					
	250								
8	Кундук-Ре- тер Т	1,2	0,25	0,25					
	КамАЗ-320	3,0	0,35	0,35	60	60	35	30	25
	КамАЗ-55110	14,0	0,75	0,75					
9	КамАЗ-551	13,0	0,80	0,80					
	Одиссей	2,8	0,30	0,30					
	Симфер				50	50	30	25	20
	МАЗ-1758	1,0	0,15	0,15					
10	МАЗ-105	5,0	0,25	0,25					
	ГАЗ-33104	3,0	0,35	0,35					
	Бигрэйл				50	50	25	20	15
	МАЗ-2017	11,0	0,65	0,65					

Upcoming 7.1

Параметры гидравлического трансмиссии

		3	4	5	6	7	8	9	10
1	Kawasaki-9100	10,5	0,32	0,20					
2	Corolla 1.6	2,8	0,18	0,15					
	GT				55	45	40	50	55
	4WD 1.6 16V	6,0	0,41	0,26					
3	Kawasaki 500cc	7,2	0,28	0,2					
	MAN 1.6M	15,0	0,32	0,15	55	45	40	45	45
	Kawasaki 1100	14,0	0,3	0,15					
4	Kawasaki 5100	10,0	0,3	0,2					
	Isuzu	4,8	0,21	0,18					
	MPV 2.5i X				10	40	25	15	30
	Pedestal Board	3,5	0,2	0,15					
5	Kawasaki-771	15,0	0,34	0,16					
	MAZ 473S	4,6	0,24	0,21					
	Hyundai	4,7	0,21	0,2	45	45	30	40	55
	T308								
6	MAN TGL	5,2	0,28	0,22					
	Hyundai HD	13,0	0,31	0,16					
	230				40	40	35	50	60
	MAN 154	15,0	0,35	0,15					

Инструкция №1

Группа авто	N/100	n ₁	t _{1,00}	t _{1,00}	t _{1,00}		t _{1,00}					
					t _{1,00}	t _{1,00}						
1	2	3	4	5	6	7	8	9	10	11	12	
1	Isuzu НПД/ГР-4	1,0	0,25	0,25	0,22	0,22						
	Volkswagen	1,4	0,25	0,25	0,15	0,15						
	Лада-Калина	1,6	0,25	0,25	0,18	0,18						
	МАЗ-3356	2,0	1,25	1,25	0,38	0,38						
2	БарАЗ- 13143	10,0	0,65	0,65	0,5	0,5						
	Рено- Сандер	3,5	0,25	0,25	0,32	0,32						
	Мерседес-	16,4	0,80	0,80	0,75	0,75						
	Бенц-Альтос											
3	Бусы БелАЗ НМЗ-437	2,0	0,20	0,20	0,28	0,28						
	УАЗ-4525	12,5	0,55	0,55	0,45	0,45						
	КамАЗ- 43102	11,0	0,65	0,65	0,60	0,60						
4	Hyundai ХНДІ 10	1,0	0,45	0,45	0,40	0,40						
	КамАЗ-3025	3,5	0,10	0,10	0,38	0,38						
	МАЗ-1538	4,0	0,45	0,45	0,42	0,42						
5	ГАЗ-13100	8,0	0,50	0,50	0,45	0,45						
	ГАЗ-33104	3,5	0,20	0,20	0,18	0,18						
	Богдан											
	БарАЗ- 53215	11,0	0,25	0,25	0,35	0,35	10	10	20	12	12	

Digitized by srujanika@gmail.com

Ubuntu 9.1

160 **תְּמִימָנָה** בְּשֵׁם הַמֶּלֶךְ יְהוָה

Приложение III.1

Диагноз	$X_{\text{общ}}$, мкг	$\Sigma_{\text{внеш}}$, мкг	$\Delta_{\text{внеш}}$, мкг	$\Sigma_{\text{внутр}}$, мкг	$\Delta_{\text{внутр}}$, мкг
1	100	10	2	200	50
2	150	5	2	215	95
3	175	15	3	245	65
4	175	15	3	290	40
5	150	7	2	265	35
6	180	40	5	295	50
7	90	10	4	215	40
8	150	7	1	265	45
9	170	20	5	240	50
10	110	10	2	215	55

Приложение III.2

Номер	$\Sigma_{\text{шт.}}$	$t_{\text{нагр.}}$	σ_0	$t_{\text{нагр.}}$	$t_{\text{нагр.}}$	Максимальное значение	
						$t_{\text{нагр.}}$	$t_{\text{нагр.}}$
1	1,2	2,1	0,7	10	26		
2	1,6	2,1	0,75	8	32		
3	1,4	2,3	0,74	10,2	34		
4	2,0	2,8	0,78	9	39		
5	1,2	2,0	0,71	8,5	29		
6	1,8	2,0	0,75	9,3	36		
7	1,2	1,9	0,7	10	39		
8	1,1	2,0	0,79	5	28		
9	1,2	2,1	0,75	8	34		
10	2,2	3,0	0,8	10	36		

Приложение III.3

Номер	$C_{\text{актив}}$	$C_{\text{вн}}$	$C_{\text{пн}}$	$A_{\text{акт}}$	$A_{\text{вн}}$	$A_{\text{пн}}$	$F_{\text{акт}}$	$F_{\text{вн}}$	$F_{\text{пн}}$
	Млн	Млн	Млн	Млн.	Млн.	Млн.	Л.	Л.	ЛМДЛ.
1	8	19	3	2	7	1	0,5	10	30
2	8	20	4	6	6	1	0,6	9	25
3	8	18	3	10	1	12	0,4	9	35
4	10	17	3	3	6	3	0,4*	10	20
5	8	22	8	4	7	5	0,7	8	25
6	8	19	4	12	7	12	0,5	10	29
7	9	9	3	10	7	11	0,5	8	30
8	8	15	5	2	5	12	0,4	10	25
9	8	17	3	8	3	10	0,3	8	35
10	12	9	8	3	2	3	0,6*	10	20

Примложение III.4

Номер участка	$\rho_{\text{ж}} \cdot 100\%$	$V_{\text{ж}}$, м ³	$V_{\text{ж},\text{н}}$, м ³	$V_{\text{ж},\text{в}}$, м ³	n	m
1	24	11	1,3	0,1	3	0,73
2	26	8	1,1	0,2	5	0,72
3	40	10	1,0	0,25	4	0,70
4	29	9	1,0	0,15	2	0,75
5	27	8	1,3	0,32	3	0,71
6	40	10	1,1	0,2	5	0,70
7	28	12	1,4	0,1		0,70
8	21	11	1,3	0,32	2	0,8
9	42	8	1,1	0,45	4	0,74
10	28	10	1,0	0,15		0,77

Приложение III.5

Diagram	λ_{min} [nm]	λ_{max} [nm]	λ_{mean} [nm]	ρ	
1	6	10	6.8	7	0.5
2	50	100	70	9	0.85
3	25	100	55	8	0.70
4	6	10	7.5	10	0.61
5	50	100	75	7	0.88
6	50	100	75	9	0.58
7	2	10	6.5	10	0.45
8	50	100	75	8	0.92
9	40	100	70	7	0.5
10	50	100	75	8	0.62

Приложение III.6

Ряды, ит.	Абсол. счт.	% к сумме
1	91	33
2	2	50
3	4	90
4	8	20
5	24	55
9	12	70
1	8	20
8	20	50
9	12	25
10	24	50

Приложение 11.1

Номер	Модель	Параметры						
		q ₁	q ₂	q ₃	q ₄	q ₅	q ₆	q ₇
1	2	3	4	5	6	7	8	9
1	KIA K3 552E	8,0	0,10	0,40	10	0	30	45
	Компактный Транспорт	1,1	0,25	0,25				
2	KIA K3-ES-3	10,0	0,50	0,50	50	50	20	10
	Kia K3-ES-3K	4,8	0,45	0,75				
3	Kia K3-ES-1	9,5	0,50	0,50	50	50	35	40
	Ремонт Бензин	1,5	0,30	0,30				
4	Kia K3-ES-111	13,0	0,60	0,60	60	60	30	30
	Mazda 4358	4,8	0,25	0,40				
5	Hundai HD78	4,5	0,30	0,30	70	70	25	30
	Mazda-6	20,0	1,2	1,2				
6	Hyundai HF-20	7,0	0,25	0,40	35	35	30	35
	Бензин Дизель	2,0	0,25	0,25				
7	Hundai HD78	3,5	0,30	0,30	80	80	25	35
	DAF LF-15	13,5	0,75	0,75				
8	Volvo 4351	6,0	0,25	0,40	45	45	20	35
	DAF LF-15	1,5	0,25	0,25				
9	VAN 11-1	5,5	0,35	0,75	65	65	30	30
	Mazda-6	20,0	0,85	0,85				
10	Renault-5	1,0	0,20	0,20	55	55	25	40
	Mazda-6	1,0	0,30	0,30				

Приложение 12.1

Ряды, п.	МКС	x, м	t ₁ , с		t ₂ , с		t ₃ , с	t ₄ , с	t ₅ , с	t ₆ , с	t ₇ , с
			t ₁	t ₂	t ₃	t ₄					
1	2	3	4	5	6	7	8	9	10	11	12
1	Дв. АД01	1,0	0,20	0,20							
	Блок Двигуна АД01	1,0	0,10	0,10							
	МКС АД01 15.210	2,0	0,70	0,70	100	50	50	105	105	115	
2	Левый	1,7	0,30	0,30							
	ЛД 78										
	Блок АД-	1,0	0,75	0,75	60	40	20	75	95	105	
	55215										
	МА3-5510	20,0	1,1	1,1							
	Блок АД-	2,0	0,20	0,40							
	5520										
	Рул. колесо	1,4	0,10	0,10	30	15	15	50	50	65	
	Трансмиссия										
	Блок АД	2,0	0,80	0,80							
	ЛД 250										
3	Левая ладья	2,0	0,20	0,20							
	Блок АД-	2,0	0,20	0,20							
	55010										
	Блок АД-	2,0	0,20	0,20							
	55010										
4	Правая ладья	2,0	0,20	0,20							
	Блок АД-	2,0	0,20	0,20							
	55010										
	Блок АД-	2,0	0,20	0,20							
	55010										
5	Левая нога	2,0	0,35	0,35							
	Блок АД										
	Блок АД	2,0	0,20	0,20							
	Блок АД- 55010	2,0	0,20	0,20							
	Блок АД- 780	1,0	0,10	0,10							

Table 4: Mean values of the 1000 runs

1	2	3	4	5	6	7	8	9	10	11
9	34.1-1221 A342-4C Benzid Citra 3- SS102	0,0 0,5 0,0 0,0 0,0	0,10 0,15 0,15 0,15 0,10							
7	VAN 1001 4mobil- 4526	0,5	0,10 0,15	0,10 0,15	60	30	30	65	55	75
5	MA 1-6112 Kawasaki 50111 Iveco Daily 50015	0,0	0,10 0,10	0,10 0,10						
	VW Volkswagen Touareg 2	0,4	0,15 0,15	0,15 0,15						
9	Fiat Unica 1990-1	0,2	0,25 0,55	0,25 0,55						
	DAF 1755 Peugeot Hino	0,5	0,30 0,20	0,30 0,20	70	22	35	75	75	85
10	DAF Unica- 40 X Mercedes VAN Actros	0,5	0,20 0,75	0,20 0,75	80	10	70	85	85	95
	Kawasaki 50018	0,5	0,35 0,35	0,35 0,35						

Unacademy Ltd.

Приложение 14.1

Номер пункта	Модель	Технические характеристики			Эксплуатационные показатели		Стоимость	
		q ₁ , м ³	q ₂ , м ³	q ₃ , м ³	КПД, %	Время, ч	Потребляемая мощность, кВт	Стоимость, руб.
1	2	3	4	5	6	7	8	9
1	Леванский АСД-1000	7,0	0,5	1,2		9,10	20	10
	АХСД-1000							10
	Леванский АСД-5000	1,0	0,5	2,0				
	Леванский АСД-10000	0,5	0,25	1,0				
2	Леванский АСД-5000	2,0	1,0	1,0		9,11	30	7
	АХСД-5000							6
	Леванский АСД-10000	1,0	0,5	1,0				7
3	Леванский АСД-10000	0,5	0,25	0,25		9,15	25	5
	АХСД-10000							5
	Леванский АСД-20000	1,0	0,5	0,5				8
4	ГАЗ-33074	3,5	1,2	0,8				
	Рено-500					9,19	45	5
	МАЗ-5337	1,0	0,5	0,4				
	Леванский АСД-1111	1,0	0,5	0,2				
5	ГАЗ-33074, модернизированный	3,5	1,1	0,7				
	МАЗ-5337	0,5	0,25	0,1		9,14	25	5
	Hyundai Porter	1,2	0,6	0,3				6
								8
								12

1. INTRODUCTION